Este exemplar corresponde à redação final da Tese defendida por Priscila de Almeida Leone e Aprovado pela Comissão Julgadora no dia 29/02/88.

Campinas, 14 de março de 1988.

Carol Hollingworth Collins

UNIVERSIDADE ESTADUAL DE CAMPINAS
INSTITUTO DE QUÍMICA

ANALISES POR CROMATOGRAFIA LÍQUIDA DE ALTA EFICIÊNCIA DE COMPOSTOS PERALOGENADOS DO TIPO  $C_X BR_Y CL_Z$  (x = 1 ou 2; y+z = 4 ou 6)

Tese de Mestrado

PRISCILA DE ALMEIDA LEONE

ORIENTADORA: PROFA DRA CAROL HOLLINGWORTH COLLINS

1988

C.ICAMP BIBLIOTECA GENTRAL À minha mãe, por sua compreensão e apoio, sempre presentes nos momentos dificeis; pela força interior que sempre me transmitiu, incentivando-me a prosseguir.

#### AGRADECIMENTOS

- . À Profa. Dra. CAROL HOLLINGWORTH COLLINS, pela eficiente orientação e apoio durante todo o trabalho, pela amizade e rica convivência.
- . À Profa. Dra. INÉS JOEKES, pelos preciosos momentos de reflexão, pelo incentivo e pelo exemplo.
- . Ao CNPq, FAPESP e CAPES pelo apoio financeiro para a realização deste trabalho.
- . À MARIA APARECIDA FERNANDES DE LIMA (Cida), pelo grande apoio no início do trabalho e pelas sugestões, discussões, amizade e cooperação durante todo o tempo.
- . Ao Prof. BERTRAN, pelas ricas sugestões, discussões e pela amizade.
- . Ao Prof. PIRES, pelo grande interesse, atenção, apoio e amizade.
- . Ao Prof. KENNETH COLLINS, pelo interesse, pelas sugestões e pelo importante apoio nos trabalhos de laboratório .
- . Ao Prof. Dr. FRANCISCO REIS e Profa. Dra. ANITA J. MARSAIOLI pelo auxílio prestado nas análises por CG/detector seletivo de massas.
- . À MARTHA, pelas boas discussões, pela cooperação e pela amizade.
- . Aos Professores do Bloco, JOÃO CARLOS, WALTER MARTINS e ISABEL JARDIM, pela colaboração e amizade.
- . Aos funcionários JOÃZINHO, ARLINDO, FONTANA, EGLE, JOYCE, ZELINDA, BETH e HELENA, pelo importante auxílio técnico.
- . Aopessoal do grupo COLLINS<sup>2</sup>, pela agradavel convivência e amizade.
- . Ao Instituto de Química, aosprofessores e funcionários.
- . A TODAS AS PESSOAS, que, de alguma maneira, contribuiram para que este trabalho se realizasse.

# INDICE

	PÁGINA
LISTA DE CÓDIGOS	vi
RESUMO	001
ABSTRACT	002
CAPÍTULO 1	
1.1. Introdução	003
1.2. Análises Cromatográficas de Compostos Peralogenados	005
1.3. Objetivos	010
CAPÍTULO 2	
método de análise	01 1
2.1. A Teoria da Separação	
	016
2.2. Eficiência e Resolução no Sistema de CLAE	018
2.3. O Equipamento usado em CLAE	027
2.4. Fases Estacionárias e Fases Móveis para CLAE	031
2.5. Detectores para CLAE	035
CADÉBUT O O	
CAPÍTULO 3	
Processos Fotoquímicos	038
3.1. Estados Eletrônicos das Moléculas	039
3.2. Processos de Desativação	040
3.3. Fotoquímica de Compostos Orgânicos Halogenados	041
CAPÍTULO 4	
Experimental	046
4.1. Solventes Empregados como fase móvel para CLAE	046
4.2. Reagentes Empregados	046
4.3. Colunas Empregadas para CLAE	047
4.4. Instrumentação	048

		. V .
		•
4.5. Purif	icação dos Reagentes e Preparação dos padrões	049
4.6. Prepa	ração e Avaliação de Colunas para CLAE	055
4.7. Otimi	zação das Condições de Análise para Separação	
de Pa	adrões	057
4.8. Prepa	aração de Peralogenados não Disponíveis	058
4.9. Separ	ração dos Produtos de Fotólise	061
CAPÍTULO 5		
Resultados	s e Discussões	063
5.1. Prepa	aração e Avaliação de Colunas Cromatográficas	
para	CLAE	063
5.2. Otimi	ização das condições de Análise para a Separa-	
ção d	de Compostos Peralogenados	, 069
5.3. Anali	ises de produtos de radiólise de CBr <sub>4</sub> /CCl <sub>4</sub>	
atrav	vés da CLAE	094
5.4. Sinte	ese Fotoquímica de Compostos Peralogenados	101
CAPÍTULO 6		
Conclusões	S ,,,,,,,,,,,,,,,,,,,,,,,,,,,,,,,,,,,,	113
APÊNDICE I		115
APÊNCICE II		117
BIBLIOGRAFIA	,,,,,,,,,,,,,,,,,,,,,,,,,,,,,,,,,,,,,,,	119
		•
		·

### LISTA DE CODIGOS

As= Fator de Assimetria

C1 = Composto contendo um átomo de carbono

C2= Composto contendo dois átomos de carbono

CG= Cromatografia Gasosa

CGAR= Cromatografia Gasosa de Alta Resolução

CG/EM= Cromatografia Gasosa acoplada à Espectrometria de Massa

CL= Cromatografia Liquida

CLAE= Cromatografia Líquida de Alta Eficiência

CLFL= Cromatografia Liquida com Fase Ligada

cpm= Contagens por minuto

D<sub>m</sub>= Razão de Distribuição das Massas

d.i.= Diâmetro interno

EM= Espectrometria de Massa ou Espectro de Massa

FE= Fase Estacionária

FID= Detector por Ionização em Chama

FM= Fase Móvel

FN= Fase Normal

FR= Fase Reversa

h= Altura Equivalente a um Prato Teórico

HOPr= Ácido propanóico

IV= Infra-vermelho

MeOH= Metanol

M/Z= Massa sobre carga

n= Número de Pratos Teóricos ou Eficiência

P.A. = Reagente para análise

p.e. = Ponto de ebulição

p.f.= Ponto de fusão

PS-DVB= Poliestireno-divinil-benzeno

R<sub>s</sub>= Resolução

 $\mathbf{t}_{\mathbf{M}^{=}}$  Tempo de retenção de um soluto não retido pela FE

 $t_R$ = Tempo de retenção de um soluto

 $\mathbf{t_{R}^{!}}$  Tempo de retenção ajustado

 $T_z$  = Nûmero de Separação ou Trennzahl

UV= Ultra-violeta

VMAP= Lâmpada de Vapor de Mercúrio de Alta Pressão

V/V= Volume a volume

 $\lambda$  = Comprimento de onda

#### **RESUMO**

Título: Análises por Cromatografia Líquida de Alta Eficiência de Compostos Peralogenados do Tipo  $C_x Br_y Cl_z$  ( x = 1 ou 2; y + z = 4 ou 6)

Autora: Priscila de Almeida Leone

Orientadora: Profa. Dra. Carol Hollingworth Collins

Instituição: Instituto de Química - Universidade Estadual de Campi-

nas - Cx. Postal 6154 - Campinas

São Paulo - CEP 13.081

Um método de análise por Cromatografia Líquida de Alta Eficiência (CLAE) foi desenvolvido para a separação da série de compostos peralogenados do tipo  $C_XBr_yCl_z$  (x = 1 ou 2; y + z = 4 ou 6). A grande vantagem de se utilizar a CLAE para análises destes

A grande vantagem de se utilizar a CLAE para análises destes compostos, em relação à Cromatografia Gasosa (CG), é que, apesar de sua menor sensibilidade, a separação é feita a temperatura ambiente, evitando, assim, decomposições que, possivelmente, ocorrem em análises por CG.

Foram feitos estudos sobre tipos de coluna, fases estacionárias (FEs) e fases móveis (FMs), determinando as eficiências (n), resoluções (Rs), números de separação (Tz) e outros parâmetros resultantes.

Colunas recheadas com FE do tipo reversa, FMs polares, como MeOH/ $\rm H_2O$  e detecção por absorbância no UV mostraram-se como sistema de melhor desempenho.

A otimização das condições de análise para a separação foi feita com misturas de compostos padrões [CCl $_4$ ,CBrCl $_3$ , CBr $_2$ Cl $_2$ , CBr $_4$ , C $_2$ Cl $_4$ , C $_2$ Br $_4$ , C $_2$ Br $_6$ , C $_2$ Br $_2$ Cl $_4$ (1,2-dibromo-tetracloroetano) e C $_2$ Cl $_6$ ]. Devido às grandes diferenças de polaridades entre os compostos

Dévido às grandes diferenças de polaridadesentre os compostos separados, as melhores composições de FM, para cada grupo  $(C_1, C_2 \text{ in saturados})$  foram diferentes.

Foram observadas inversões nos tempos de retenção ( $t_p$ s) de alguns compostos à medida que a polaridade da FM foi sendo modificada. Deste fato pode-se concluir que o uso de gradiente de eluição poderia não levar aos resultados esperados, para estas separações.

Previsões de separação foram feitas através do número de separação para os compostos não disponíveis.

Amostras resultantes da radiólise de soluções de CBr $_4$  em CCl $_4$ , que produziram alguns peralogenados identificados por CG/EM, foram analisadas por CLAE, confirmando a previsão da separação feita para os compostos C $_1$ .

Para preparar alguns compostos  $C_2$ , foram feitas reações de fotólise de peraletos, produzindo alguns  $C_2$  saturados ainda não dis poníveis, cuja identificação foi feita por interpolação dos  $t_R$ s. Confirmações foram obtidas por CG com detector seletivo de massas.

Conclui-se que a análise completa dos compostos  $C_X Br_Y Cl_Z$  pode ser realizada por CLAE, empregando uma única FE e duas (ou três) diferentes composições de FM (misturas MeOH/H<sub>2</sub>O), fazendo separações dos compostos individuiais em duas corridas.

#### **ABSTRACT**

Title: Analysis by High Performance Liquid Chromatography of Perhalogenated Compounds of the Series  $C_x Br_v Cl_z$  (x = 1 or 2; y + z = 4 or 6)

Author: Priscila de Almeida Leone

Supervisor: Profa. Dra. Carol Hollingworth Collins

: Instituto de Química - Universidade Estadualde Cam-Institution pinas - Cx. Postal 6154 - Campinas São Paulo- CEP 13.081

An analytical method using High Performance Liquid Chromatography (HPLC) was developed in order to separate halogenated compounds of the series  $C_x Br_y Cl_z$  (x = 1 or 2; y + z = 4 or 6).

In spite of its lower sensitivity, a great advantage of HPLC for the analysis of these compounds is that the separation is carried out at room temperature, thus avoiding possible decompositions during the GC analysis.

Studies of type of column, stationary phase (SP) and mobile phase (MP) were carried out and the efficiencies (n), resolutions  $(\rm R_S)$  , separation numbers  $(\rm T_Z)$  and other parameters were determined. Reversed Phase columns, polar MP, such as MeOH/H2O and UV detection

tion were shown to give good performance.

Otimization of the analytical conditions for the separations was carried out by means of standard compound mixtures containing CCl<sub>4</sub>, CBrCl<sub>3</sub>, CBr<sub>2</sub>Cl<sub>2</sub>, CBr<sub>4</sub>, C<sub>2</sub>Cl<sub>4</sub>, C<sub>2</sub>Br<sub>4</sub>, C<sub>2</sub>Br<sub>6</sub>, C<sub>2</sub>Br<sub>2</sub>Cl<sub>4</sub> and C<sub>2</sub>Cl<sub>6</sub>. Due to the great difference of polarity among the separated

compounds, the better MP composition was different for each group

( $C_1$ ,unsaturated  $C_2$  and saturated  $C_2$ ). Reversions in retention times ( $t_{\rm R}$ ) were observed for some compounds as the MP polarity varied. From this fact it may be concluded that using gradient elution might not lead to better results for these separations.

Previsions of separations for unavailable compounds were made

from the separation numbers.

Radiolysis of CBr4 in CCl4 solutions afforded some perhalogenated compounds, which were identified by GC/MS. These samples were analysed by HPLC, confirming the foreseen separation for C1 pounds.

In order to prepare some  $C_2$  compounds, photolysis reactions of perhalides were carried out. Identification of compounds for which no standard was available was made by interpolation of tg the results being confirmed by GC coupled to a mass selective de -

It is concluded that the complete analysis of C Br Cl compounds can be made by HPLC, using a single SP and two (or three) different MP compositions (MeOH/H2O mixtures) making the separation of compounds in two runs.

### CAPÍTULO 1

### 1.1. Introdução

A literatura contém diversos trabalhos que tratam de sistemas onde reações radicalares entre peraletos são induzidas por raios  $\gamma$ , nêutrons, fótons ou calor, tais como: radiólise de  ${\rm CCl}_4$ , de  ${\rm CBr}_4$ (s), de  ${\rm C}_2{\rm Cl}_6$  e de  ${\rm CCl}_4/{\rm Br}_2$  ou fotólise de  ${\rm CBr}_4$  em presença de  ${\rm CCl}_4$ .

Uma revisão bibliográfica dos trabalhos mais relevantes sobre este assunto pode ser encontrada em recente trabalho publicado no Instituto de Química - UNICAMP [1].

No estudo destas reações, muitos compostos peralogenados foram identificados como produtos, por diferentes autores. Em trabalho so bre radiólise de soluções de  $\mathrm{CBr}_4$  em  $\mathrm{CCl}_4$  foram encontrados compostos tais como:  $\mathrm{CBrCl}_3$ ,  $\mathrm{C_2Cl}_4$ ,  $\mathrm{C_2BrCl}_3$ ,  $\mathrm{CBr_2Cl}_2$ ,  $\mathrm{C_2Br_2Cl}_2$  e  $\mathrm{C_2Br}_4$  [1]. Em trabalho similar, foram identificados outros peralogenados como:  $\mathrm{C_2Br_2Cl}_4$  e  $\mathrm{C_2BrCl}_5$  [2]. Reações de termólise também produziram diversos peralogenados [1].

Como na maioria dos trabalhos, a análise destes peralogenados é feita por Cromatografia Gasosa (CG), é possível que muitos dos produtos sofram decomposição térmica durante as análises, principalmente os de dois átomos de carbono (C2) saturados e ricos em bromo. Também é possível que alguns dos compostos identificados sejam produtos des tas decomposições.

Sendo assim, o presente trabalho surgiu da necessidade de se identificar e quantificar todos os possíveis produtos de reações de radiólise ou termólise de soluções de CBr<sub>4</sub> em CCl<sub>4</sub>, que vêm sendo pesquisadas pelo grupo de Cromatografia/Radioquímica, deste Instituto [1, 3, 4, 5].

A Cromatografia Líquida de Alta Eficiência (CLAE), por efetuar análises a temperatura ambiente, apresentou-se como uma técnica promissora na análise destes compostos peralogenados, especialmente destes mais instáveis, polibromados.

Apesar das vantagens apresentadas pela CLAE na análise deste tipo de compostos, pouco se tem encontrado na literatura a respeito de análise de peralogenados por CLAE. As principais referências utilizadas foram trabalhos realizados no próprio grupo de Cromatografia/Radioquímica do Instituto de Química - UNICAMP [3,4].

Uma extensiva revisão bibliográfica foi feita sobre o assunto e, no entanto, não foi encontrado nenhum trabalho que tratasse da análise de mais de um peralogenado simultaneamente. A maior parte dos trabalhos encontrados trata da análise quantitativa de  ${\rm C_2Cl_4}$  ou  ${\rm C_2Cl_6}$  e estão, freqüentemente relacionados com poluentes de águas na turais. Porém, os sistemas cromatográficos utilizados nestes trabalhos são bastante similares aos usados pelo grupo de Cromatografia/Radioquímica: fase móvel polar e fase estacionária apolar quimicamente ligada.

Como a principal motivação para a realização deste trabalho estava nas investigações sobre os produtos peralogenados C<sub>2</sub> satura dos, foi feita também uma revisão bibliográfica para verificação da viabilidade de se analisar estes compostos por CG e da possibilidade de decomposição dos mesmos, nas condições de análise. Uma completa revisão bibliográfica, de 1962 a 1983, sobre análise de peralogenados por CG, incluindo condições de análise e finalidade, já foi feita e encontra-se em trabalho publicado por Valente [5].

Estudando estes trabalhos, nota-se que poucos tratam de uma análise completa de peralogenados e em alguns, apesar de sugerida a presença de perbromados, não há uma confirmação sobre a viabilidade de se analisar por CG estes peralogenados pouco estáveis sem sofrerem decomposição.

Também em análises por CLAE, a separação completa dos vários peralogenados simultaneamente ainda não foi conseguida.

### 1.2 - Análises Cromatográficas de Compostos Peralogenados.

Compostos do tipo  $C_x Br_y Cl_z$  (x = 1 ou 2; y + z = 4 ou 6) em misturas já foram analisados tanto por CG como por CLAE.

Peralogenados como C<sub>2</sub>Cl<sub>6</sub>, C<sub>2</sub>Cl<sub>4</sub> e CCl<sub>4</sub> são frequentemente encon em análises de traços de poluentes em águas e ar por CG [24, 25]. Menos comuns, mas igualmente indesejáveis como poluentes de água são :  $\mathrm{CBrCl}_3$ ,  $\mathrm{CBr}_4$  [26] e  $\mathrm{C}_2\mathrm{BrCl}_5$  [27], analisados por CG. Porém são raras as publicações que tratam da análise de vários peralogenados simultaneamente. Compostos peralogenados, inclusive polibromados, já foram analisados simultaneamente por CG no trabalho de Šīstek e colaborado res [2]. Os compostos  $\mathtt{CBrCl}_3$ ,  $\mathtt{CBr}_2\mathtt{Cl}_2$ ,  $\mathtt{CBr}_3\mathtt{Cl}$ ,  $\mathtt{C}_2\mathtt{Cl}_6$ ,  $\mathtt{C}_2\mathtt{BrCl}_5$ ,  $\mathtt{C}_2\mathtt{Br}_2\mathtt{Cl}_4$ ,  ${\rm C_2Br_3Cl_3,\ C_2Br_4Cl_2\ e\ C_2Br_5Cl\ foram\ sugeridos\ como\ produtos\ da\ radió-production como\ produtos\ da\ radió-production como\ production como produ$ lise de soluções de CBr4 em CCl4. O tempo de retenção (tp) dos compos tos foi dado em termos de retenção relativa, o que dificultou a atribuição dos picos aos respectivos compostos no cromatograma, uma vez que os autores se omitiram de fazê-lo. Apesar de citada, a presença do composto C<sub>2</sub>Br<sub>6</sub> nos cromatogramas apresentados não foi observada. Pe lo fato de não existirem na literatura outros trabalhos que tratem da análise de C<sub>2</sub>Br<sub>6</sub> por CG, pode-se supor que a presença deste composto, sugerida nas tabelas, mas não confirmada nos cromatogramas, foi impli cada por extrapolação dos t<sub>R</sub>s e não efetivamente observada.

Em trabalho realizado por Murta [4], o  ${\rm C_2Br_6}$  aparece como um dos componentes analisados por CG. Porém, não foi feita uma comprovação definitiva da identidade do pico com  ${\rm t_R}$  atribuído ao  ${\rm C_2Br_6}$ .

Diversos compostos peralogenados como CBrCl $_3$ , C $_2$ Cl $_4$ , CBr $_2$ Cl $_2$ , C $_2$ BrCl $_3$ , CBr $_3$ Cl, C $_2$ Br $_2$ Cl $_2$ , C $_2$ Cl $_6$  e C $_2$ Br $_4$  foram encontrados como produtos de radiólise e termólise de soluções diluídas de CBr $_4$  em CCl $_4$ , através de análises por CG, em trabalho recentemente realizado por Bërtran [1]. O cromatograma da Fig. 2.11 ilustra a separação consequida na análise desta mistura. Pode-se notar que nenhum composto polibromado de dois carbonos saturados foi encontrado como produto, em contraste ao trabalho de Šístek. Os compostos para os quais não havia padrões disponíveis foram identificados por interpolação dos t $_R$ s, baseado no método de identificação de compostos pelo Índice de Retenção ou Índice de Kovats [28] (Apêndice II). Também no trabalho de Valente [5], este método de identificação de compostos foi empregado, com bons resultados.

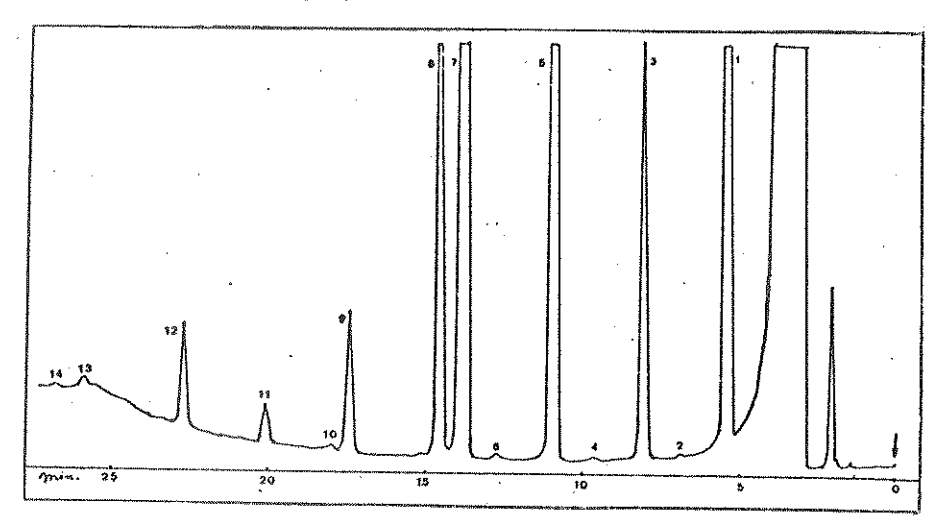


Figura 2.11. – Análise por CG de amostra  $CBr_4/CCl_4$  irradiada com 160 kGy[1]. Coluna de vidro de 1,8 m x 2 mm, recheada com 20% de SP 2100+ 0,1% de Carbowax 1500/Supelcopot 100–120; FM:  $N_2/H_2/Ar$  30:30; Vazão: 300 mL/min; detector: FID 200°C; injetor: 150°C; programação: 40 a 180°C a 4°C/min; Vol. inj. = 1,8  $\mu$ L. 1.CBrCl<sub>3</sub>; 2.C<sub>2</sub>Cl<sub>4</sub>; 3.CBr<sub>2</sub>Cl<sub>2</sub>; 4.C<sub>2</sub>BrCl<sub>3</sub>; 5.CBr<sub>3</sub>Cl; 6.C<sub>2</sub>Br<sub>2</sub>Cl<sub>2</sub>; 7.CBr<sub>4</sub>; 8.C<sub>2</sub>Cl<sub>6</sub>; 9.C<sub>2</sub>Br<sub>4</sub>.

Assim como na CG, também na CLAE, o Índice de Retenção, I, pode ser usado como uma ferramenta na identificação de compostos e muitos estudos sobre o assunto vêm sendo feitos, com o uso de diferentes padrões (Apêndice II).

O relacionamento do I com a razão de distribuição das massas, Dm, foi estudado por diversos autores [29, 30], que também observaram a linearidade entre o log Dm e o número de carbonos em séries homólogas. Smith e colaboradores [31] observaram que as variações do I com as mudanças nas condições de análise são muito menores do que as variações de Dm, mas tanto o eluente como a FE são importantes na reprodutibilidade dos dados, quando se trabalha com I ou Dm.

Schwartz e Firestone [32], ao estudarem a radiólise de CBr<sub>2</sub>Cl<sub>2</sub>, encontraram diversos peralogenados como produtos: CCl<sub>4</sub>, CBrCl<sub>3</sub>, C<sub>2</sub>Cl<sub>4</sub> e C<sub>2</sub>Br<sub>2</sub>Cl<sub>4</sub>. Foi sugerida a presença de quatro outros produtos: CBr<sub>3</sub>Cl, CBr<sub>4</sub>, C<sub>2</sub>BrCl<sub>5</sub> e C<sub>2</sub>Br<sub>3</sub>Cl<sub>3</sub>, mas não foi confirmada, provavelmente devido à falta destespadrões, nem sempre fáceis de serem obtidos puros. Contudo, o método usado na análise desta série de peralogenados não foi especificado.

As análisesde peralogenados por CLAE são muito menos frequentes na literatura e, de fato, nenhuma, que tratasse da análise simultânea de muitos peralogenados, foi encontrada. Mas, em qualquer que seja a análise de peralogenados, as condições cromatográficas são sempre similares.

Na análise de C<sub>2</sub>Cl<sub>4</sub>, Fankel e Slad [33] empregaram colunas de dimensões 4 x 250 mm, recheadas com sílica gel quimicamente ligada a grupos octadecil (C-18) e FM, MeOH/H<sub>2</sub>O 93:07, com detecção por absorbância no UV a 230 nm. Já Kummert e colaboradores [34] fizeram detecção do mesmo composto a 208 nm, eluído com MeOH/H<sub>2</sub>O em diferentes

composições, variando de 50:50 até 70:30 (isocráticas), em coluna com FE similar. Para análises de C<sub>2</sub>Cl<sub>6</sub>, Konemann e colaboradores[35], empregaram a FM MeOH/H<sub>2</sub>O 70:30 e o mesmo tipo de FE.

No já citado trabalho de Murta [4], a CG e a CLAE foram usadas como técnicas complementares de análise. Várias colunas de CLAE foram testadas, sendo que as de fase reversa quimicamente ligada, como octadecil-silano-ODS, utilizando MeOH/H<sub>2</sub>O (70:30) como FM, apresentaram as melhores separações, como mostra a Fig. 2.12[4].

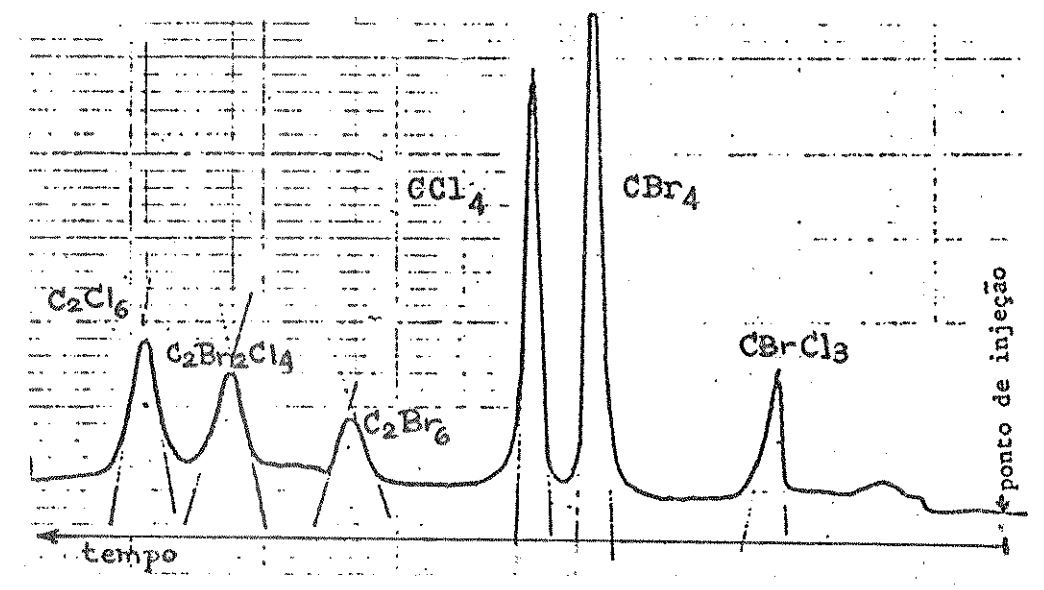


Figura 2.12. - Analise por CLAE de uma mistura de peralogenados [4] , contendo: CBr<sub>4</sub>, CBr Cl<sub>3</sub>, CCl<sub>4</sub>, C<sub>2</sub>Br<sub>6</sub>, C<sub>2</sub>Br<sub>2</sub>Cl<sub>4</sub> e C<sub>2</sub>Cl<sub>6</sub> [4]. Coluna de 250 x 10 mm, recheada com Vydac-RP 18 (10 µm); FM: MeOH/H<sub>2</sub>O 70:30; vazão da FM: 2 mL/min; vol. inj.: 100µL: detecção: 220nm

Em vários trabalhos que vêm sendo realizados pelo grupo de Cromatografia/Radioquímica, diversas colunas já foram testadas para a separação de peralogenados, como por exemplo, uma de 4 x 240 mm, recheada com Lichrosorb RP-8, de 10 μm de diâmetro médio de partícu las e eluída com acetonitrila/água (45:55) para misturas de CCl4,CBr<sub>4</sub> CBrCl<sub>3</sub>, CBr<sub>2</sub>Cl<sub>2</sub>,C<sub>2</sub>Br<sub>4</sub>,C<sub>2</sub>Cl<sub>4</sub>, C<sub>2</sub>Br<sub>6</sub>, C<sub>2</sub>Br<sub>2</sub>Cl<sub>4</sub> e C<sub>2</sub>Cl<sub>6</sub>. A separação foi boa para C<sub>2</sub>Br<sub>2</sub>Cl<sub>4</sub>/C<sub>2</sub>Cl<sub>6</sub> e para C<sub>2</sub>Br<sub>4</sub>, mas não resolveu o C<sub>2</sub>Br<sub>6</sub> nem os com postos C<sub>1</sub>, mesmo em condições ótimas (Fig. 2.13) [53].

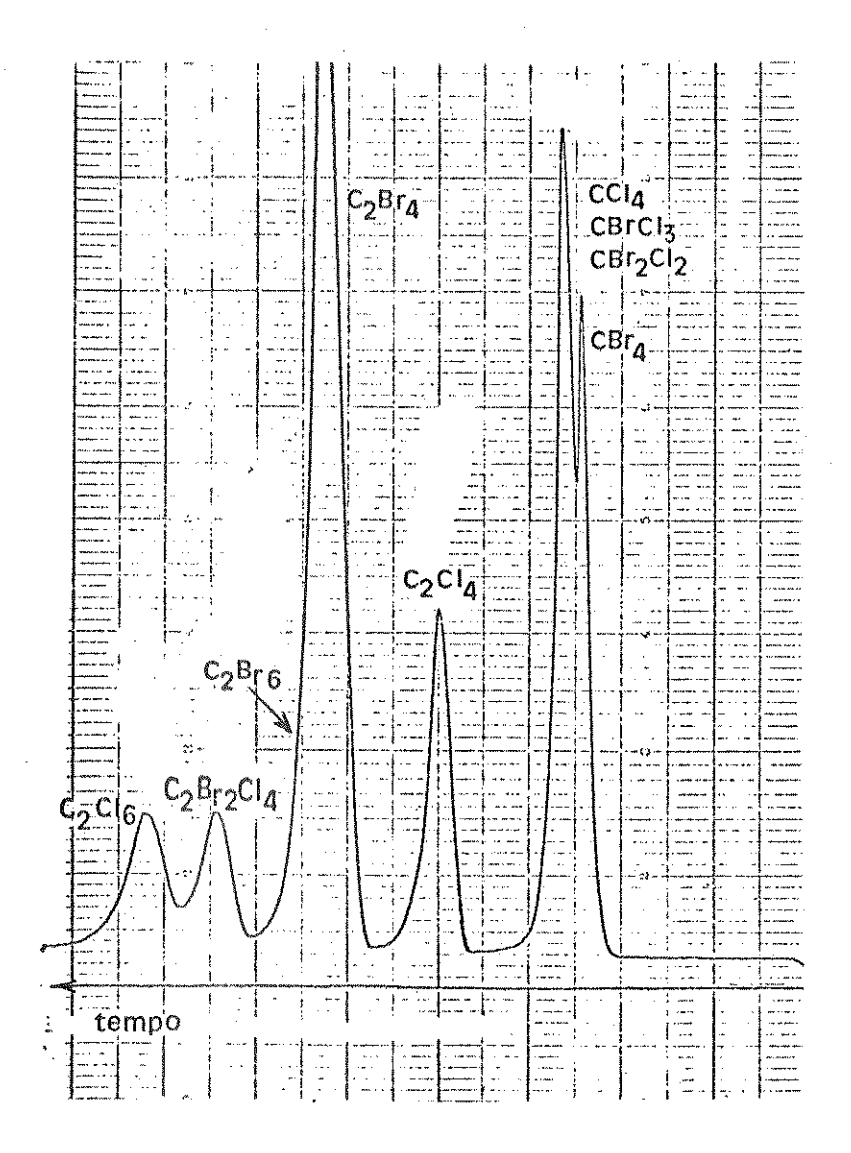


Figura 2.13. — Análise por CLAE de mistura padrão de peralogenados [53], contendo:  $CBr_4$ ,  $CBr_2Cl_2$ ,  $CBrCl_3$ ,  $CCl_4$ ,  $C_2Cl_4$ ,  $C_2Br_4$ ,  $C_2Br_6$ ,  $C_2Br_2Cl_4$  e  $C_2Cl_6$ . Coluna de 240 x 4 mm, com Lichrosorb RP-8 (10  $\mu$ m); FM:  $CH_3CN/H_2O$  45:55; Vazão da FM: 0,5 mL/min; vol. inj.: 20  $\mu$ L; detecção: 254 nm.

# 1.3. - Objetivos

O objetivo principal deste trabalho foi a otimização da separação do maior número possível de compostos orgânicos halogendados, sa turados e insaturados, não hidrogenados, do tipo  $C_X$   $Br_Y$   $Cl_Z$  (x = 1 ou 2; y+z = 4 ou 6) através da CLAE.

Para que este objetivo pudesse ser atingido, foram feitos est $\underline{\underline{u}}$  dos sobre:

- O tipo de coluna, incluindo dimensões, fases estacionárias (FE), tamanho de partículas de recheio e as eficiências, resoluções, números de separação e demais parâmetros resultantes
- A fase móvel (FM) e suas melhores proporções
- O sistema de detecção, considerando-se a sensibilidade dos compostos separados
- As condições de análise, como vazão da FM e volume do amostrador, considerando-se o tempo de análise e a dispersão da banda cromatográfica.

Como já se encontra vam disponíveis no laboratório, amostras resultantes de radiólise de soluções de CBr4 em CCl4, contendo alguns peraletos, cujas identidades já haviam sido confirmadas por CG/EM, estas foram usadas como fonte de padrões para a análise de uma determinada série homóloga.

Como não se dispunha de todos os padrões de peralogenados C2, foram sintetizados, através de reações de fotólise, alguns destes, que viriam a completar esta série homóloga.

# CAPÍTULO 2

# A Cromatografia Líquida da Alta Eficiência (CLAE) como método de Análise

Cromatografia, de um modo geral, é o nome dado ao método físico de separação baseado na migração diferencial dos componentes de uma mistura entre duas fases: a estacionária (sólida ou líquida) e a móvel (líquida ou gasosa).

A origem da Cromatografia Líquida (CL), como método de separa ção, data de 1906, quando Tswett [6], usando uma coluna de gesso, isolou pigmentos clorofilados de plantas. Mas já em 1893-97, aplicações desta técnica foram feitas para fracionamento de petróleo.

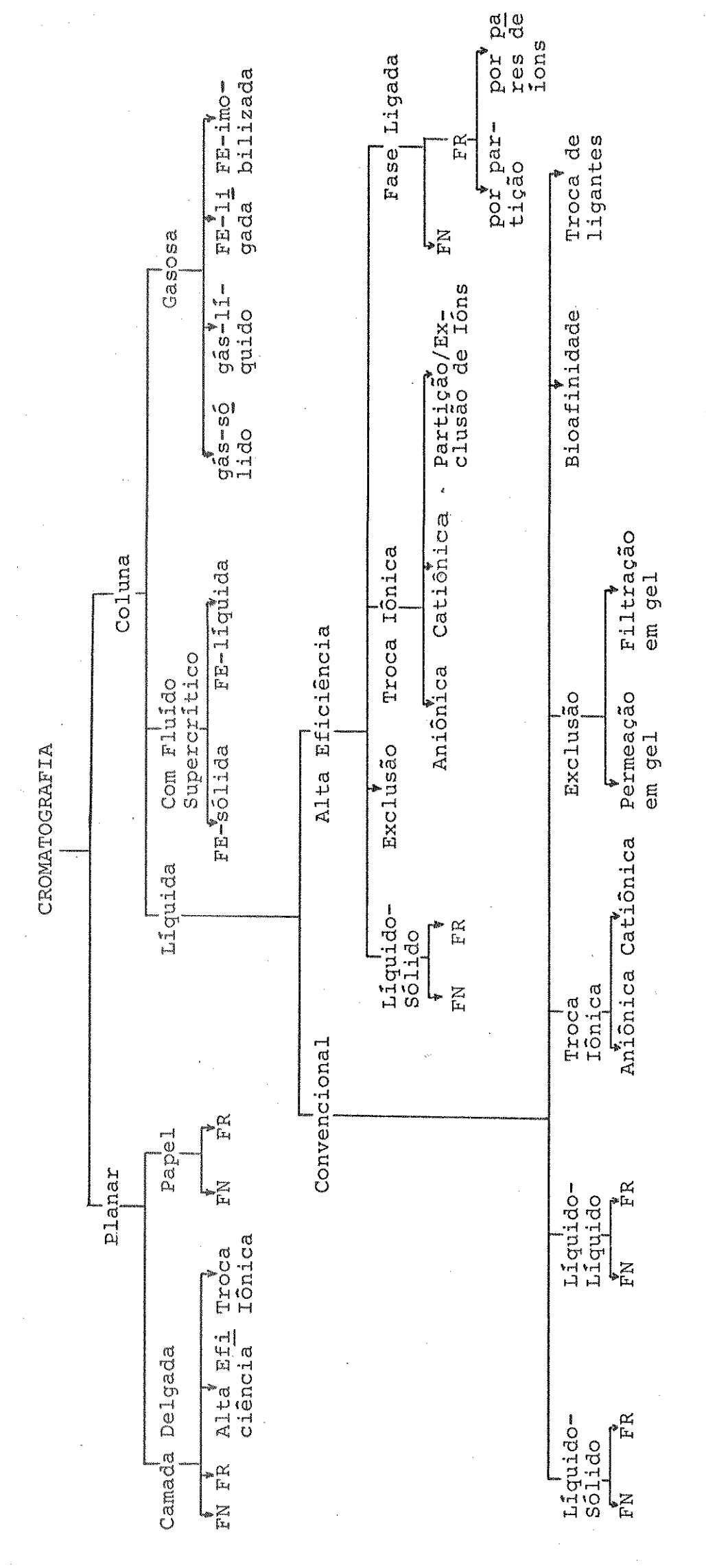
Desde sua origem até a década de 60, nenhum avanço significativo, em termos de eficiência, havia sido conseguido na CL. Entretanto, no final desta década, um novo ramo da cromatografia surgiu para revolucionar a técnica: a Cromatografia Líquida de Alta Eficiência (CLAE).

Empregando fase estacionária (FE) de partículas com pequeno diâmetro (3 a 10 μm), a CLAE opera a altas pressões - de 300 a 500 bar (1 bar = 10<sup>5</sup> Pa)\* - devido à perda de carga na coluna. O resulta do é uma análise rápida e de grande eficiência, que a coloca em vantagem com relação às outras técnicas de CL.

Um resumo dos diferentes tipos de cromatografia, classificados de acordo com o tipo de FE e fase móvel (FM), pode ser encontrado na Fig. 2.1.

<sup>\*</sup> A unidade SI para pressão é Pa (equivalente a N.m<sup>-2</sup>), que é mais conveniente pa ra baixas pressões. Para pressões maiores que a atmosférica, a unidade bar torna-se mais conveniente.

Os diferentes tipos de cromatografia classificados de acordo com as FMs e FEs 9 FIGURA 2.1.



FE = Fase Estacionária

FN = Fase Normal

FR = Fase Reversa

Sobre a Cromatografia Gasosa (CG), poderosa e rápida na análise de misturas complexas, a CLAE apresenta vantagens como:

- fazer análises a temperatura ambiente (ou termostatizadas de acordo com o interesse), o que elimina problemas de decomposição de compostos pouco estáveis a altas temperaturas, que compreendem grande parte dos compostos orgânicos.
- facilidade de recuperação da amostra para outros fins analíti-
- facilidade de acoplamento e automação para técnicas de reação pós-coluna.
- resolução de misturas difíceis, favorecida por interações seletivas da amostra com as duas fases cromatográficas (a FM e a FE) e não com apenas uma, como no caso da CG.

Outras comparações entre as duas técnicas podem ser encontradas na Tab. 2.1.

Os detectores para CG são geralmente mais sensíveis que os para CLAE, porém, são pouco convenientes à recuperação dos componentes isolados. Alguns detectores para CG e CLAE são comparados na Tab. 2.2.

Diversos sistemas de detecção, com boa sensibilidade, têm sido desenvolvidos para a CLAE, facilitando a automação, tanto na forma analítica como preparativa. Os detectores de radioatividade, acoplados ao sitema de CLAE, têm sido muitos úteis nos casos onde há problemas de sensibilidade.

A CL encontra sua maior aplicação na separação de compostos com massa molecular alta, como macromoléculas biológicas ou produtos na turais. O intervalo ótimo de aplicação de algumas técnicas cromatográficas, de acordo com a massa molecular dos componentes da amostra é ilustrado na Fig. 2.2. [7].

TABELA 2.1 - Comparação entre Cromatografia Gasosa (CG) e Cromatografia Líquida da Alta Eficiência (CLAE) [8].

Fator	CG	CLAE	
Requisitos para a amostra	Volátil ou derivado volátil, termicamente estável na tem- peratura de operação do sis- tema cromatográfico	Deve ser solú- vel na fase mó- vel	
Tipo de amostra	gases, líquidos e sólidos PM de 2 a 600 (ou até 1.200 em certos casos)	líquidos e só- lidos iônicos ou covalentes. PM de 32 até 4.000.000	
Quantidade minima Detectável	$10^{-12} *$	10 <sup>-9</sup> **	
Tempo de Análise	minutos até poucas horas	minutos até muitas horas	
Pratos Teó- ricos	2.000 - 300.000	500 - 25.000	
Capacidade Preparativa	Pobre. Razoável em certos casos, fazendo-se múltiplas injeções	Boa, com facilida- de de coleção e capacidade de auto- mação	
Capacidade Analítica	Excelente. Separação de amostras com até 200 com-ponentes	Excelente. Detecção mais seletiva. Sepa ração de até 50 com ponentes por amostra	

<sup>\*</sup> Detector por ionização em chama ou por captura de elétrons

<sup>\*\*</sup> Detector por absorbância no UV, com comprimento de onda fixo.

TABELA 2.2. - Comparação entre os detectores mais comuns para Cromatografia Gasosa (CG) e para Cromatografia Líquida de Alta Eficiência (CLAE) [9]

A)	CG				
	Detector	Seletividade	Sensibilidade (g/s)	Faixa de Linear <u>i</u> dade	Quantidade minima De- tectável
	Condutividade Térmica	Universal	6 x 10 <sup>-10</sup>	104	10 <sup>-5</sup> g
	Ionização em Chama	Compostos orgânicos	9 x 10 <sup>-13</sup>	10 <sup>7</sup>	2 x 1 <sup>-11</sup> g
	Captura de Eletrons	Espécies que cap turam elétrons	$2 \times 10^{-14}$	10 <sup>2</sup>	2 x 10 <sup>-13</sup> g
	Fotoionização	Compostos com potencial de io- nicação < 10,2 eV	****	107	$2 \times 10^{-12} \text{ g}$
٠.	Termoiônico	Compostos fosfo- rados e nitroge- nados	$P = 5 \times 10^{-14}$ $N = 1 \times 10^{-13}$	10 <sup>4</sup> - 10 <sup>5</sup>	$P = 2 \times 10^{-12}$ $N = 2 \times 10^{-10}$
	Fotométrico de Chama	Compostos fosfo- rados e de enxo- fre	$P = 5 \times 10^{-13}$ $S = 5 \times 10^{-12}$	$P = 10^4$ S = 500 (linear) $10^3$ (log)	10 <sup>-10</sup> -10 <sup>-11</sup> g
B)	CLAE	•		,	
<b></b> ,	Índice de Re- fração	Universal	3 x 10 <sup>-9</sup>	104	2 x 10 <sup>-7</sup> g/mL
	Espectrofoto- métrico UV/ví sivel	Compostos que absorvam luz UV/visível	10 <sup>-11</sup>	10 <sup>5</sup>	10 <sup>-9</sup> g/mL
	Fluorescência (laser)	Compostos que emitam fluores cência após ex citação com luz	10 <sup>-14</sup>	10 <sup>3</sup>	10 <sup>-18</sup> g/mL
	Espectrofoto- métrico IV	Compostos que absorvam luz na região do IV	10 <sup>-7</sup>	104	10 <sup>-6</sup> g/mL
	Condutividade elétrica	Compostos iônicos	10 <sup>-9</sup>	104	10 <sup>-8</sup> g/mL
	Eletroquímico (eletrodo de Hg gotejante)	Compostos iônicos	10 <sup>-9</sup>	10 <sup>6</sup>	10 <sup>-12</sup> g/mL
	Radioatividade	Compostos radioativos	20-50cpm	10 <sup>6</sup>	<b></b>

# cromatografia de exclusão

# cromatografia líquida

cromatografia gasosa 103 104 105 106 Massa Molecular

Figura 2.2. - Extensão de aplicação das técnicas cromatográficas [7].

#### 2.1. A Teoria da Separação.

Existem dois tipos de fenômeno físico na separação cromatográfica: a adsorção e a partição. No primeiro caso, os componentes da amostra são adsorvidos seletivamente na FE. Ocorre uma competição entreas moléculas da amostra e as moléculas da FM pelos sítios ativos do adsorvente. É o que ocorre na cromatografia líquido-sólido. Quando a FE é um líquido que recobre um suporte (cromatografia líquido-líquido), o fenômeno que ocorre é a partição. Na cromatografia líquida, que usa como FE um polímero orgânico quimicamente ligado ao suporte, ocorrem ambos os mecanismos: partição, pelos grupos orgânicos e adsorção, devido aos sítios não desativados do suporte.

Em qualquer um dos casos, a separação dos componentes de uma mistura em CL deve-se a sua distribuição diferencial entre a FE e a FM.

$$x_M \xrightarrow{} x_E$$

A Razão de Distribuição das Massas,  $D_{\mathrm{m}}$  é dada como:

$$D_{m} = \left(\frac{[X_{E}]}{[X_{M}]}\right)\left(\frac{VE}{VM}\right) = \frac{nE}{nM}$$
 (I)

que expressa a razão entre o número de moles da amostra, X, na FE (nE) e na FM (nM).

Também pode ser definido um coeficiente de Distribuição (ou de retenção), KD, que relaciona a concentração do soluto na FE e na FM e dependerá da concentração de cada fase:

$$K_{D} = \underbrace{[X_{E}]}_{[X_{M}]}$$
 (II)

Esta distribuição relativa de X entre as duas fases é determina da por interações intermoleculares de uma molécula de X com moléculas das FM e FE, como ilustra a Fig. 2.3.[10].

Ligação de Hidrogênio Cl<sub>3</sub>C-H←→:N-(CH<sub>3</sub>)<sub>3</sub>

Figura 2.3. - As quatro interações que resultarão na interação total das móleculas de FM e FE com moléculas da amostra.

Quando estas interações são mais fortes em uma fase do que na outra, a concentração de X na fase correspondente será maior. É o que ocorre, por exemplo, quando os vários componentes da amostra, por terem maior interação com a FM, migram rapidamente na coluna. Neste caso, a FM parece ser muito forte e, para que haja equilíbrios suficientes para ocorrer separação, é preciso usar uma FM mais fraca, que

pode ser escolhida dentro da série eluotrópica (Tab. 2.3). É importante notar que o sentido de "força da FM" varia de acordo com a FE usada, isto é, a força da FM aumenta com a polaridade no caso de fa se normal (tanto por partição como por adsorção) enquanto que na fa se reversa, a força da FM diminui com o aumento da polaridade [11].

A polaridade de um composto é dada pela habilidade que suas moléculas têm de interagir fortemente através das forças intermoleculares (dispersão, dipolo, ligação de hidrogênio, interação dielétrica), seja com um solvente, seja com a FE. A polaridade, portanto, de termina a distribuição de X entre a FM e a FE.

Uma escala quantitativa da polaridade de solventes pode ser estabelecida através do parâmetro de solubilidade de Hildebrand,  $\delta$  (Appêndice I).

# 2.2. - Eficiência e Resolução no Sistema de CLAE

A Razão de Distribuição das Massas,  $D_{m}$  também pode ser expressa em termos de tempo de retenção:

$$D_{m} = \frac{t_{R} - t_{M}}{t_{M}} = \frac{t_{R}}{t_{M}} \quad (III),$$

onde  $t_R$  é o tempo de retenção do soluto,  $t_M$ , o tempo de retenção de um soluto não retido pela FE e  $t'_R$  é o tempo de retenção ajustado para o soluto retido, representando o tempo que ele permanece na FE.

Valores ideais de  $D_m$  variam entre 1 e 10, sendo que valores grandes de  $D_m$  significam soluto muito tempo retido e longo tempo de análise e  $D_m$  pequeno indica soluto pouco retido, que pode prejudicar a análise.

Uma maneira de se avaliar a eficiência de uma coluna usada num

# TABELA 2.3. - Série Eluotrópica com diversos solventes úteis como fase móvel para cromatografia líquida [9]

Fluoralcanos n-Pentano Isoctano Éter de Petróleo n-Decano Cicloexano Ciclopentano Diisobutileno Isopentano Dissulfeto de Carbono Tetracloreto de Carbono Cloreto de Amila Xileno Éter isopropílico Tolueno Clorobenzeno Benzeno Éter Etílico Sulfeto de Etila Clorofórmio Cloreto de Metileno Metil isobutil-cetona Tetraidrofurano Dicloreto de etileno Metil-etil-cetona 1-nitropropano Acetona Dioxano Acetato de Etila Acetato de Metila Álcool Amilico Anilina Dietil-amina Nitrometano Acetonitrila Piridina Isopropano1 n-Propanol Etanol/ tanol Etileno-glicol Ácido Acético Água

Polaridade

sistema de CLAE é através do cálculo do número de pratos teóricos, n, definidos por:

$$n = 16 \left(\frac{t_R}{Wb}\right)^2$$
 ou  $n = 5,54 \left(\frac{t_R}{Wb}\right)^2$  (IV),

onde Wb é a largura do pico na linha de base e Wh, a largura do pico a meia altura.

Outra maneira de se avaliar a eficiência é pela altura equivalente a um prato teórico, h, que é um parâmetro adequado para comparar diferentes colunas, pois já considera o comprimento das mesmas.

$$h = \frac{L}{n} \qquad (V) ,$$

onde L é o comprimento da coluna.

Alguns autores adotam certos valores limites para a eficiência de coluna, em termos de número de pratos por metro, de acordo com o tipo e diâmetro das partículas da FE e sua finalidade. Abaixo deste limite, a coluna dever ser descartada (ou refeita), pois sua eficiência é inferior ao valor médio que se conseguiria obter com uma coluna similar. A tabela 2.4. mostra os valores limites da eficiência, de acordo com o tipo de FE [12].

Em alguns casos, o cálculo de n e h, para avaliação de colunas para CLAE, pode não refletir, de maneira fiel a eficiência destas colunas, principalmente quando se trata de picos assimétricos, com cau da. As equações normalmente usadas para avaliação de colunas (eqs. IV e V) são válidas somente para picos simétricos. Uma maneira simples de se verificar a confiabilidade dos cálculos de n ou h é calcular o "fator de assimetria do pico", como mostra a Fig. 2.4.

TABELA 2.4. - Eficiências Típicas de Colunas Recheadas, Comercialmente Disponíveis.

Tipo	Ef	iciência Minima (pratos/m)		
Fase Reversa				
Pelicular	(35 μm)	. 1.000		
Porosa	(10 μm)	. 12.000-20.000		
•	(5 μm)	. 35.000-45.000		
	. ( 3 μm)	80.000-100.000		
Troca Iônica				
Pelicular	(35 μm)	1.000		
Porosa	(10 µm)			
•	aniônica	. 10.000		
(	catiônica	. 15.000		
	sílica	. 15.000		
Fase Normal (adsorvente)				
Pelicular	(35-45 μm)	. 2.000-5.000		
Porosa	(10 μm)	. 24.000		
	( 5 μm)	40.000		
Exclusão				
Polimeros	(10 μm)	9.000		

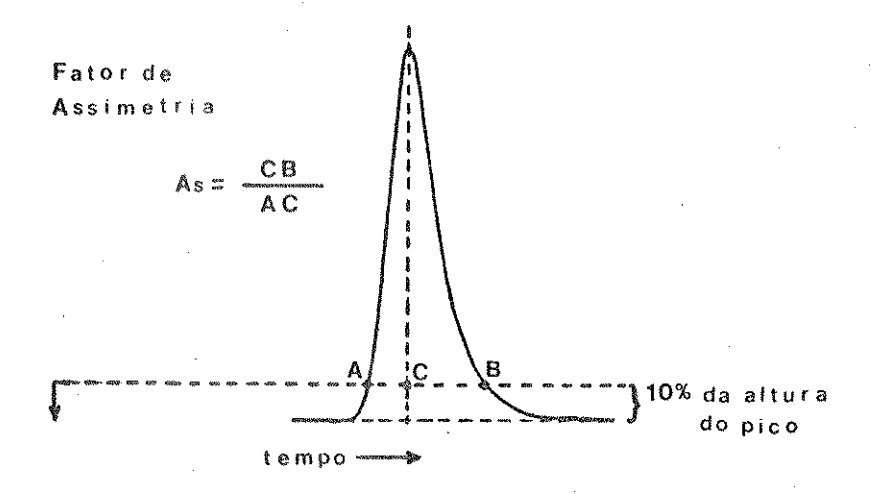


Figura 2.4. - Medida do Fator de Assimetria, As, de um pico, to mada a 10% da altura [11].

Quando este valor excede 1,2 para um pico, o valor de n aparente dacoluna está muito alto [11]. À medida que a assimetria do pico aumenta, aumentam também os erros possitivos no cálculo de n, o que po de ser confirmado confrontando dois métodos de cálculo, um manual (da tangente ao pico) e outro computadorizado.

Uma boa regra geral é, portanto, evitar colunas (ou sitemas de cromatografia líquida) que dão As > 1,2.

A habilidade de uma coluna em reproduzir a separação de dois compostos é função termodinâmica do sistema e pode ser quantificada em termos do fator de seletividade, α, definido como:

$$\alpha = \frac{t^* R2}{t^* R1} = \frac{D_{m2}}{D_{m1}} = \frac{K_{D2}}{K_{D1}}$$
 (VI),

onde t' $_{R1}$  e t' $_{R2}$  são os tempos de retenção ajustados para dois picos adjacentes.

Uma boa seletividade, que leva também a uma boa separação, tem valor numérico em torno de 1,2.

A medida da separação entre dois picos adjacentes é a resolução,  $R_{\text{S}}$ , a qual é resultado da combinação de variáveis como  $\alpha$ ,  $D_{\text{m}}$  e n.

$$R_S = \frac{1}{4} \frac{(\alpha - 1)}{\alpha} \sqrt{n} \frac{D_m}{(1+D_m)}$$
 (VII)

O controle quantitativo da resolução pode ser baseado na otimização destas variáveis [13]. A primeira tentativa é aumentar Dm, alterando a força da FM(FMs mais fracas possibilitam maior eficiência da FE no caso de FR) ou usando eluição com gradiente. Só em último caso troca-se a FE(menores diâmetros de partículas, dp, possibilitam maiores interações da amostra com a FE). A eficiência do sistema, n, relaciona-se com o comprimento da coluna (eq. V) e pode-se considerar que ao dobrar o comprimento da coluna, n duplica (mantendo-se h constante) e a resolução também aumenta. A diminuição do dp também resulta em aumento de n, que por sua vez, resulta em picos mais delgados e as alturas sofrem variações consideráveis, porém o tempo de análise pode aumentar muito. O aumento de α acarreta em deslocamento de um pico em relação ao outro e produz grande aumento de Rs, que pode ser consequido variando-se a composição da FM, o pH e a FE.

A otimização dos valores de Dm, n e  $\alpha$ , para uma mistura complexa  $\tilde{\mathrm{e}}$  geralmente difícil e envolve muitas tentativas.

Na separação de picos cromatográficos por CG, a otimização de variáveis foi conseguida por Morgan e Deming [14] com o uso de métodos matemáticos e estatísticos (Quimiometria) com realização de pequeno número de experimentos.

A resolução também pode ser expressa em termos de tR e Wb, que são parâmetros experimentais facilmente obtidos do cromatograma.

$$R_{S} = 2 \left(\frac{t_{R2} - t_{R1}}{w_{b2} + w_{b1}}\right)$$
 (VIII)

Em muitos casos, torna-se mais conveniente usar a  $W_h$  para cálculo de Rs, principalmente no caso de picos assimétricos ou de linha

de base irregular, onde poderiam ser cometidos muitos erros quando da medida manual da tangente aospicos.

$$R_{S} = 1,177 \left( \frac{t_{R2} - t_{R1}}{w_{h2} + w_{h1}} \right)$$
 (IX)

O valor ideal de Rs dependerá da finalidade da análise. Assim, Rs = 0,8 pode ser suficiente para uma análise qualitativa, mas daria um erro maior que 10% em uma análise quantitativa. Outro fator que afeta o valor ideal da resolução é a concentração dos dois componentes com t<sub>R</sub>s próximos. A Fig. 2.5 mostra a relação entre valores de Rs e a concentração de duas bandas adjacentes.

A eficiência de uma coluna pode ser determinada através de outros fatores, além do comprimento e dp, descritos pela equação de Van Deemter:

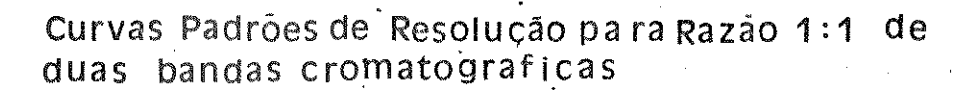
$$h = A + B + Cu + Du \qquad (X),$$

onde u é a velocidade linear da FM.

O termo A é a contribuição devido a difusão turbilhonar, resultados dos diferentes caminhos percorridos pelas moléculas do soluto e que causa alargamento do pico. Este termo pode ser reduzido usando-se partículas uniformes e com pequenos diâmetros e colunas uniformemente recheadas.

O termo B está relacionado com a difusão longitudinal, resulta do do movimento das partículas de soluto, em todas as direções e po de ser minimizado empregando-se altas velocidades lineares da FM. Este termo é mais importante na CG que na CLAE, pois o coeficiente de difusão no líquido é muito menor do que no gás.

O termo C relaciona o aumento da largura das bandas com a transferência de massa do soluto para a FE. Uma baixa velocidade li



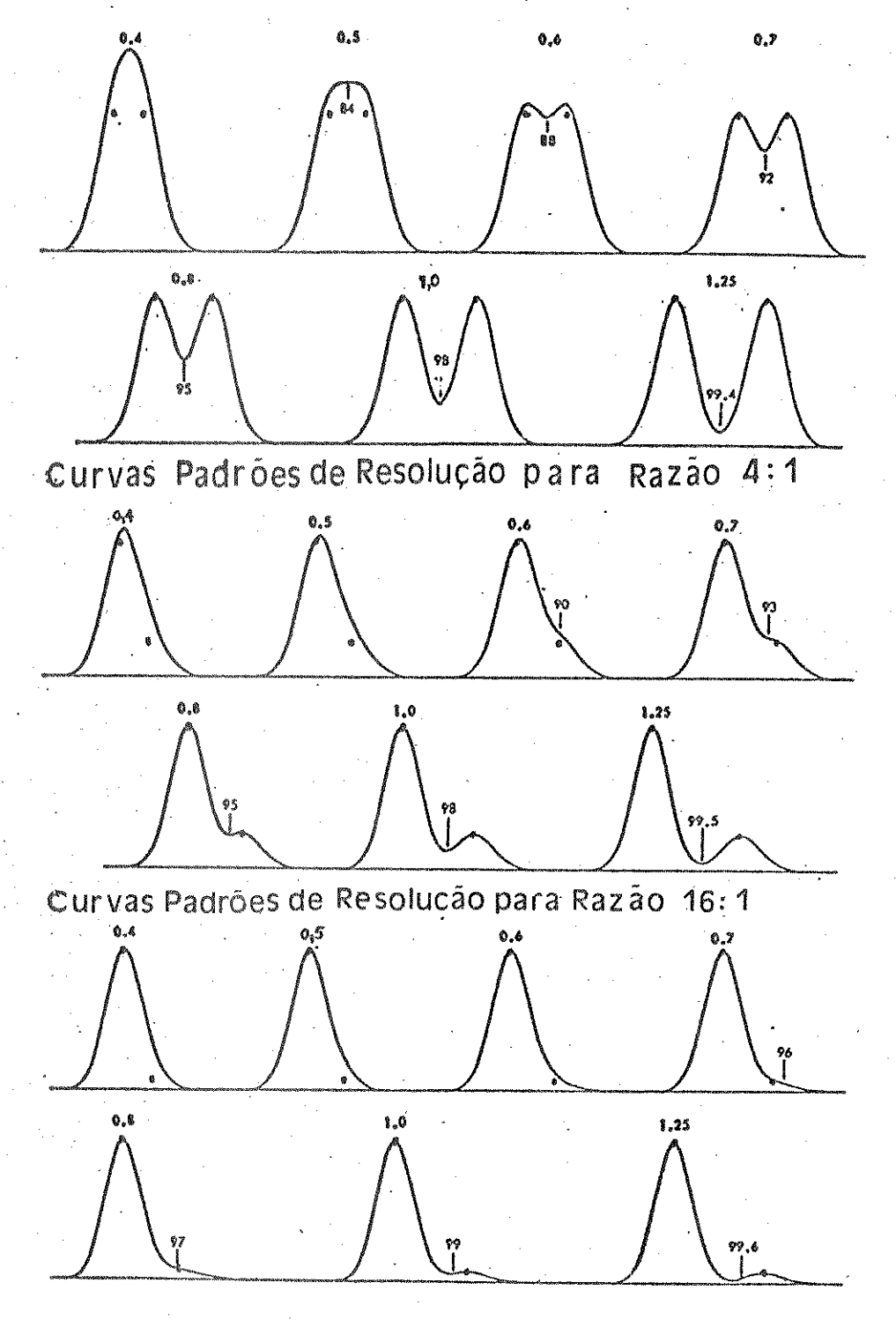


Figura 2.5. — Curvas Padrões de Resolução para duas bandas com diferentes razões de concentração [15]. Os números acima das bandas referem—se à Resolução. As setas indicam o ponto que dará bandas de igual pureza e os números acima ou abaixo das setas referem—se à pureza de cada uma das duas bandas resultantes.

near da FM em coluna com uniformidade de enchimento e com fina camada de filme líquido de FE sobre o suporte, são fatores que minimizam o termo C.

O termo D relaciona o alargamento das bandas com a transferência de massa do soluto para a FM. Fatores como tamanho e forma das colunas, diâmetros das partículas, velocidade linear da FM e o coeficiente de difusão do soluto na FM podem ser modificados para reduzir o temro D.

Uma curva típica da equação de Van Deemter é ilustrada na Fig.2.6 [16]. O aspecto mais importante, do ponto de vista prático, na in-

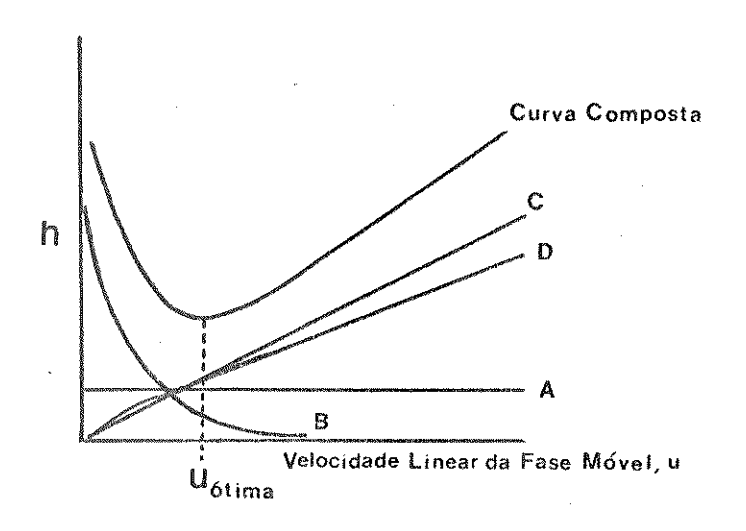


Figura 2.6. - Curva da equação de Van Deemter mostrando as contribuições dos vários termos e a velocidade ótima [16]

terpretação desta curva é que existe uma vazão (F) ótima, que é diretamente relacionada com a velocidade linear da FM, u, para a qual a eficiência do sistema será máxima (menor valor de h). Em geral, a F ótima possui valores muito pequenos e prefere-se trabalhar com vazões maiores, para reduzir o tempo de análise. Torna-se, por isso, conveniente que a parte ascendente da curva seja pouco inclinada, para que se tenha boa eficiência, mesmo com vazões maiores.

Alguns autores utilizam ainda outro método para cálculo da eficiência de separação de uma coluna [17]. Este método, frequentemente usado em CGAR, calcula o número de separação, ou número de Trennzahl [18].

$$T_Z = \frac{t_R(x + 1) - t_R(x)}{W_h(x + 1) + W_h(x)} - 1$$
 (XI)

O número de Trennzahl, Tz, representa o número de picos que poderiam ser colocados, se desejado, entre o Cx e Cx+1, sendo os C, compostos com características similares. Esta equação já foi verificada e funciona muito bem para séries homólogas de n-parafinas, assim como para outras séries homólogas.

## 2.3. - O Equipamento usado em CLAE

A diferença básica entre a Cromatografia Líquida Clássica e a CLAE está no tamanho das partículas empregadas no enchimento da coluna. Na primeira, as partículas possuem grandes diâmetros, da ordem de 75 a 250 μm, requerendo apenas a força da gravidade para operação, mas resultando em eficiência e resoluções baixas, com tempo de análise elevado. Já na CLAE, que emprega partículas menores, de 3 μm ou, em trabalhos mais recentes, de até 1 μm de diâmetro médio, são requeridas altas pressões para operação, em torno de 300 bar, mas que resultam em colunas de grande eficiência e resolução, com menor tempo de análise.

Devido à alta pressão de operação, a CLAE necessita de equipa mento especial, que a cada dia tem seus recursos ampliados e modernizados.

Um esquema simplificado de um cromatógrafo a líquido, empre-

gando duas bombas para impulsionar a FM é ilustrado na Fig. 2.7.

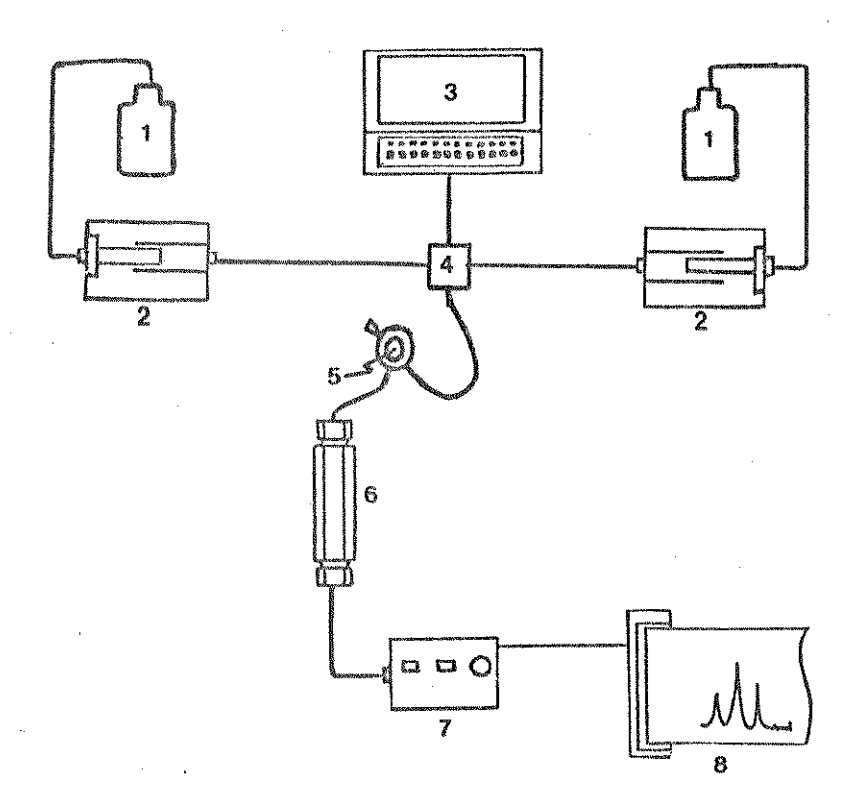


Figura 2.7. - Esquema de um Cromatógrafo a Líquido

- 1. reservatório para solvente
- 2. bombas para impulsionar a FM pela coluna
- 3. programador de FM
- 4. misturador de solventes
- 5. válvula de injeção da amostra
- 6. coluna analítica
- 7. detector/sistema de detecção
- 8. registrador/integrador eletrônico

Existem sistemas mais simples, onde a FM é impulsionada por apenas uma bomba, havendo necessidade de misturar os solventes para a FM (quando esta é uma mistura) fora do sistema. Este tipo de equipamento funciona muito bem em condições isocráticas, mas pode ser uma limitação quando se quer trabalhar com gradiente de eluição. Por outro lado, existem sistemas cromatográficos que podem misturar e impulsionar até quatro solventes simultaneamente.

As colunas, tubos e conectores para CLAE são geralmente de aço inox, para resistir às pressões e garantir a inatividade do sistema em reagir com a amostra.

O sistema de injeção da amostra num equipamento de alta eficiência é de grande importância para a reprodutividade das análises.

Os sistemas mais frequentemente usados em CLAE são os de válvula de
injeção, com amostradores de volumes definidos e que podem ser subs
tituídos, dependendo da conveniência. O esquema de uma válvula de
injeção simples, com dois estágios, é mostrado na Fig. 2.8. No entanto, existem válvulas com até 10 pontos de injeção, com sistema
de retro-fluxo, para limpeza do amostrador.

As juntas, tubos e conectores após o injetor, devem ter o menor volume possível, para reduzir ao máximo as dispersões extra-coluna e, assim, serem compatíveis com um sistema de alta resolução e eficiência. Também o amostrador deve ter o menor volume possível, para minimizar estas dispersões.

O alargamento da banda devido à dispersão extra-coluna pode ser calculado matematicamente e é resultado da contribuição de diversos fatores como: volume da amostra injetada, tempo da injeção, dimensões dos tubos e conectores e do volume da cela do detector [12, 19]. Existem valores limites para cada um destesfatores, acima

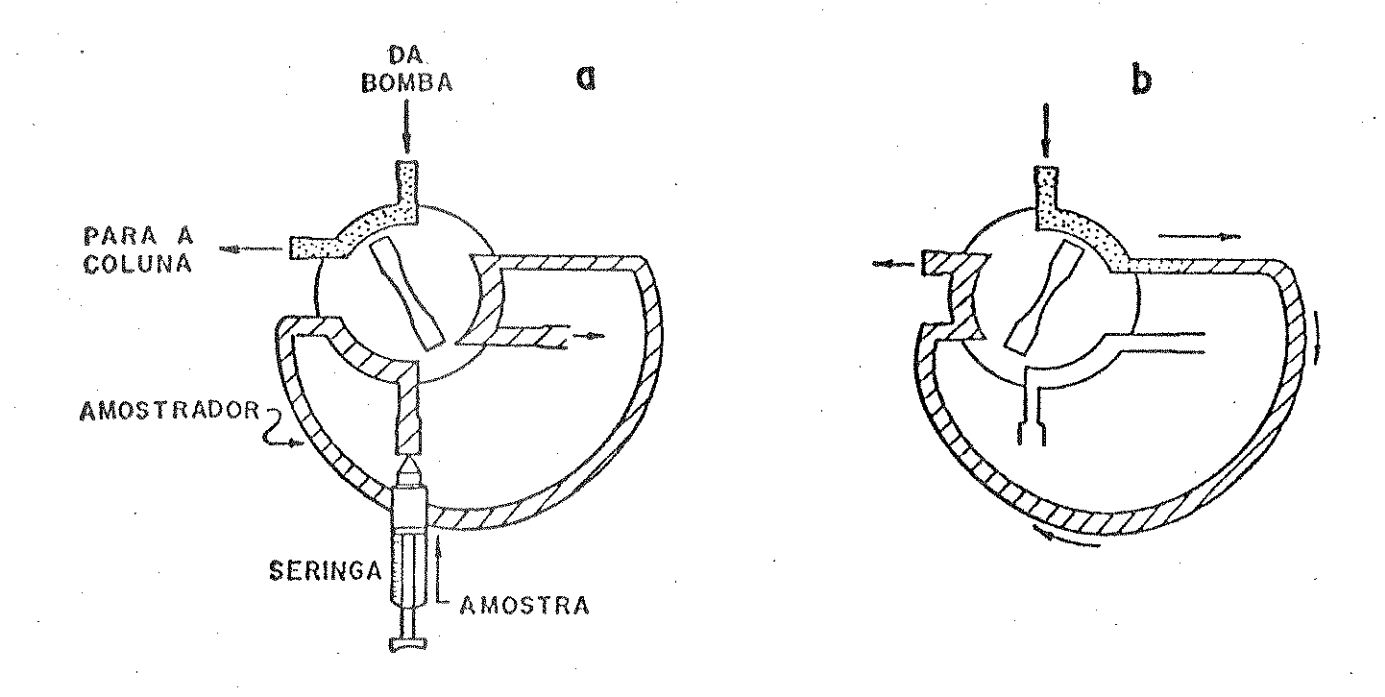


Figura 2.8. - Válvula de amostragem para CLAE [9]. a: posição para carregar; b: posição para injetar

dos quais, o alargamento da banda será excessivo e prejudicará a eficiência global do sistema, independentemente da coluna. O efeito do volume da cela do detector no aumento de dispersão da banda cromatográfica é ilustrado na Fig. 2.9. [20]

Para superar problemas como o da dispersão, em sistemas de CLAE, estão sendo desenvolvidas técnicas que empregam colunas com micro-diâmetros internos, sendo encontradas com o nome de Cromato-grafia Liquida de Baixa Dispersão. As colunas empregadas podem ser recheadas (com d.i de 0,2 a 2 mm), capilares recheadas (com d.i de

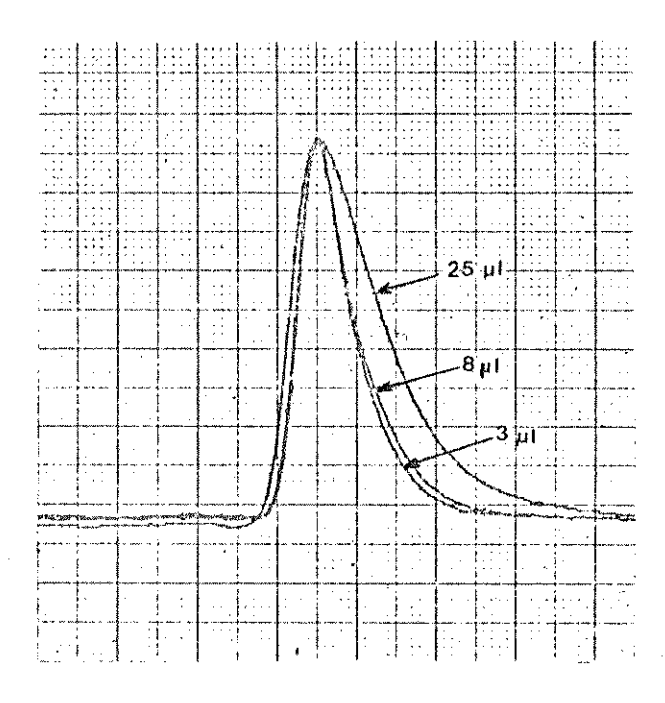


Figura 2.9. - Efeito do volume da cela do detector no aumento da dispersão da banda cromatográfica [20]. Colu na 250 x 4,6 mm; soluto: benzeno; FM: tetraidro furano; vazão da FM: 1 mL/min; volume da cela: 25,8 e 3 µL.

40 a 80  $\mu$ m) ou capilares abertas (com d.i de 15 a 30  $\mu$ m), sendo que os fatores de dispersão extra-coluna, nestes casos, são ainda mais críticos e devem ser muito bem controlados.

#### 2.4. - Fases Estacionárias e Fases Móveis para CLAE

O tipo de FE empregada nas colunas define o tipo de cromatografia: se forem utilizadas FEs polares, com FM apolar, a técnica é chamada CLAE com fase normal; se fases apolares forem empregadas, com FM polar, tem-se a CLAE com fase reserva. A escolha do tipo de CLAE a ser empregada, dependerá das características da amostra.

Como indicado na Fig. 2.1, as FEs podem ser sólidas, líquidas

ou líquidas ligadas ao sólido e originam, respectivamente, a cromatografia líquido-líquido (CLL) e a cromatografia líquida com fase ligada (CLFL).

Na CLS, a FE pode ser polar (sílica gel, esferas de vidro poroso, alumina) ou apolar (por exemplo polímeros de PS-DVB) sendo adequada para amostras de massa molecular intermediária, pouco voláteis (massa molecular > 1000), e tende a exibir uma seletividade mais alta entre certos tipos de isômeros do que outros métodos de CL. Ela também distingue entre compostos de diferentes tipos e número de grupos funcionais, mas ignora diferenças em substituintes alquil ou massa molecular de compostos [10].

A CLL apresenta características importantes como a versatilidade para vários tipos de amostra, reprodutibilidade quando do enchimento da coluna, velocidade de separação, estabilidade do soluto dentro da coluna e sensibilidade com alta precisão, porém há a grande desvantagem da solubilidade da FE na FM líquida.

Para minimizar os problemas de solubilização da FE na FM, foi idealizada a CLFL, que utiliza um líquido como FE, sendo quimicamen te ligado ao suporte. Esta ligação química elimina o problema da so lubilidade da FE na FM. A CLFL pode ser com fase normal (FE polar) ou com fase reversa (FE apolar), sendo esta última mais usada atual mente.

O suporte geralmente usado é sílica (ou a base de sílica), que produz colunas eficientes e estáveis, mesmo a altas pressões. Algumas reações para se produzir fase ligada são ilustradas na Fig.2.10 [16].

Além das colunas e equipamentos, a FM também cumpre um papel crítico na maximização do desempenho da cromatografia líquida, sendo importante a seleção correta da FM para uma dada separação.

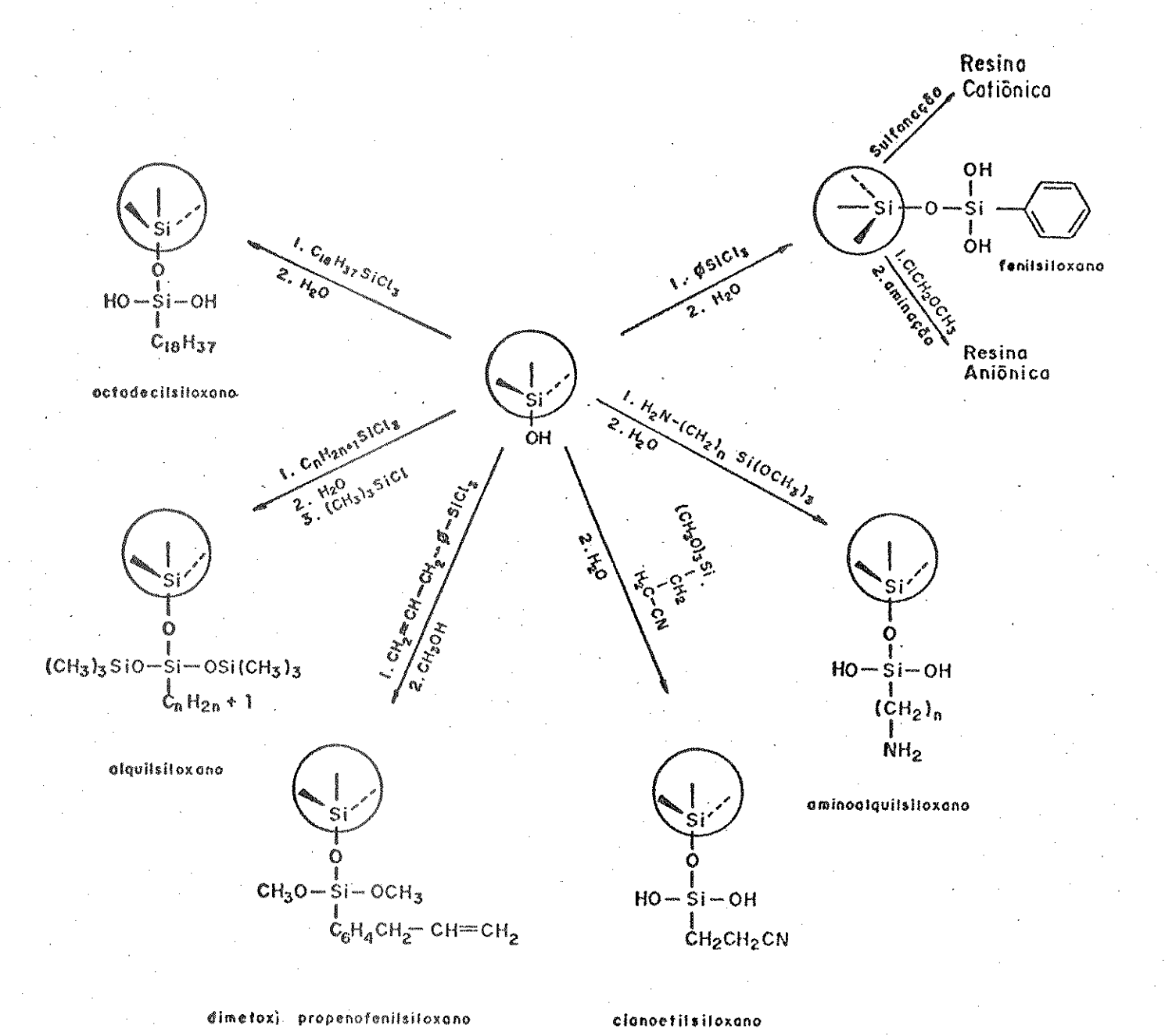


Figura 2.10. - Preparação de fases estacionárias quimicamente ligadas [16].

Dois aspectos podem ser considerados: o prático e o da maximização da resolução. Por aspectos práticos entende-se os fatores que determinam se um sistema é viável ou não a uma dada aplicação. A maximização da resolução refere-se ao ato de adequar a separação da amostra dentro de um tempo razoável. Requisitos práticos para a FM incluem: (1) estabilidade frente a FE e a coluna; (2) compatibilidade com o detector; (3) solvência adequada da amostra e (4) não interferência na recuperação da amostra.

A FM também não deve resultar em alterações irreversíveis na coluna. Alguns detectores de cromatografia líquida não podem ser usa dos com todas as FMs, particularmente aquelas cuja composição muda com o tempo (gradiente).

O efeito da FM na resolução de uma amostra é melhor discutido em termos da equação geral de resolução (eq. VII).

A resolução de duas bandas adjacentes é determinada pelo fator de seletividade,  $\alpha$ , o número de pratos teóricos da coluna, n, e a razão de distribuição das massas,  $D_m$  Em outras palavras, a resolução está relacionada com a seletividade de separação, eficiência da coluna e velocidade média de migração da banda. A FM tem um efeito importante em cada um desses três fatores: n varia com a viscosidade do líquido, enquanto  $\alpha$ , e  $D_m$  são funções de propriedades termodinâmicas do líquido. A variação da velocidade média de migração da banda com a composição da FM depende da "força do solvente" [10].

A viscosidade da FM influi na permeabilidade da coluna bem como nas variáveis n e h. Uma FM viscosa aumenta h por reduzir os coeficientes de difusão da amostra e a velocidade de transferência de massa e reduz também a permeabilidade da coluna, requerendo matior pressão na coluna para uma dada vazão de FM. Por outro lado,

FMs com viscosidade muito baixas devem ser evitadas em CLAE, como pentano ou éter etílico, devido a seus pontos de ebulição muito baixos, o que provoca a formação de bolhas na coluna e no detector.

As FMs para CLAE devem ser de alta pureza e quando o sistema de detecção é por UV, estes não devem apresentar grupos cromóforos que absorvam luz UV. Elas também não devem conter compostos que fiquem adsorvidos irreversivelmente na coluna, comprometendo sua eficiência futura.

Outro aspecto importante da FM, principalmente para a realidade brasileira, é o seu custo, que deve ser o mais baixo pos sível.

Um resumo com as FEs mais usadas em CLAE e as FMs mais adequadas em cada caso, pode ser encontrado na Tab. 2.5 [21].

#### 2.5. - Detectores para CLAE

Paralelamente ao grande desenvolvimento que a CLAE tem tido nos últimos 20 anos, detectores para CLAE têm sido amplamente estuda dos e aprimorados, expandindo seus limites de sensibilidade e buscam do a universalidade na detecção. Diversas publicações vêm sendo feitas sobre o assunto e bons exemplos são as de Poole e Schuette [12] e Vickrey [22].

De maneira geral, um detector para CLAE é colocado na saída da coluna para fazer:a) ou medidas diferenciais de uma propriedade do líquido eluído (amostra mais FM); b) ou medidas de uma propriedade da amostra que não é apresentada pela FM; c) ou aindamedidas da amostra, após eliminação da FM.

As características desejáveis de um detector para CLAE são:

TABELA 2.5. - Fases Estacionárias e Fases Móveis mais usadas em CLAE (modificações da Ref. [21].

Tipo		Fase Estacio-		Grupo Funcional	Fases Moveis Comuns	7nddanasaa mitataa
		nária		de Superfície	rases rovers comuns	Aplicações Típicas
Adsorção		Sílica Gel Alumina		OH OH -Si-O-Si-    -Al-O-Al-	hexano, clorofórmio, isopropanol hexano, clorofórmio, isopropanol	Éteres, ésteres, por firinas, micotoxinas, vitaminas lipo solú- veis Aminas
ição Fase Normal		Ligadas	Amino Ciano Diol	- NH <sub>2</sub> - CN Gliciloxi-etil metoxi-silano	hexano, clorofórmio, isopropanol água, Na <sub>2</sub> HPO <sub>4</sub> 0,1 M	açúcar, esteróides, nitro-compostos amino-ácidos, nitro compostos. Proteínas, peptidio surfactantes aquosos
Parti	Fase Reversa	Fases	RP-2 RP-8 C-8 RP-18 ODS	Dimetilsilano Octilsilano Octadecilsila- no	água, acetonitrila e metanol	aminas, fenóis, vita minas hidro-solúveis. catecolaminas, óleos essenciais, esterói- des. analgésicos, ftalatos aromáticos polinuclea res.
Troca Iônica		Troca catiô- nica forte Troca aniô- nica forte Troca aniô- nica fraca		Ácido Sulfônico Amina quaterná- ria -NH <sub>2</sub>	Na <sub>2</sub> HPO <sub>4</sub> 0,01-0,1M Na <sub>2</sub> HPO <sub>4</sub> 0,01-0,1M H <sub>3</sub> PO <sub>4</sub> 0,01-0,05M	vitaminas hidro-solú- veis, purinas, aminoá cidos, nucleosídeos nucleotídeos Corantes de alimentos carboidratos
Exclusão/Permeação em Gel		Gel aquoso  Gel orgânico  Sílica com poro contro- lado  Vidro com po ro controla do		Divinil—benzeno sulfonatado Divinil—benzeno Sílica—gel Vidro poroso	água  clorofórmio, tetraidrofurano tetraidrofurano, álcoois, água  tetraidrofurano, álcoois, água	proteínas, acúcar, peptideos polímeros, borracha polímeros, compostos biológicos compostos biológicos

- alta sensibilidade, com baixa quantidade mínima detectável
- resposta rápida a todos os solutos
- linearidade numa grande faixa de concentração
- insensibilidade a variações da temperatura e da vazão da FM
- não contribuir para o alargamento das bandas, tendo o menor volume possível
- ser de simples operação
- ter custo acessível
- não destruir os componentes da amostra

Até o momento, não se conseguiu desenvolver um detector que sa tisfaça a todos estes requisitos analíticos. Alguns detectores, por serem muito específicos, reunem poucas destas características desejá veis. Já outros, mais universais, chegam a atingir a maior parte des tes requisitos (ver tabela 2.2-B, pág. 10).

Detectores óticos são os mais usados, pois são pouco sensíveis à mudança da vazão da FM. Dentre eles estão os de absorbância e fluo rescência no UV/visível, com comprimento de onda variável, que podem chegar a cobrir a faixa de 190 a 800 nm [9].

Outros detectores como os de índice de refração e os eletroquímicos são também empregados, porém são de menor sensibilidade, se bem que os novos detectores eletroquímicos são bastante sensíveis e podem ser muito úteis na detecção de compostos halogenados e peralogenados.

Os detectores de radioatividade operam com baixas quantidades mínimas detectáveis, têm grande faixa de resposta e são insensíveis a troca de solventes na FM, podendo, assim, serem usados com gradiente de eluição. Porém, são específicos para compostos radiomarcados, sendo, às vezes necessária a adição de um coquetel de cintilação.

O espectrômetro de massa ou mesmo o detector seletivo de massa, acoplado ao cromatógrafo a líquido, torna este sistema um poderosís—simo instrumento de análise, tanto qualitativa como quantitativa. A superação das grandes limitações impostas pela interface entre as du as técnicas, com relação à distribuição da amostra na FM, tem sido alvo de inímeras pesquisas e grandes avanços já foram conseguidos nes te sentido. Uma interessante revisão sobre este assunto pode ser encontrada em recente trabalho publicado por Covey e colaboradores [23].

#### CAPÍTULO 3

#### Processos Fotoquímicos

Existem diferentes maneiras pelas quais as moléculas de uma de terminada substância podem ser excitadas, dependendo da energia fornecida. Se a energia for  $\leq$  0,01 eV ( $\lambda \geq$  100 µm), a excitação será a nível rotacional, que requer a mais baixa quantidade de energia e não provoca mudanças químicas. Fornecendo energia entre 0,1 e 0,5 eV ( $\lambda$  entre 10 e 5 µm), ocorrerão mudanças a nível vibracional, que já requerem maior quantidade de energia, mas não provocam mudanças químicas. Se a quantidade de energia for ainda maior, entre 1,0 e 10 eV ( $\lambda$  entre 1 e 0,1 µm), vários elétrons serão promovidos a estados excitados indo para orbitais de maiores energias (mudanças a nível eletrônico). As reações fotoquímicas ocorrem a partir destes estados eletronicamente excitados das moléculas [36]. Os estados eletronica mente excitados contém ainda os subníveis vibracionais que, por sua vez, contém os subníveis rotacionais.

Quando quantidades de energia muito grandes são fornecidas  $(E \ \ge \ 10 \ \ eV \ e \ \lambda \ < \ 0,1 \ \mu m) \,, \quad poderá ocorrer ionização ou dissociação, com formação de espécies químicas diferentes.$ 

Um processo fotoquímico é, portanto, uma reação química que ocorre somente sob a influência de determinado tipo de energia, ou seja, sob a influência da luz. Não se trata de reações catalisadas pela luz, pois um catalisador é recuperado no final do processo e a luz é absorvida e não recuperada.

O comprimento de onda da radiação luminosa no processo fotoqui mico é limitado na faixa que compreende o infra-vermelho (IV) próximo, o visível e o ultra-violeta (UV) próximo (de 1.000 nm no IV até

100 nm no UV) e a luz pode ser considerada como constituída por fótons individuais de energia dada por E = h v [36].

A primeira interação que ocorre no processo fotoquímico é de um foton com uma molécula, gerando uma molécula no estado excitado, com diferentes propriedades físicas e químicas.

$$M + h \nu \rightarrow M *$$

Todas as reações que não se iniciam por este processo são cham<u>a</u> dos "reações de escuro".

Após o processo ter-se iniciado, com absorção do fóton pela molécula M, a molécula M\*, na etapa seguinte reagirá com uma outra molécula, formando outro produto:

$$M* + N \rightarrow P$$

Esta etapa é chamada um "processo primário". Se o produto P vier a reagir com outras moléculas ainda, ocorrerá um "processo secundário".

#### 3.1. - Estados Eletrônicos das Moléculas

Quando uma molécula está no estado fundamental (por exemplo, a de hidrogênio) seus elétrons encontram-se num orbital  $\sigma$  (ligante). Ao serem excitados, um dos elétrons poderá ocupar um orbital de maior energia que, neste caso, será  $\sigma^*$  (anti-ligante). Na desexcitação ( $\sigma^* \to \sigma$ ), um fóton de luz, de mesma freqüência do absorvido será emitido. Se a molécula possuir ligações duplas ou triplas, uma ou duas poderão ser ligações  $\pi$ , o que poderá resultar, quando da excitação, em processos  $\pi \to \pi^*$ , ou ainda  $n \to \pi^*$  ou  $n \to \sigma^*$ , onde  $n \to 0$  nível não ligante (se a molécula possui elétrons não ligantes).

Os elétrons de uma molécula no estado fundamental encontram-se sempre num orbital com seus spins anti-paralelos. Quando um desses elétrons vai para um orbital vazio, de maior energia, os dois elétrons ficam ocupando, sozinhos, cada um , um orbital, o que possibilita que eles tenham seus spins paralelos ou anti-paralelos. Estes estados são chamados de "triplete" e de "singlete" (Fig. 3.1).

Figura 3.1. - Os estados excitados singlete e triplete

#### 3.2. - Processos de Desativação

Normalmente, a molécula excitada decairá para o seu estado fundamental com emissão de luz (h  $\nu$ ):

$$M^* \rightarrow M + h \nu$$

Entretanto, existem muitos processos de desativação que não en volvem emissão de radiação. Se, por exemplo, uma molécula M\* encontrar uma Y que pode ser excitada a Y\*, de energia menor que M\*, ocorrerá, então, transferência de energia:

$$M^* + Y \rightarrow Y^* + M$$

Existem ainda outros tipos de desativação:

$$M^* + X \rightarrow M + X + calor$$

$$\begin{cases}
M^* + N \rightarrow M^+ + N^- \\
M^+ + N^- \rightarrow M + N
\end{cases}$$

#### 3.3. - Fotoquímica de Compostos Orgânicos Halogenados

Os orbitais moleculares não preenchidos de mais baixa energia, nos haloalcanos, são formados a partir da sobreposição de um orbital híbrido  $\operatorname{sp}^3$  do átomo de carbono e de um orbital p do átomo de halogê nio (X); eles são do tipo  $\sigma^*$  e são C  $\leftrightarrow$  X anti-ligantes. Nas transições eletrônicas de mais baixa energia, elétrons p não ligantes do átomo de halogênio são excitados ao orbital  $\sigma^*$  e as transições são do tipo n  $\to$   $\sigma^*$ . A absorção de energia de determinado comprimento de onda resulta, desse modo, na pronta fotodissociação das ligações C-X, com eficiência quântica quase igual à unidade [37].

Muitas moléculas simples dissociam-se em fase gasosa. Isto é resultado do enfraquecimento das ligações o nos estados o - o\*. Um exemplo típico é o das ligações de moléculas de cloro, que ocorre a 400 nm [38]. Se esta dissociação ocorrer na presença de alcanos, um processo em cadeia poderá ser iniciado [39]:

Cl<sub>2</sub> 
$$\xrightarrow{h\nu}$$
 Cl. + Cl. Iniciação  
Cl. + CH<sub>4</sub>  $\rightarrow$  .CH<sub>3</sub> + HCl  
CH<sub>3</sub>. + Cl<sub>2</sub>  $\rightarrow$  CH<sub>3</sub>Cl + Cl.  
Cl. + Cl.  $\rightarrow$  Cl<sub>2</sub>  
CH<sub>3</sub>. + CH<sub>3</sub>.  $\rightarrow$  CH<sub>3</sub> - CH<sub>3</sub> Terminação  
CH<sub>3</sub>. + Cl.  $\rightarrow$  CH<sub>3</sub>-Cl

Os derivados orgânicos halogenados possuem ligações fracas que provocam pontos de dissociação seletivo, mesmo em moléculas grandes [36]:

$$R - X \xrightarrow{h\nu} R. + X. X = F,Cl,Br,I$$

As ligações C-I são particularmente fracas, seguidas das C-Br, C-Cl e por último as C-F. As entalpias médias de rompimento destas ligações simples são: C-I = 240 kJ/mol; C-Br = 276 kJ/mol; C-Cl = 328 kJ/mol e C-F = 441 kJ/mol [40].

Estas ligações C-X nos haloalcanos serão sempre mais suscetíveis ao rompimento (com excessão da C-F) do que a ligação C-H, cuja en talpia média de rompimento é 413 kJ/mol.

Zeelenberg [41] observou esta tendência estudando a fótólise de compostos bromados (RBr), cujos produtos foram resultado da formação de radicais R. e Br.

Outros exemplos são a fotólise de  $CH_3X$  (X = I ou Br) e de  $C_2H_5Br$ , que ocorrem a 254 nm [42].

$$CH_3I + h\nu \rightarrow CH_3. + I.$$
 $CH_3Br + h\nu \rightarrow CH_3. + Br.$ 
 $C_2H_5Br + h\nu \rightarrow C_2H_5. + Br.$ 

Quando há mais de um tipo de halogênio na molécula, a fotólise provocará o rompimento da ligação mais fraca [42].

$$CHCl_2Br + hv \rightarrow CHCl_2. + Br.$$
 $CBr_2Cl_2 + hv \rightarrow CBrCl_2. + Br.$ 

Fornecendo maior quantidade de energia, poderá ocorrer a el<u>i</u> minação de molécula de halogênio [42].

$$CH_2I_2 + h\nu \rightarrow CH_2 + I_2$$
  
 $CF_2X_2 + h\nu \rightarrow CF_2 + X_2$  (X = C1, Br, I)

Rebbert e Ausloos [43], ao fotolisarem CCl $_4$  com diferentes comprimentos de onda ( $\lambda$ ), observaram uma distribuição de produtos que variava de acordo com o tipo de energia fornecida, sendo mais com muns: Cl $_2$ , C $_2$ Cl $_4$  e C $_2$ Cl $_6$ , analisados por CG. A presença de radicais

como CCl $_3$  e CCl $_2$ , dependendo do  $\lambda$  utilizado, levou-os a propor diferentes mecanismos de ruptura do CCl $_4$ :

$$CCl_4 + h\nu \rightarrow .CCl_3 + Cl \cdot (de 213,9 nm até 285 nm)$$
 $.CCl_3 + .CCl_3 \rightarrow C_2Cl_6$ 
 $CCl_4 + h\nu \rightarrow .CCl_2 + Cl_2 ( 213,9 nm)$ 
 $.CCl_2 + .CCl_2 \rightarrow C_2Cl_4$ 

A formação do radical CCl<sub>2</sub> pode ter ainda outra origem, se a energia fornecida for maior. Hautecloque [44] investigando a fotólise do CCl<sub>4</sub>, constatou que a 163,3 nm, havia a eliminação de dois átomos de Cl e a formação do radical CCl<sub>2</sub>:

$$CCl_4 + hv \rightarrow .CCl_2 + 2 Cl$$

Existe ainda mais uma possibilidade de fragmentação do CCl4, quando submetido a fotólise:

$$CCl_4 + hv \rightarrow .CCl + Cl_2 + Cl_4$$

A evidência da formação do radical CCl foi feita por Davis e colaboradores [45] ao obterem como produto da fotólise de CCl<sub>4</sub> em presença de Br<sub>2</sub>, o CBr<sub>3</sub>Cl, produzido via radical CCl.

Outros autores [46] também já observaram a formação deste tipo de radical, como CF, CCl e CBr, provenientes de diversas moléculas geradoras.

Hautecloque e Nguyen [47], ao fotolisarem CBr<sub>4</sub> puro e em soluções de CBr<sub>4</sub> em CCl<sub>4</sub>, com luz de comprimentos de onda maiores que 280 nm, observaram a formação de diferentes produtos. Quando o CBr<sub>4</sub> puro foi fotolisado entre 140 e 275°C, os produtos obtidos foram  $C_2Br_6$ ,  $Br_2$  e  $C_2Br_4$ , cujo mecanismo proposto foi:

CBr<sub>4</sub> + hv 
$$\rightarrow$$
 CBr<sub>3</sub>. + Br.  
Br. + Br. + M  $\rightarrow$  Br<sub>2</sub> + M  
Br<sub>2</sub> + hv  $\rightarrow$  2Br.  
Br. + CBr<sub>4</sub>  $\rightarrow$  Br<sub>2</sub> + CBr<sub>3</sub>.  
CBr<sub>3</sub>. + CBr<sub>3</sub>.  $\rightarrow$  C<sub>2</sub>Br<sub>6</sub>  
CBr<sub>3</sub>. + CBr<sub>3</sub>.  $\rightarrow$  C<sub>2</sub>Br<sub>4</sub> + Br<sub>2</sub>

Já na fotólise do CBr4, em presença de CCl4, os produtos obtidos foram C2Br6, Br2, CBr2Cl2, CBr3Cl e CBrCl3, sugerindo mais duas alternativas para os mecanismos de reação:

CBr<sub>3</sub>. + CCl<sub>4</sub> 
$$\rightarrow$$
 CBr<sub>3</sub>Cl + CCl<sub>3</sub>.  
CCl<sub>3</sub>. + Br.  $\rightarrow$  CBrCl<sub>3</sub>

A formação do C<sub>2</sub>Br<sub>6</sub> e Br<sub>2</sub>, por dois diferentes mecanismos, já havia sido verificado por Seely e Willard [48], em sistemas de fotólise onde o CBr<sub>4</sub>, puro ou em soluções de CCl<sub>4</sub>, aquecido a 95°C, foi irradiado com luz de comprimentos de onda entre 410 e 450 nm.

Como foi visto, a fotólise de polialometanos pode levar aos mais diversos radicais, dependendo da molécula de origem, constituin do-se interessante rota de síntese de muitos compostos peralogenados, seja pela diversificação das ligações C-X, seja pela formação de ligações C-C.

Na fotólise de soluções de C<sub>2</sub>Br<sub>6</sub> em CCl<sub>4</sub>, na presença de Br<sub>2</sub> ou Cl<sub>2</sub>, Taugbøl e Dahl [49] constataram, através de contagem por cintilação de bromo marcado, a tendência na ruptura das ligações C-Br, que possibilitou a formação de diferentes produtos peralogenados, indicados pela presença de ligações C-C, C-Br e C-Cl.

Síntese fotoguímica do  $C_2BrCl_5$  e também de outros peralogena dos já citados, já foram visualizadas por diversos autores.

Um exemplo é a formação do  $C_2BrCl_5$ , além de  $CCl_4$ ,  $Br_2$ ,  $CBr_2Cl_2$ ,  $CBr_3Cl$  e  $C_2Cl_6$ , que foi verificada, através de CG (exceto o  $Br_2$ , que foi feita espectrofotometricamente), por Young e Willard [50], a partir da fotólise de  $CBrCl_3$  gasoso.

O outro exemplo de síntese do C<sub>2</sub>BrCl<sub>5</sub>, porém sob condições bem mais drásticas de fotólise, é o trabalho de Higuchi e colaboradores [51], no qual soluções de C<sub>2</sub>HCl<sub>5</sub> e Br<sub>2</sub> em CCl<sub>4</sub> foram irradiadas por uma semana para a obtenção do produto C<sub>2</sub>BrCl<sub>5</sub>, além de HBr, determinados por atividade de radiobromo.

## CAPÍTULO 4

### 4. EXPERIMENTAL

4.1.	Solventes	empreg	rados cor	no fase	móvel	(FM)	para	Cromatografia	Lí-
	quida de .	Alta Ef		(CLAE					***************************************

Procedência/Fabricante

- Água destilada e desionizada pelo	
processo Nanopure	Barnsted
- Acetonitrila Lichrosolv para croma	
tografia	Merck
- Metanol Lichrosolv para cromato-	
grafia	Merck
- Metanol para análise	Merck

## 4.2. Reagentes Empregados

	Propriedade Física [52]	Fabricante
- Acetona para análise	p.e.= 56,2°C	Merck
- Ácido propiônico (RP - rea-		
gente puro)	p.f.= -20,8°C; p.e.=141°C	Carlo Erba
- Benzeno para análise	p.e.= 80,1°C	Merck
- Benzonitrila (RP)	p.e.= 205°C	Carlo Erba
- CCl <sub>4</sub> para UV	p.f.= -23°C; p.e.=76,54°C	Reagen Spectra
- CCl <sub>4</sub> para analise	<b>~</b>	Merck
- CBrCl <sub>3</sub> (grau "practical").	p.f.=5,65°; p.e.=104,7°C	Eastman
- CBr <sub>2</sub> Cl <sub>2</sub>	p.f.=22°C; p.e.=150,2°C	Alfa Products
on CBr <sub>4</sub>	p.f.=90-91°C;	
	p.e.=189-190°C	ICN Pharmaceutical

- C <sub>2</sub> Br <sub>4</sub>	p.f.= 56,5°C	
	p.e.= 226-227 <sup>O</sup> C	ICN Pharmaceutical
- <sup>C</sup> 2 <sup>Br</sup> 6	p.f.= 200-210°C (decomp	õe)
	p.e.= - (decompõe)	K & K Laboratories
- C <sub>2</sub> Br <sub>2</sub> Cl <sub>4</sub> (1,2-di-bromotetra	141	
cloro-etano)	p.f.= 220-22°C	Aldrich
- C <sub>2</sub> Cl <sub>4</sub> (reagente extra puro)		C Merck
~ C <sub>2</sub> Cl <sub>6</sub> (RP)	p.f.= 186-187°C (*);	
	p.e.= 186 <sup>o</sup> C	Carlo Erba
- Naftaleno (RP)	p.f.= 80,55°C;	
	p.e.= 218 <sup>o</sup> C	Carlo Erba
- Tolueno para análise	p.f.= -95°C;	
	p.e.= 110,6-114,5°C	Merck
- Argônio Comercial	$p.e. = -185,7^{\circ}C$	White Martins
- Cloro Comercial	p.e.= -34,6°C	White Martins
Bromo	p.f.= $-7,2^{\circ}$ C;	
	p.e.= 58,8°C	Carlo Erba
$-K_4$ Fe (CN) $6.3H_2$ 0	90-00	CAQ-Casa da Química
		Soc. Ltda.
- Na <sub>2</sub> SO <sub>3</sub> para análise	• • • • • • • • • • • • • • • • • • •	Merck

#### 4.3. Colunas empregadas para CLAE

Coluna 1 - 124 x 4,6 mm, recheada, na UNICAMP, com particulas Vydac C-18, de 10  $\mu m$  de diâmetro médio,

Coluna 2 - 250 x 4,6 mm, recheada, na UNICAMP, com partículas Vydac C-18, de 10  $\mu$ m de diâmetro médio.

(\*) Propriedade física fornecida pelo fabricante.

- Coluna 3 100 x 4,6 mm, recheada, na UNICAMP, com partículas esféricas Spherisorb RP-18, de 5  $\mu$ m de diâmetro médio.
- Coluna 4 125 x 4,6 mm, recheada, com partículas Lichrosorb RP-18, de 5  $\mu$ m de diâmetro médio, fabricada pela Merck.
- Coluna 5 250 x 4,6 mm, recheada com partículas Ultrasphere ODS, de 5 µm de diâmetro médio, fabricada pela Alltech.

#### 4.4. Instrumentação.

- Bomba de alta pressão para o recheio de colunas usadas em CLAE Shandon Southern Products Ltd.
- Ultra-som Sonifier B-12 Branson Power Company
- Bomba tipo pistão, para vazões de 0,1 até 9,9 mL/min, Altex Modelo 110 Altex Scientific Inc.
- Detector por absorbância no ultra-violeta/visível, com comprimento de onda variável, modelo Spectroflow 770; com volume de cela de 8 µL Schoeffel Instruments.
- Registrador modelo DSRG Sargent Welch Scientific Company
- Registrador modelo RB-102 Equipamentos Cientifícos do Brasil Ind. Com. Ltda.
- Lâmpada de Vapor de Mercúrio de Alta Pressão de 125W-HPL-N-Philips
- Injetor, com amostrador de volume variável (10, 20 e 100  $\mu L$ ) modelo 7010 Rheodyne Inc.
- Sistema Waters/Millipore para CLAE consistindo de:
  - Bomba tipo pistão, modelo 510, para vazões de 0,1 até 9,9
     mL/min.
  - . Detector por absorbância no UV/visível com comprimento de onda variável e volume da cela de 14  $\mu L$ , Lambda max modelo 481.

- . Integrador / Data module, modelo 740.
- . Injetor com amostrador de volume variável (5,10,20 e 50  $\mu L$ ), modelo 7125 (Rheodyne).
- Sistema Hewlett-Packard consistindo de:
  - . Cromatógrafo a gás, modelo 5890
  - . Detector Seletivo de Massa, modelo 5970
  - . Sistema de Vídeo, modelo 300
  - . Sistema de Micro-computador, modelo 9133, com Ploter modelo 7475A

## 4.5. Purificação dos Reagentes e Preparação dos Padrões.

Os solventes usados como FM para CLAE não foram submetidos a nenhum tratamento prévio; foram apenas desgaseificados através do equi
pamento de ultra-som, por 15 minutos, antes de serem empregados. Os
espectros de absorbância no UV destes solventes são mostrados nas figuras 4.1, 4.2, 4.3 e 4.4.

Como o grau de pureza (de rótulo) dos compostos peralogenados era muito variado, foram feitos testes preliminares para verificar a necessidade ou não de uma purificação. Cada composto foi injetado no sistema de CLAE para se verificar a presença de impurezas em quantidade significativa. Como não as apresentassem , os peralogenados, com exceção do  ${\rm C_2Br_6}$ , foram empregados sem nenhum tratamento prévio. O  ${\rm C_2Br_6}$  apresentava-se visivelmente impuro, de tonalidade marrom. Foi, então, purificado através de sublimação a vácuo (Figura 4.5), ao abrigo da luz, produzindo  ${\rm C_2Br_6}$  puro, na forma de cristais brancos , que foram guardados também ao abrigo da luz.

Outros métodos de purificação, como recristalização em etanol, foram testados, porém, sem sucesso. A sublimação a vácuo, no entanto, mostrou-se o método mais eficiente.

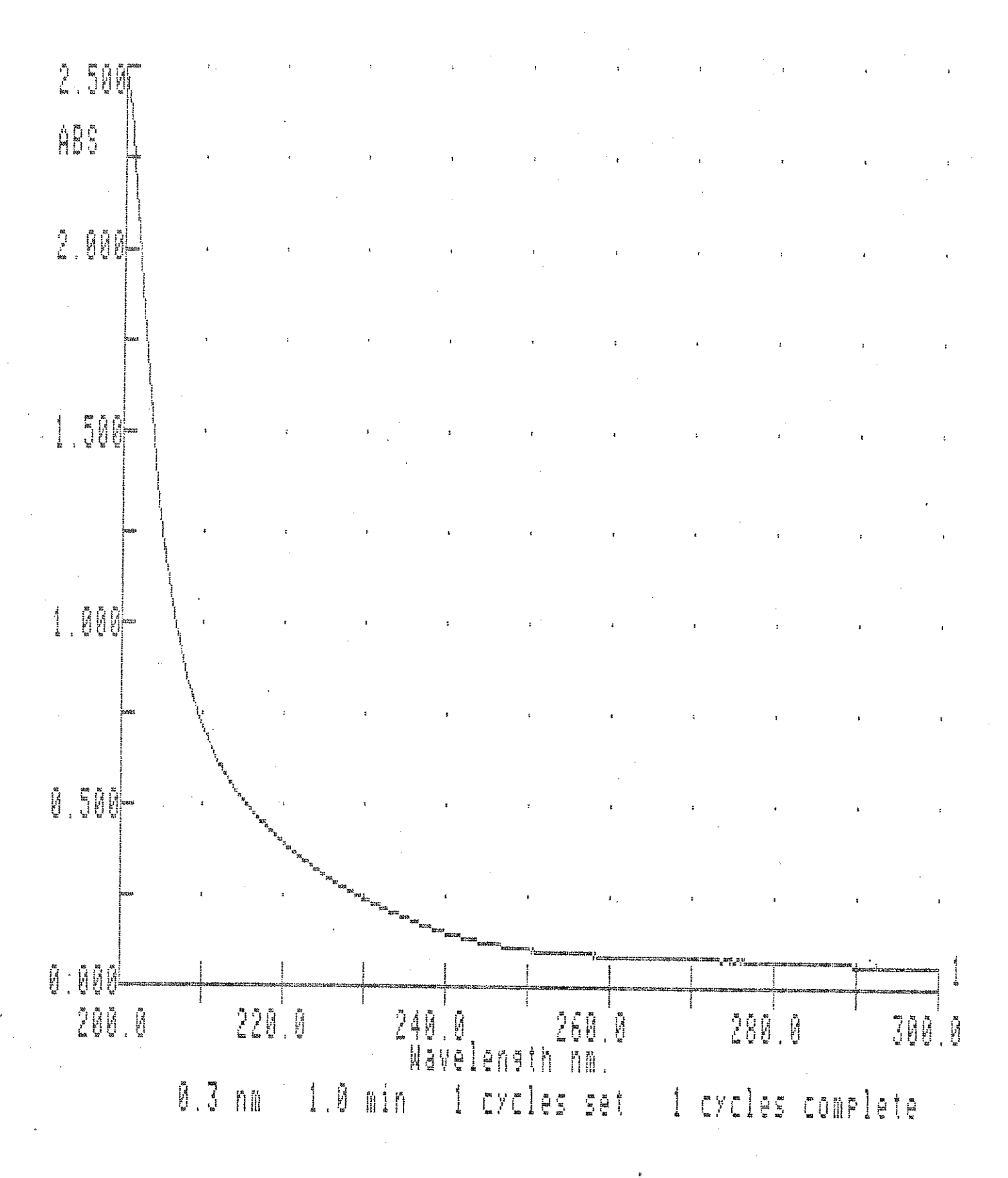


Figura 4.1. - Espectro de Absorbância no UV do metanol P.A. Merck

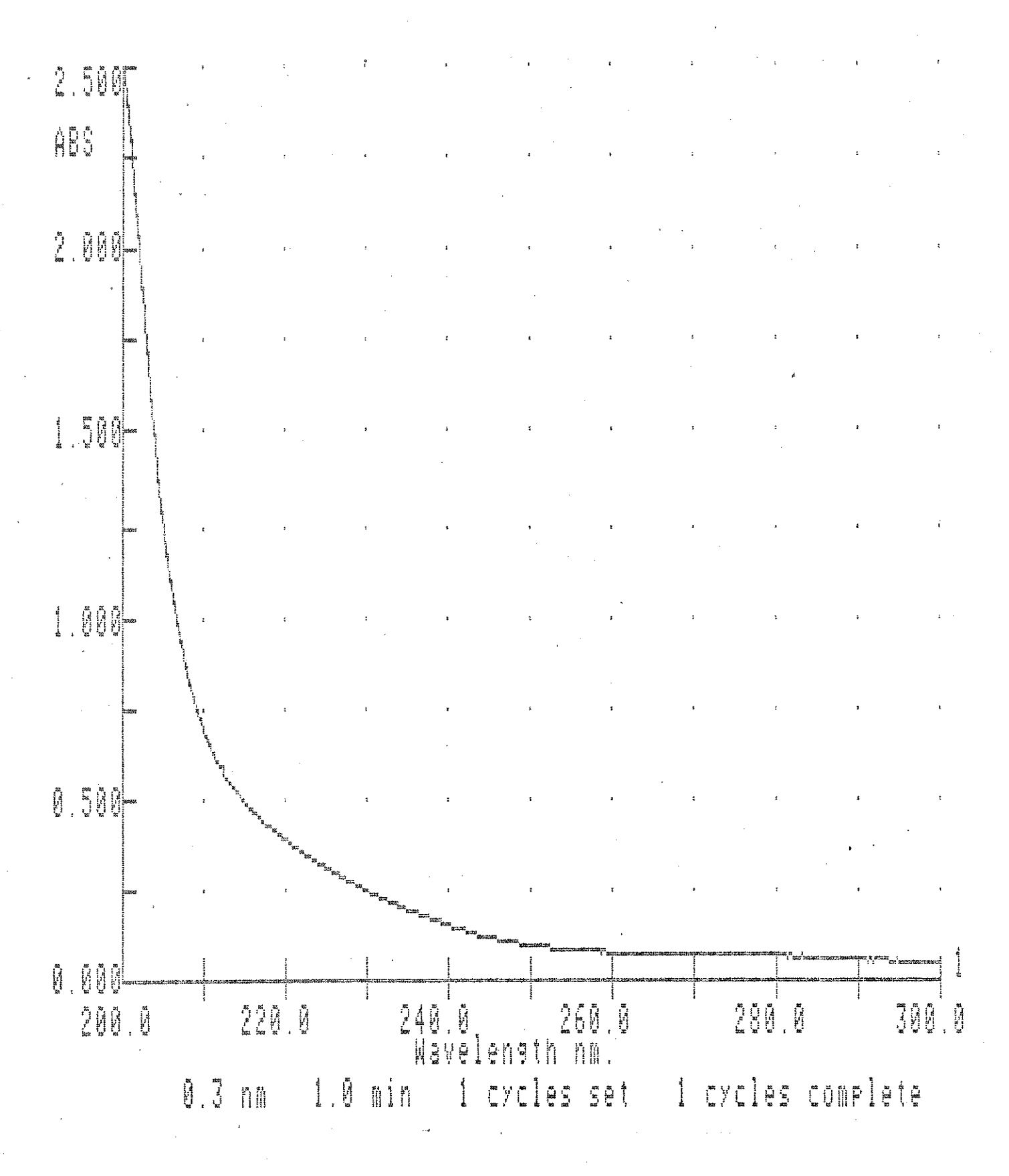


Figura 4.2. - Espectro de Absorbância no UV do metanol Lichrosolv Merck

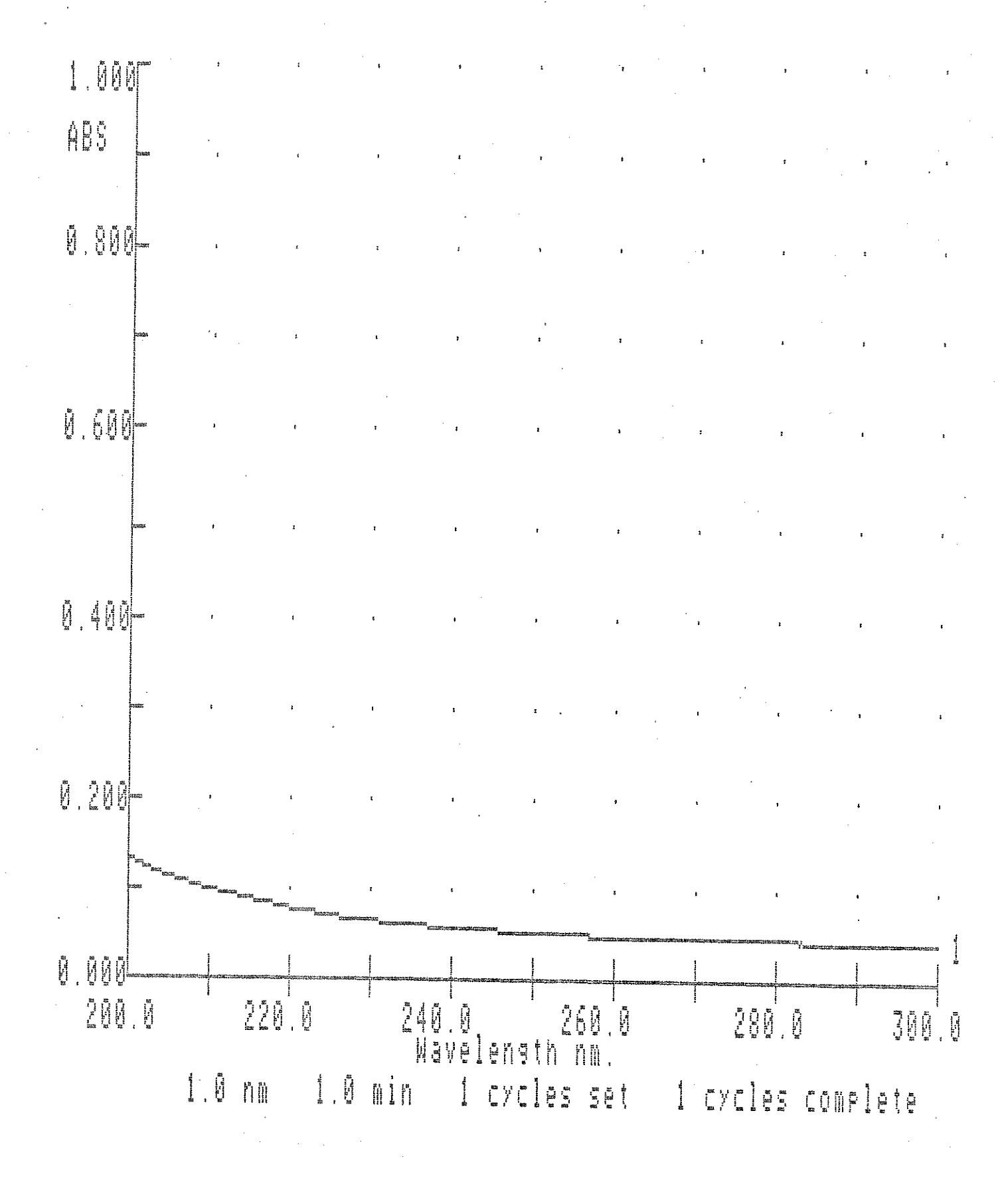


Figura 4.3. - Espectro de Absorbância no UV da Acetonitrila Lichrosolv Merck.

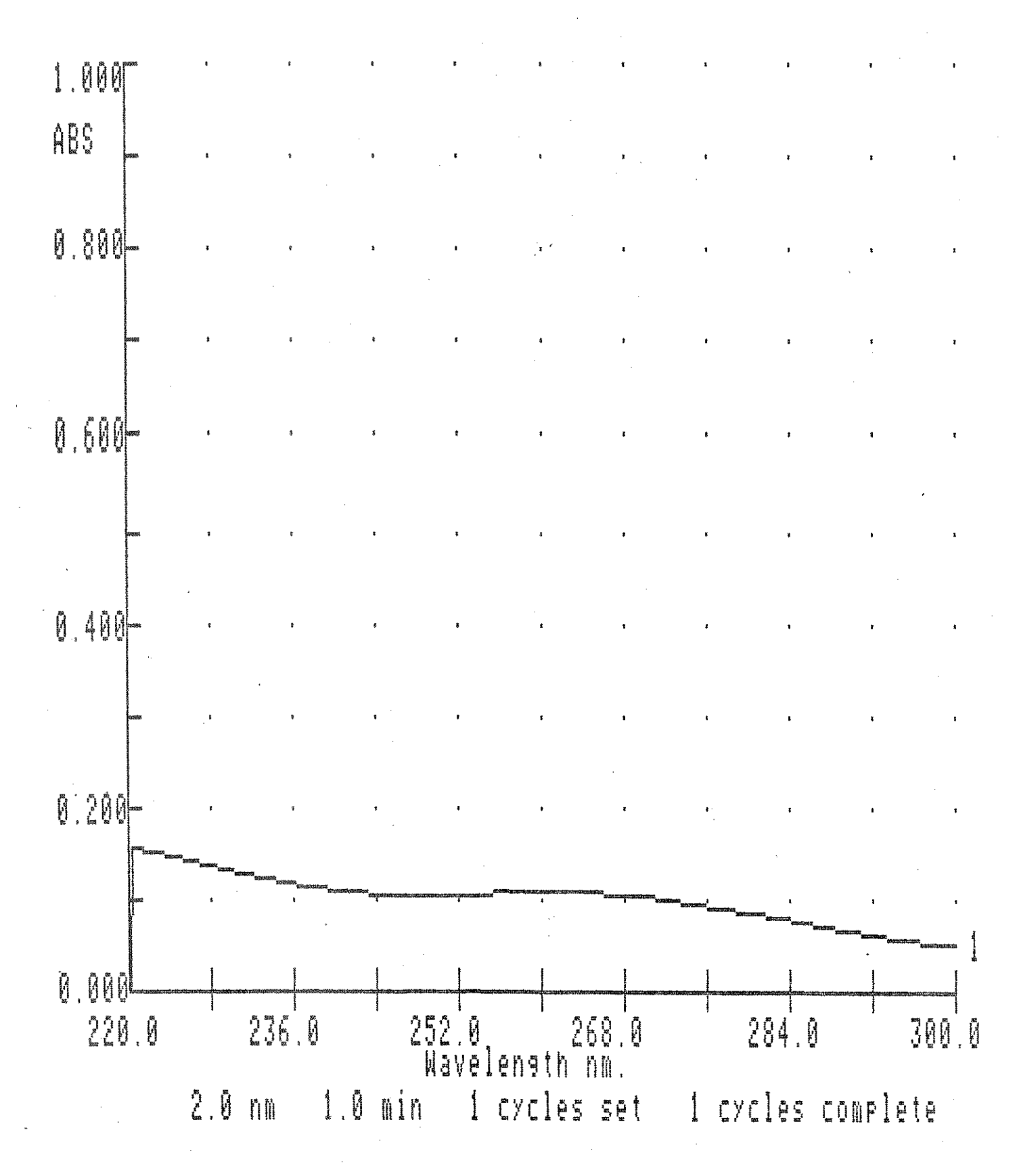


Figura 4.4. – Espectro de absorbância no UV da fase môvel MeOH/  ${\rm H_2O}$  50:50  $^{\rm V}/{\rm v}$ .

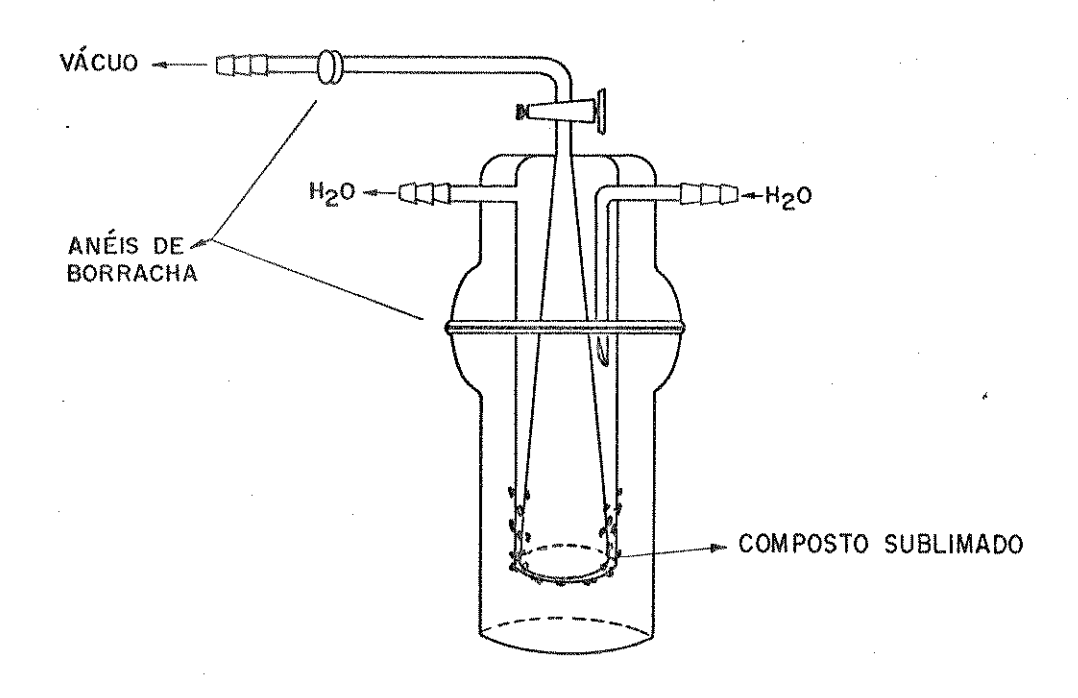


Figura 4.5. - Sublimador a vácuo, com refrigeração a água; o aquecimento da base pode ser feito com banho de glicerina.

As soluções dos compostos peralogenados padrões foram preparadas inicialmente em concentrações que variaram de acordo com o tipo de composto (Tabela 4.1), de maneira que a altura de seu pico cromatográfico atingisse de 50 a 90% da escala do registrador, com o detector em 0,4 U.A. (Unidades de Absorbância). Cada composto foi dissolvido em metanol (MeOH) e filtrado em filtro Millipore, sendo guardado ao abrigo da luz.

Os compostos usados para teste de eficiência das colunas também foram preparados em concentrações que permitissem picos de altura 80-90% da escala no cromatograma, com detector em 0,4 U.A.

TABELA 4.1. - Quantidade mínima detectável para compostos peralogena dos [4]; FM: MeOH/H<sub>2</sub>0 70:30; vazão da FM: 2mL/min; detecção: 220 nm; sensibilidade de detecção: 0,01 U.A. para deflexão de toda a escala do registrador.

Nitropianum synthesisia (Africa) in the resident Assessment as assessed (Africa) who was the Africa) and Africa) a	etertessen de la companya de c					THE RESERVE THE PROPERTY OF TH	***************************************
Composto	$CC1_4$	CBrCl <sub>3</sub>	$\mathtt{CBr}_4$	C <sub>2</sub> Cl <sub>4</sub>	C2Br6	${\rm C_2Br_2Cl_4}$	c <sub>2</sub> c1 <sub>6</sub>
quantidade minima de- tectável(µg/µL)	2x10 <sup>-2</sup>	10 <sup>-3</sup>	2x10 <sup>3</sup>	10 <sup>-4</sup>	1,5x10 <sup>-3</sup>	2x10 <sup>-3</sup>	5x10 <sup>-3</sup>

### 4.6. - Preparação e Avaliação de Colunas para CLAE.

As colunas 1,2 e 3 foram preparadas no laboratório, sendo a 3 preparada por de Lima [53].

O equipamento utilizado no enchimento das colunas para CLAE é esquematizado na figura 4.6.

Antes do enchimento, as colunas foram limpas, passando um limpador de cachimbo pelo seu interior e, depois água destilada e, em seguida, metanol.

- O procedimento usado para o enchimento das colunas foi o seguinte:
- A fase estacionária (FE) foi suspensa em MeOH e agitada no ultra-som por cerca de 10 minutos e imediatamente colocada no reservatório de material de recheio.
  - Foram conectadas a coluna e uma pré-coluna de 45 x 4,6 mm ao

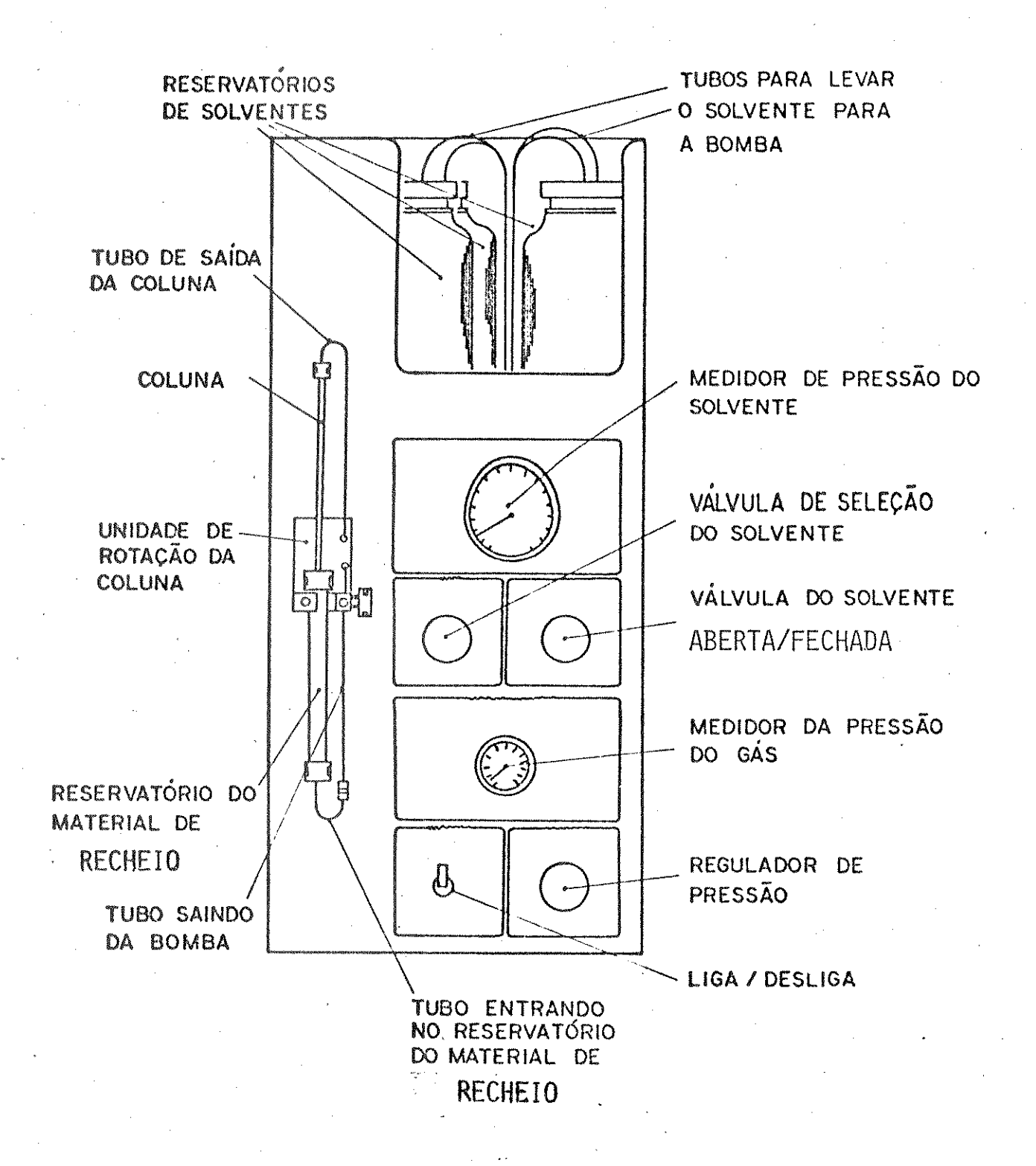


Figura 4.6. - Esquema da bomba de alta pressão para o enchimento de colunas para CLAE.

reservatório e foi iniciado o bombeamento, deixando-se bombear 7 minutos em um sentido e depois mais 7 minutos no outro sentido.

A pressão empregada no enchimento foi de aproximadamente 400 bar, variando cóm as dimensões das colunas. O solvente usado no bombeamen to foi uma mistura de MeOH/H<sub>2</sub>O 70:30. Outros solventes também podem ser usados, como metanol puro, dependendo da FM que será usada depois.

Antes de serem usadas, as colunas foram estabilizadas, deixando-se eluir a FM (MeOH/H<sub>2</sub>O 70:30) durante 3 horas, com vazão de 1,0 mL/
min. Após a estabilização (linha de base constante), foram feitos tes
tes para verificar a eficiência da coluna (cálculo de n, As). Compostos como naftaleno, benzeno, tolueno, benzonitrila e acetona foram usa
dos para os testes, sendo detectados por absorbância no UV a 254 ou
220 nm, em diferentes experimentos.

### 4.7. Otimização das Condições de Análise para Separação dos Padrões.

O trabalho de otimização das condições de análise, para a resolução do maior número possível de peralogenados, foi iniciado partindo-se de condições experimentais já desenvolvidas em outros trabalhos correlatos [53], [3] e [4].

A FM escolhida inicialmente foi MeOH/ $\mathrm{H}_2$ O 70:30, com vazão varian do de 0,1 até 2 mL/min, com detecção por absorbância no UV a 220 nm e a separação feita na coluna 1.

Cada um dos nove compostos disponíveis (CCl $_4$ , CBrCl $_3$ , CBr $_2$ Cl $_2$ , CBr $_4$ , C $_2$ Br $_4$ , C $_2$ Cl $_4$ , C $_2$ Br $_6$ , C $_2$ Br $_2$ Cl $_4$  e C $_2$ Cl $_6$ ) foi injetado individualmente para a verificação do seu tempo de retenção. A partir daí, foram preparadas misturas sintéticas com os compostos com tempos de retenção mais próximos, como os C $_1$  (compostos com um átomo de carbono), os C $_2$ 

saturados e os C<sub>2</sub> insaturados.

A composição da FM foi sendo modificada até que se tornasse a melhor composição possível para a separação de determinada mistura.

Na tentativa de se modificar a força da FM para conseguir melhor separação, foi adicionado ácido propiônico (HOPr) à mistura de solventes, na proporção de MeOH/H2O/HOPr 49:49: 2.

Devido à grande absorbância da FM, as análises com esta FM foram feitas a 230 nm.

Após terem sido esgotadas as tentativas de separação para uma dada mistura com determinada FM, outra mistura de solventes para FM foi testada: CH<sub>3</sub>CN/H<sub>2</sub>O, cujas etapas de otimização foram análogas aquelas usando MeOH/H<sub>2</sub>O.

Esgotadas as possibilidades de separação com uma determinada coluna, após tentativas de diversas FMs, uma outra coluna foi testada.

De maneira similar procedeu-se com as diversas colunas empregadas, até que a melhor condição de análise fosse alcançada.

## 4.8. Preparação de Peralogenados não disponíveis.

Alguns peralogenados não disponíveis comercialmente, foram preparados através da fotólise do  ${\rm C_2Br_6}$  em presença de  ${\rm Cl_2}$ , usando  ${\rm CCl_4}$  como solvente.

Foi usado CCl<sub>4</sub> com grau de pureza espectroscópico e purificado da seguinte maneira [1]: a 300 ml de CCl<sub>4</sub>, foram adicionadas gotas de Br<sub>2</sub> líquido, até a solução ficar corada; esta solução foi exposta à luz solar difusa (próxima à janela do laboratório) por cerca de uma hora; foi, então, lavada com aproximadamente 100 mL de Na<sub>2</sub>SO<sub>3</sub> 1 M, por duas vezes, com igual volume e depois três vezes com água destilada (100 mL cada vez), deixando-se secar sobre Na<sub>2</sub>SO<sub>4</sub> anidro e filtrada; foi destilada normalmente, desprezando-se a cabeça e o final da

destilação e recolhendo-se o destilado sobre peneira molecular 5A, para ra armazenar. Foram recuperados cerca de 250 mL.

Como o cloro comercial empregado encontrava-se úmido, foi preciso purificá-lo, antes de ser usado. O esquema da purificação do  ${\rm Cl}_2$ , já com o frasco reacional (ampola) e o sistema de descarte do excesso de  ${\rm Cl}_2$  é mostrado na Figura 4.7 [55].

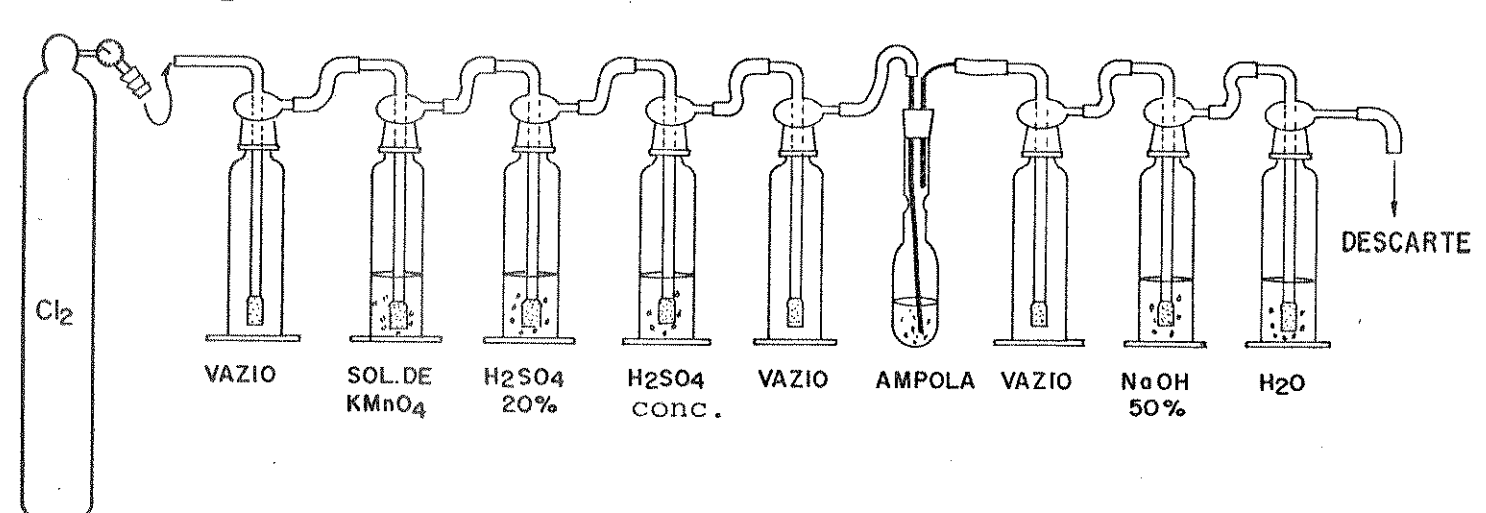


Figura 4.7. - Esquema para a purificação e borbulhamento do Cl<sub>2</sub> na solução reacional (ampola) e sua neutralização para o descarte. As conecções são feitas de tubos de tygon e o tubo para borbulha mento do Cl<sub>2</sub> na ampola, de teflon.

A solução da ampola foi preparada do seguinte modo: cerca de 20 mL de  ${\rm CCl_4}$  purificado foram desgaseificados ao ultra-som por 15 minutos; com 15 mL, foi preparada uma solução a 0,3% de  ${\rm C_2Br_6}$ , também purificado; esta solução foi colocada em ampola previamente lavada com solução de alcolato (KOH + Etanol) e água destilada, através de um funil de haste longa.

A ampola foi levada para o sistema esquematizado na Figura 4.7 e seu conteúdo foi saturado com Argônio, para eliminação de possíveis resíduos de gases. Em seguida, o Cl<sub>2</sub> foi borbulhado por cerca de 10

minutos, até que a solução adquirisse cor amarelo forte. Durante o borbulhamento, a solução foi mantida ao abrigo da luz, para garantir a reprodutibilidade da fotólise.

A ampola foi, então, selada e levada para o sistema de fotólise. Duas variações foram feitas nestes experimentos: a concentração da solução de  $C_2Br_6$  em  $CCl_4$  e a selagem das ampolas. Foi preparada uma solução saturada de  $C_2Br_6$  em  $CCl_4$  (aproximadamente 2%) para se conseguir maior quantidade de produto. Como se suspeitasse que a selagem da ampola, feita por maçarico, ocasionasse decomposição do rea gente, este procedimento foi substituído pela simples vedação da ampola, com rolha adequada.

A lâmpada VMAP empregada possui um espectro de emissão de 248 a 690 nm [54], possuindo refrigeração a água e um filtro de solução de [ $Cu(NH_3)_4$ ] $^2$ +Diferentes ensaios foram feitos, variando-se a distância da fonte e também o tempo de exposição, com a finalidade de se obter maior quantidade de novos peralogenados ( $C_2Br_3Cl_3$  e  $C_2BrCl_5$ ): por 10 min. a 15 cm da fonte; 20 min. a 10 cm e 30 min. a 10 cm. Durante a fotólise, as soluções foram agitadas.

Para a eliminação do excesso de  $\mathrm{Cl}_2$  e do  $\mathrm{Br}_2$  formado durante a fotólise, varios métodos de redução foram testados. O uso de sulfito de sódio ( $\mathrm{Na}_2\mathrm{SO}_3\mathrm{O}$ ,1M) como agente redutor, foi eficiente para a redução do  $\mathrm{Cl}_2$  e do  $\mathrm{Br}_2$ , mas também provocou a redução do  $\mathrm{C}_2\mathrm{Br}_6$  a  $\mathrm{C}_2\mathrm{Br}_4$ , pela eliminação de  $\mathrm{Br}_2$ . Este procedimento foi evitado, pois poderia provocar também a redução de outros compostos  $\mathrm{C}_2$  saturados que fossem produzidos.

Uma redução menos drástica foi testada, utilizando uma seringa como coluna, contendo  ${\rm K_4Fe\,(CN)}_6$ , fazendo a solução da ampola passar através desta. Este procedimento também levou à formação de  ${\rm C_2}$  insa-

turado (produto de eliminação de Br<sub>2</sub>) em menor quantidade, mas não pode ser adotado.

Algumas FEs para cromatografia gasosa também foram usadas com o fim de reter os halogênios por adsorção, passando a solução da ampola através de uma coluna feita com uma pipeta Pasteur e recheada com estas FEs. As FEs óleo de silicone com 10% QF em Chromosorb P, óleo de silicone com 5% OV-101 em Chromosorb W-AW e a 10% Carbowax 400 em Chromosorb W foram testadas sem sucesso. Com a FE polar 30% FFAP sobre Anaprep ABS foi possível reter o Br<sub>2</sub>, mas boa parte do C<sub>2</sub>Br<sub>6</sub> também ficou retida e ainda uma pequena quantidade de C<sub>2</sub>Br<sub>4</sub> foi observada no cromatograma.

O método de eliminação dos halogênios mais eficientes foi o da simples evaporação: a solução da ampola foi colocada em frasco aberto, ao abrigo da luz e deixada dentro da capela por cerca de 48 horas. Após este período, eliminaram-se os halogênios e obtiveram-se os produtos secos, pois o solvente CCl<sub>4</sub> também foi eliminado. Os produtos sólidos foram então dissolvidos em metanol e analisados.

Para a confirmação das fórmulas moleculares dos produtos de fot $\underline{\phi}$  lise, estes foram dissolvidos em acetona e analisados por Cromatografia Gasosa com detector seletivo de massas.

#### 4.9. Separação dos Produtos de Fotólise.

Como será visto no Capítulo 5, as composições de FM para resolver os diferentes compostos ou grupos de compostos C<sub>1</sub>, C<sub>2</sub> insaturados e C<sub>2</sub> saturados, são diferentes, variando as proporções de acordo com a coluna.

Como não houvessem disponíveis duas bombas para se fazer um gra-

diente de eluição e, assim, analisar todos os produtos com uma única injeção, para a separação dos produtos de fotólise, foi necessário en contrar uma composição de FM que, ao menos, indicasse a presença dos diferentes compostos ou grupo de compostos possivelmente formados.

As primeiras análises foram feitas com a coluna 1, sendo a FM  $MeOH/H_2O$  50%. Com a coluna 5, foi usada a FM  $MeOH/H_2O$  63:37, sistema que se mostrou mais adequado que os anteriores.

#### CAPÍTULO 5

#### Resultados e Discussões

Para uma melhor organização dos resultados obtidos e para facilitar sua discussão, o trabalho foi dividido em quatro partes: 1) preparação e avaliação de colunas cromatográficas para a separação e análise de compostos peralogenados; 2) otimização das condições de análise para a separação de misturas de peralogenados; 3) análise de amostras produzidas por radiólise de soluções diluídas de CBr4 em CCl4 e 4) síntese de alguns peralogenados não disponíveis através de fotólise de soluções de C2Br6 em CCl4, em presença de Cl2.

# 5.1. Preparação e Avaliação de Colunas Cromatográficas para CLAE.

A CLAE tem sido usada na separação de compostos peralogenados em trabalhos recentemente realizados no grupo de Cromatografia/Radioquímica do Instituto de Química - UNICAMP [3,4,53], nos quais o uso de fase reversa como fase estacionária (FE), de fase móvel (FM) polar e de detecção por absorbância no UV mostraram-se adequadas.

Várias colunas (especificadas na seção 4.3), recheadas com fa se reversa quimicamente ligada ao suporte de sílica, de diversos tipos, foram testadas.

O composto escolhido para o teste de avaliação das colunas de 1 a 4 foi o naftaleno. Nos testes da coluna 5, o composto teste usado pelo fabricante foi o tolueno, mas também foram feitos testes usan do naftaleno. O ideal seria que se usasse um composto teste de mesmas características da amostra, ou até a própria amostra. Porém, é bas-

tante comum o uso de compostos ou mistura de compostos, diferentes da amostra, para este tipo de avaliação, mesmo porque, numa mesma análise, pode-se trabalhar com compostos de características bem distintas e polaridades muito diferentes. O naftaleno tem sido usado para este fim [4,53] por apresentar propriedades físico-químicas e ter modinâmicas adequadas como massa molecular elevada, estabilidade química e grande solubilidade na maioria das FMs.

É comum também se usar, na avaliação de colunas, misturas contendo compostos de diferentes polaridades como: acetona, benzonitrila, benzeno, tolueno e naftaleno ou acetofenona, nitrobenzeno e tolueno. Exitem misturas já prontas, comercialmente disponíveis. A maioria dos fabricantes de colunas utilizam misturas deste tipo para avaliação de suas colunas, dando o valor da eficiência em função de determinado componente da mistura.

Para o cálculo de n (eficiência dada em nº de pratos teóricos) e de outros parâmetros, as medidas dos picos foram feitas manualmente e para que fossem confiáveis, todos os cromatogramas foram feitos em triplicata (3 injeções) e calculada a média. Também aumentar a velocidade do papel, de forma que a largura do pico a meia altura ( $w_h$ ) tenha pelo menos 1 cm, é um recurso que ajuda a minimizar os erros nas medidas manuais.

Na avaliação de colunas, todas as condições de análise devem ser especificadas e mantidas, para efeito de comparações, para que sejam válidas. Modificações da composição da FM, da vazão da FM, do compostos teste e do sistema cromatográfico causam variações dos valores de n.

A Tab. 5.1 apresenta o resultado da avaliação da coluna 5 comos valores da n, n/m (eficiência por metro de coluna), h (altura

equivalente a um prato teórico) e As (assimetria) para dois compostos diferentes e em diferentes sistemas cromatográficos.

TABELA 5.1 - Resultado da Avaliação da Coluna 5. Condições de Análise: FM MeOH/H<sub>2</sub>O 65:35; vazão FM:0,7 mL/min

Sistema Cromatográfico	Waters/Mi (detecção	***	Altex/Schoeffel (detecção: 220 nm)		
Composto teste	Tolueno	Naftaleno	Tolueno	Naftalenc	
n	19.017	19.193	14.067	16.393	
n/m	76.068	76.772	56.267	65.572	
h (μm)	13,2	13,0	17,8	15,3	
As	0,89	0,97	0,74	0,97	

Na Tab. 5.2 podem ser encontradas as avaliações de alguns parâmetros de avaliação para a coluna 5, onde apenas a composição da FM foi modificada.

A variação dos parâmetros de avaliação da coluna 5 com a modificação da vazão da FM pode ser vista na Tab. 5.3.

TABELA 5.2. - Resultado da Avaliação da Coluna 5. Condições de Análise: Sistema Cromatográfico: Altex/Schoeffel; Composto teste: naftaleno; Vazão da FM: 1,0 mL/min

FM MeOH/H <sub>2</sub> O	65:35	70:30
n	16.440	13.350
n/m	65.760	53.400
h (μm)	15,2	18,7
As	0,85	0,93

TABELA 5.3. Resultado da Avaliação da Coluna 5. Condições de Analise:

Sistema Cromatográfico: Waters/Millipore; FM:MeOH/H2O

65:35; composto teste: naftaleno; detecção: 254 nm.

vazão (mL/min)	0,1	0,5	0,7	i
ń	11.750	16.730	18.460	
n/m	47.000	66.915	73.850	
h (µm)	21,3	14,9	13,5	
As	1,2	1,0	0,86	

Como pode ser visto, os valores de eficiência dependem de todas as condições de análise, que foram padronizadas em: FM MeOH/H<sub>2</sub>O 70:30, vazão da FM 1 mL/min e naftaleno como composto teste, para as avaliações de colunas realizadas.

A Tab. 5.4 mostra o resultado dos testes de eficiência e assimetria das colunas avaliadas. Pode-se notar a grande perda de eficiência destas colunas, do 1º para o 2º teste. Isto é conseqüência de fatores como uso, tempo de armazenamento ou até armazenamento inade quado. Colunas guardadas por longos períodos de tempo podem apresentar perda de eficiência, mas isto pode ser minimizado guardando-as umidecidas com solvente. O próprio uso da coluna acarreta, com o tem po, em perda de eficiência. Mas, sem dúvida, o principal fator na obtenção de colunas com boa eficiência é a uniformidade do enchimento. Vazamentos ou interrupções durante o enchimento podem levar a sérios prejuízos da eficiência da coluna.

TABELA 5.4 - Resultado da Avaliação de Colunas. Condições de análise: FM:MeOH/H2O 70:30; Vazão da FM: 1,0 mL/min

Coluna nº	n (1º teste)	n (2º teste)	n/m (1º teste)	n/m (2º teste)	As (2º teste)
1	2.728	1.774	22.000	14.307	1,10
2	4.528	2.616	18.112	10.464	1,20
3	6.160 <sup>a</sup>	4.292	61.600 <sup>a</sup>	42.920	1,04
4	Gook	3.861	4000A	30.890	1,59
5 b	19.380 <sup>C</sup>	11.387	77.520 <sup>C</sup>	45.548	0,75

n = eficiência dada em nº de pratos teóricos

n/m = nº de pratos teóricos por metro de coluna

- O  $1^{\circ}$  teste foi feito logo após o enchimento e o  $2^{\circ}$ , após diferentes períodos de armazenamento
- a Teste feito pela autora da Ref. [53]
- <u>b</u> O composto usado para avaliação desta coluna foi o tolueno. Para as demais colunas (1 a 4) o composto teste foi o naftaleno.
- c Teste feito pelo fabricante

A coluna 1 foi preparada e, após 4 meses de uso e 1 mês de ar mazenamento a seco, apresentou perda de eficiência, o que não impediu que continuasse a ser utilizada, pois ainda se apresentava dentro dos limites aceitáveis de n/m (Tab. 2.4).

A coluna 2 foi preparada e em seguida armazenada a seco, por 2 meses, o que comprometeu muito sua eficiência, ficando abaixo do limite médio aceitável para sua categoria. Ela foi então refeita, porém, o resultado obtido no seu enchimento foi ainda pior (4.643 pratos/m contra 10.464 pratos/m anteriormente) porque houve vazamen

to, durante o enchimento. O cromatograma obtido no teste desta coluna, cujo pico aparece com muita cauda (grande assimetria) é mostrado na Fig. 5.1.

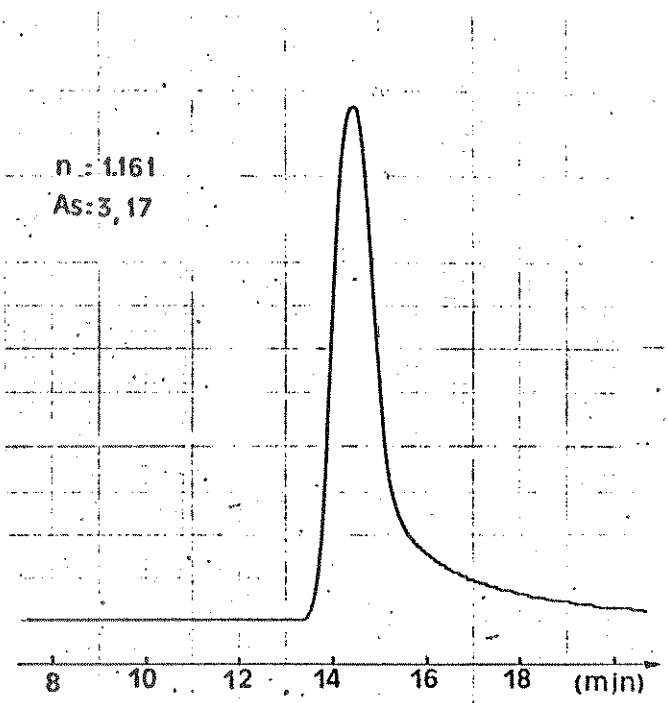


Figura 5.1. - Avaliação da Coluna 2, cuja eficiência foi prejudicada devido a vazamentos durante o enchimento. A assimetria é acentuada. Soluto: naftaleno; FM: MeOH/H<sub>2</sub>O 70:30; vazão da FM: 0,5 mL/min; vol. inj.:10 µL; detecção: 220 nm; Sistema Cromatografico: Altex/Schoeffel.

A coluna 3, apesar de ter sido bastante usada e armazenada por dois anos, ainda apresentou eficiência muito boa e assimetria (As) bem reduzida.

A coluna 4, que havia sido armazenada, apresentou eficiência abaixo do limite aceitável e assimetria > 1,2 e foi, por isso, descartada.

Quando a coluna 5 foi adquirida, sua eficiência era muito su perior à média e mesmo após 8 anos, entre uso e estocagem, sua eficiência ainda continua muito boa (Fig. 5.2)

Nos trabalhos de separação das misturas de peralogenados, foram usadas, portanto, somente as colunas 1, 3 e 5, cujos valores de n e As estavam dentro dos limites aceitáveis.

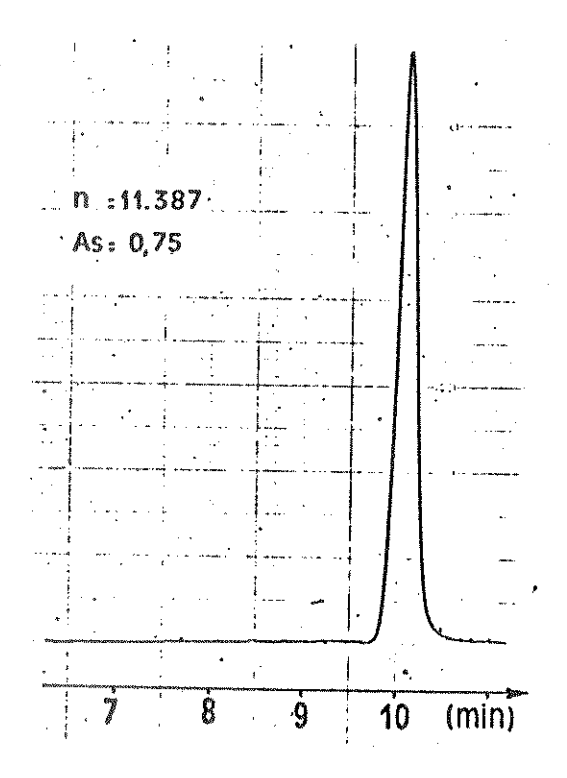


Figura 5.2. - Avaliação da Coluna 5, cuja eficiência manteve-se elevada, ape sar do longo período armazenada e do uso. O pico do tolueno é fino e com pouca assimetria. FM: M=OH/H<sub>2</sub>O 70:30; vazão da FM: 1,0 mL/min; vol. inj.: 10 μL; detecção: 220 nm; Sistema Cromatográfico: Altex/Schoeffel.

## 5.2. - Otimização das Condições de Análise para a Separação de Compostos Peralogenados.

O metanol P.A. Merck foi usado como um dos solventes para a FM, sem nenhum tratamento prévio. Embora muitos profissionais da área só aceitem reagentes Lichrosolv em sistemas de CLAE, o metanol P.A. Merck foi usado sem grandes problemas de absorbância no UV no comprimento de onda ( $\lambda$ ) empregado (Fig. 4.1), e além de já estar disponível no laboratório, seu custo é menor. O custo é um fator importante na escolha dos solventes e, sempre que possível, deve-se procurar usar os solventes mais baratos, desde que não comprometam a análise.

Para a detecção dos compostos peralogenados, o  $\lambda$  escolhido corresponde ao máximo de absorção dos mesmos no UV (220 nm), no qual a FM ainda não absorve significativamente. O espectro de alguns destes compostos pode ser visto na Fig. 5.3.

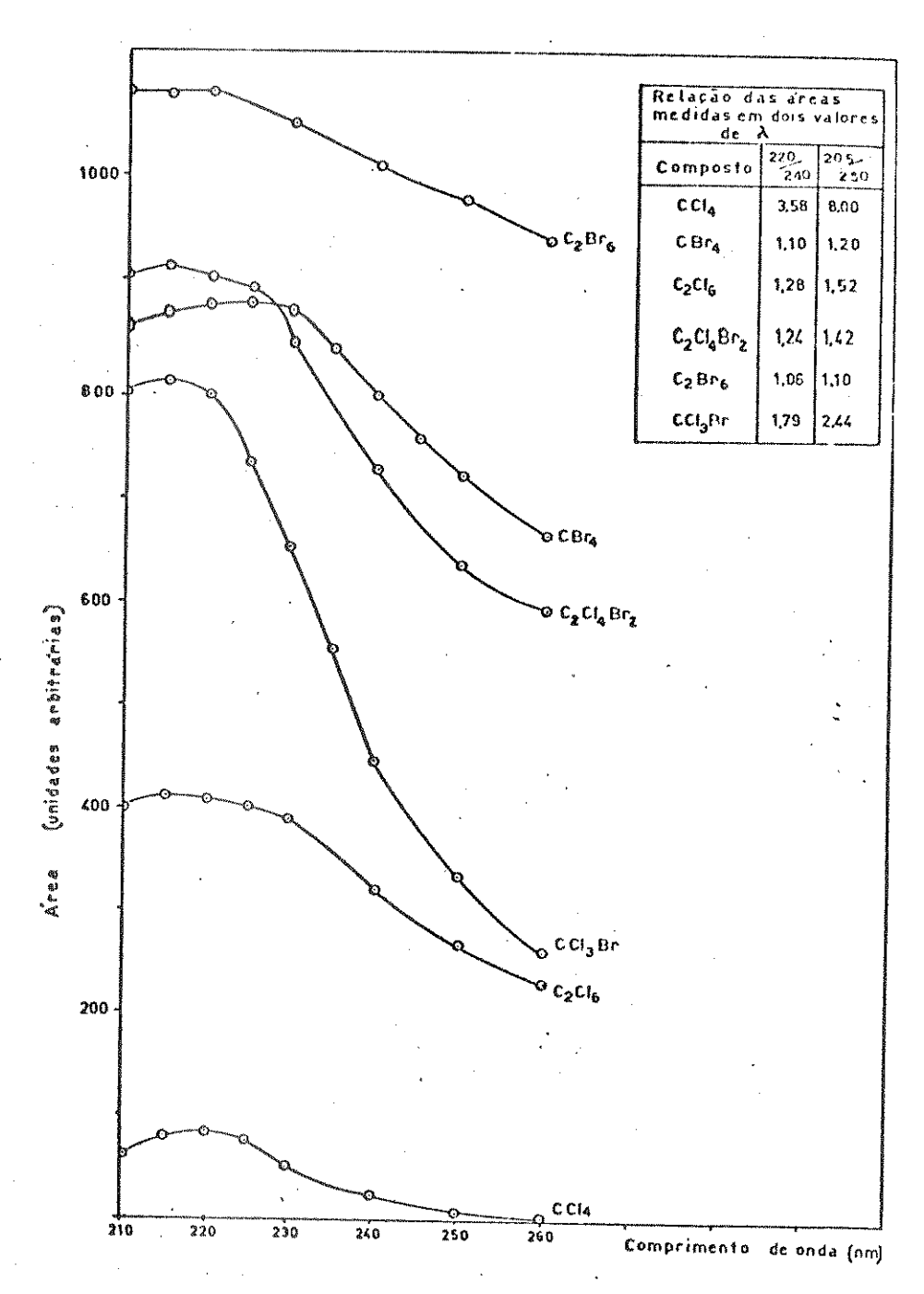


Figura 5.3. - Resposta relativa do detector por absorbância no UV para alguns compostos peralogenados [4]. Coluna: 250 x 10 mm, com Vydac RP 18 (10 µm); FM: MeOH/H2O 70:30; concentração de cada composto em metanol: 0,1 mg/mL; Sistema Cromatográfico: Altex/Schoeffel.

Para a otimização da vazão da FM, foram realizados testes em diferentes vazões, obtendo-se uma curva de h x F, onde F = vazão em mL/min [53]. Os resultados encontram-se na Tab. 5.5 e Fig. 5.4.

TABELA 5.5. - Relação entre Vazão da FM, F e h. Condições de Análise:

FM:MeOH/H20 90:10; composto teste :naftaleno; Sistema

Cromatográfico: Altex/Schoeffel; detecção: 220 nm;

Coluna 1

\$7700facesAttrack(ff); error, bright security and securit			The state of the s		<del>, agaigages as as</del>	
F (mL/min)	1,0	0,8	0,6	0 , 4	0,2	0,1
h (µm)	59,4	58,9	55,3	43,7	53,0	52,7

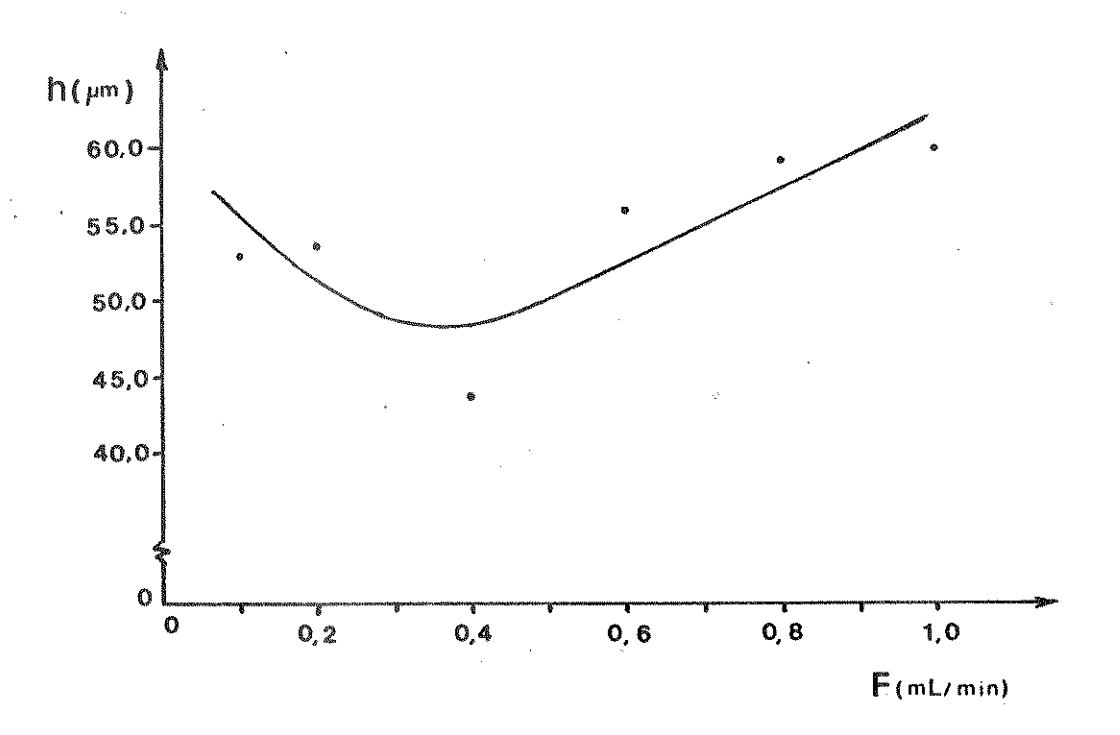


Figura 5.4. - Curva de h x F para a Coluna 1. Soluto: naftaleno; FM: MeOH/H<sub>2</sub>O 90:10; detecção: 220 nm; Sistema Cromatográfico: Altex/Schoeffel.

Os valores obtidos de h não variavam muito de vazão para vazão e, por isso, apesar de a F ótima estar em torno de 0,4 mL/min (mínimo da curva da equação de Van Deemter), foi preferível usar vazões maiores para se ter análises mais rápidas, uma vez que a eficiência da separação não seria reduzida significativamente.

Esta mesma idéia foi aplicada às outras composições de FM, para que se pudesse ter análises um pouco mais rápidas. Isto é muito importante no caso de FMs mais viscosas (por exemplo com maior porcentagem de água) que levam a análises muito demoradas.

O trabalho de otimização da separação de compostos peralogenados foi iniciado, procurando reproduzir a melhor separação conseguida até o momento (Fig. 2.12, pag. 36, [4]), empregando a coluna nº 1, no sistema cromatográfico Altex/Schoeffel\* e a FM MeOH/H2O 70:30.

O cromatograma obtido nesta primeira tentativa é mostrado na Fig. 5.5., onde pode-se notar a resolução praticamente nula dos compostos C1, se comparado com a Fig. 2.12. Já a separação dos C2 saturados não foi tão ruim, considerando-se que no cromatograma da Fig. 2.12. os C2 insaturados não estavam presentes. Não houve separação dos com postos C2 insaturados, que eluiram intercalando-se entre os C2 satura dos. Com basenisto, tornou-se claro que diferentes condições de análi se seriam requeridas para as separações dos diferentes compostos, que apresentavam interações bem distintas com a FE e a FM.

Para agilizar a otimização da separação, os compostos foram divididos em três blocos: os C<sub>1</sub>, os C<sub>2</sub> insaturados e os C<sub>2</sub> saturados. Para cada um dos blocos, a composição da FM foi variada, até que se conseguisse a melhor separação possível.

<sup>\*</sup> Todas as análises dos compostos peralogenados foram feitas no sistema cromatográfico Altex/Shoeffel

A Tab. 5.6 resume os resultados conseguidos de melhor composição de FM para a separação de cada bloco de compostos separados na coluna 1.

A Fig. 5.6 mostra o cromatograma de uma mistura de compostos  $C_1$ . É importante notar a inversão nos  $t_R$ s que ocorrepara estes compostos quando aumenta-se a polaridade da FM (de 70:30 para 22:78), comparando-se com a Fig. 5.5.

TABELA 5.6. - Melhor composição de FM para os diferentes com postos separados na coluna 1.

compostos separados	composição de FM
CCl <sub>4</sub> , CBrCl <sub>3</sub> , CBr <sub>2</sub> Cl <sub>2</sub> e CBr <sub>4</sub>	MeOH/H <sub>2</sub> O 22:78
$C_2C1_4 e C_2Br_4$	MeOH/H <sub>2</sub> O 35:65
C <sub>2</sub> Br <sub>6</sub> , C <sub>2</sub> Br <sub>2</sub> Cl <sub>4</sub> e C <sub>2</sub> Cl <sub>6</sub>	MeOH/H <sub>2</sub> O 70:30

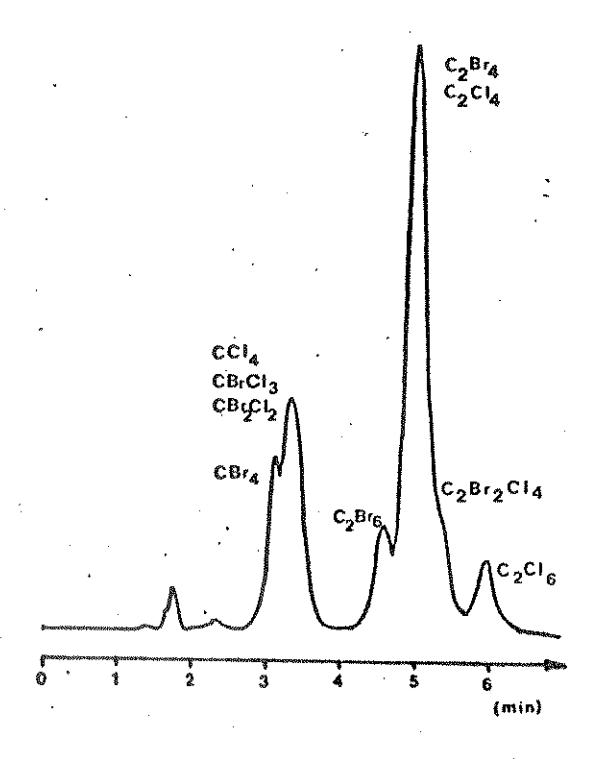


Figura 5.5. - Cromatograma obtido com a coluna 1 na separação dos peralogenados  $\mathrm{CBr_4}$ ,  $\mathrm{CBr_2Cl_2}$ ,  $\mathrm{CBrCl_3}$ ,  $\mathrm{CCl_4}$ ,  $\mathrm{C_2Cl_4}$ ,  $\mathrm{C_2Br_4}$ ,  $\mathrm{C_2Br_6}$ ,  $\mathrm{C_2Br_2Cl_4}$  e  $\mathrm{C_2Cl_6}$  (solução em MeOH). FM: MeOH/H<sub>2</sub>O 70:30; vazão da FM: 0,4 mL/min; vol. inj.: 10 µL; detecção: 220 nm

Aumentando-se ainda mais a quantidade de água na FM, aumenta-se a separação dos picos, mas a sensibilidade é prejudicada. Isto ocorre devido à diminuição da solubilidade destes compostos na FM, além do efeito de alargamento da banda devido ao aumento no tempo de retenção.

Tendo em vista os objetivos do trabalho de analisar o maior número possível de peralogenados de fórmula molecular  $C_x Br_y Cl_z$  (x = 1 ou 2; y + z = 4 ou 6), a otimização da separação de cada grupo de compostos foi feita de maneira a possibilitar a separação inclusive de compostos ainda não disponíves. Esta previsão de separação foi feita através do número de separação (número de Trennzahl)) Tz, uma vez que a resolução, Rs, relaciona-se diretamente com Tz, pois Tz = (Rs/1,177) - 1(Eqs IX e XI da Sec. 2.2,pags 19 e 22).

Como pode ser observada na Fig. 5.6, a separação entre os compostos  $CBr_2^{C1}_2$  e  $CBr_4$  é tal, que permitiria a colocação de mais um composto entre eles, pois Tz = 1,37. Este composto poderia ser o  $CBr_3Cl$ , do qual ainda não se dispõe, mas que foi encontrado em grande quantitidade como produto de radiólise do  $CBr_4$  em  $CCl_4$  [1].

Nesta análise, assim como nas análises dos grupos de compostos subsequentes foi estabelecido um compromisso entre encontrar uma composição de FM tal que, além de separar suficientemente os componentes da mistura (Rs ≥ 1,25), ainda permitisse obter um Tz adequado, já prevendo a resolução de compostos ainda não disponíveis como padrões e manter a sensibilidade de detecção razoavelmente boa, devido ao aumento da quantidade de água na FM.

O problema de concentração poderia ser resolvido injetando-se um volume maior de amostra , que poderia ser feito trocando-se o amostrador por outro de maior volume (  $100~\mu\text{L}_{\star}$  por exemplo). Esta

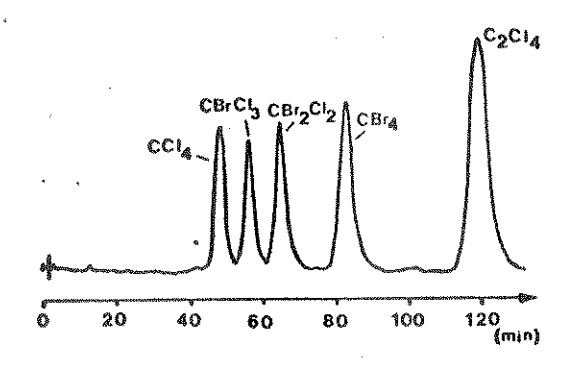
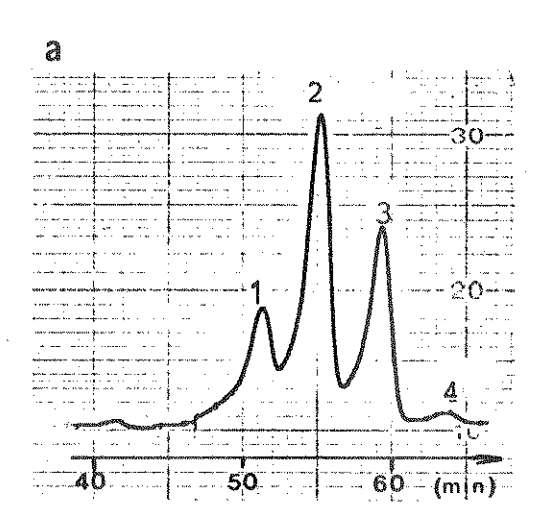


Figura 5.6. - Cromatograma obtido com a coluna 1 separação dos peralogenados na separação dos peralogenados  $C_1$  (CBr $_4$ , CBr $_2$ Cl $_2$ , CBrCl $_3$  e CCl $_4$ ). FM: MeOH/H<sub>2</sub>O 22:78; vazão da FM: 1,0 mL/min; vol. inj.: 10  $\mu$ L/; detecção: 220 nm.



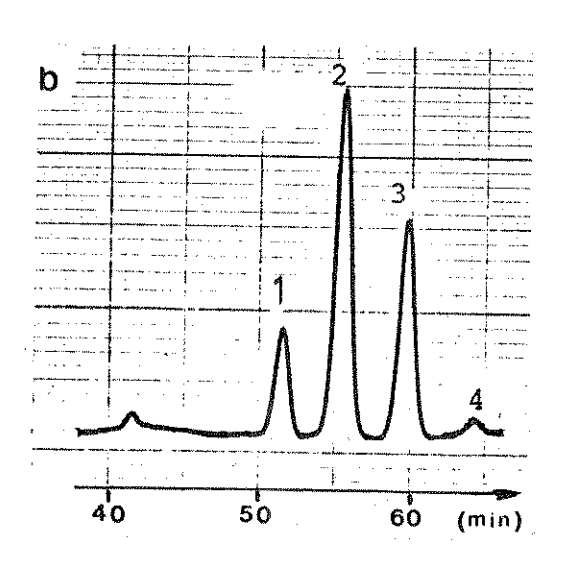


Figura 5.7. - Efeito da dispersão devido ao volume do amostrador. Cromatogramas obtidos com a coluna 5. Soluto: peralogenados, FM: MeOH/H O 63:37; vazão da FM: 0,9 mL/min; detecção: 220 nm, volume injetado:  $a^2$  = 100  $\mu$ L;  $b = 20 \mu L$ 

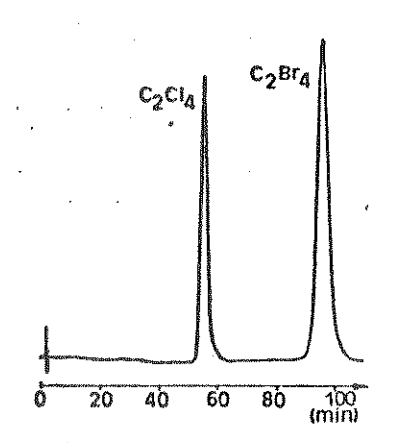


Figura 5.8. -Cromatograma obtido com a coluna 1 na separação de  $C_2Br_4/C_2Cl_4$ . FM: MeOH/H\_O 35:65; vazāo da FM: 1,0 mL/ min; vol. inj.: 10 μL; detecção: 220 nm.

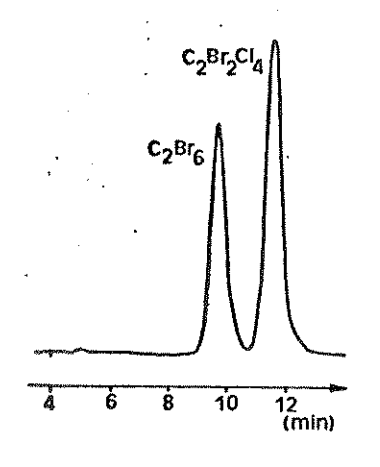
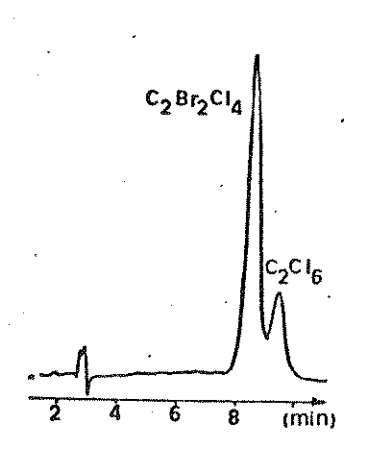


Figura 5.9. -Cromatograma Figura 5.10. - Cromatograma obtido com a coluna 1 na separação de  $C_2Br_6$ ,  $C_2Br_2Cl_4$ FM: MeOH/H\_O 70:30; vazāo da FM: 0,5 mL/ min.; vol. inj.: 10 µL; detecção: 220 nm.



obtido com a coluna 1 na separação de C<sub>2</sub>Br<sub>2</sub>Cl<sub>4</sub>/  $C_2Cl_6$ . FM: MeOH/H<sub>2</sub>O 70:30; vazão da FM: 0,5 mL/min; vol. inj.: 10 µL; detec ção: 220 nm

medida, no entanto, poderia originar outros problemas: a saturação da coluna, que acarreta em perda de eficiência e o alargamento da banda, com perda de resolução. Isto é bem ilustrado na Fig. 5.7.

A resolução do  $2^\circ$  grupo foi otimizada da mesma maneira (resolução versus sensibilidade de detecção) e, para a melhor composição de FM (MeOH/H<sub>2</sub>0 35:65), foi encontrado Tz = 4,70 (Fig. 5.8).

Considerando a possibilidade de separação de compostos com fórmula molecular intermediária aos compostos C<sub>2</sub>Cl<sub>4</sub>/C<sub>2</sub>Br<sub>4</sub>, a separação obtida foi suficiente para separar os três compostos possíveis (C<sub>2</sub>BrCl<sub>3</sub>, C<sub>2</sub>Br<sub>2</sub>Cl<sub>2</sub> e C<sub>2</sub>Br<sub>3</sub>Cl), não disponíveis, pois Tz > 3.

O 3º grupo de compostos foi dividido em dois subgrupos para otimização de sua separação:  $C_2Br_6/C_2Br_2Cl_4$  e  $C_2Br_2Cl_4/C_2Cl_6$ . Na separação dos dois primeiros compostos, mesmo com a FM otimizada MeOH/ $H_2O$  70:30, o Tz conseguido foi de 0,64. Os compostos com  $t_R$  intermediários aos dois compostos seriam:  $C_2Br_5Cl$ ,  $C_2Br_4Cl_2$  e  $C_2Br_3Cl_3$ . Para conseguir a separação de todos eles, seria preciso Tz > 3, o que não foi possível com esta coluna e FM (Fig. 5.9).

Para a separação do 2º subgrupo (C<sub>2</sub>Br<sub>2</sub>Cl<sub>4</sub>/C<sub>2</sub>Cl<sub>6</sub>), seria preciso obter um Tz > 1, o que também não foi possível obter neste sistema cromatográfico. A resolução destes compostos não foi boa (Rs = 1,06), não permitindo a resolução do composto intermediário C<sub>2</sub>BrCl<sub>5</sub> (Fig. 5.10), se estivesse presente.

Na tentativa de melhorar estas separações através da modificação da força da FM, foi adicionado a ela ácido propiônico (ou propanóico) a 2%. Os resultados obtidos não foram melhores que os jã conseguidos e, além disso, houve perda de sensibilidade, pois a adição do ácido aumentou a absorbância pela FM (Fig. 5.11), sendo, por isso, necessário usar  $\lambda$  maior na detecção ( $\lambda$  = 230 nm), onde a

absorbância dos compostos já é bem menor (Fig. 5.3).

O próximo passo na tentativa de melhorar a separação, ainda com a mesma coluna, foi o uso de outra FM. Foi escolhida a acetonitrila, já empregada por outros autores [3,4,53], que foi misturada à água , da mesma maneira que o metanol. Para que não houvesse problema de absorbância pela FM, foi empregada acetonitrila Lichrosolv Merck (Fig. 4.3). No entanto, os resultados conseguidos não foram mais satisfatórios que os já obtidos com metanol, o que pode ser notado na separação dos compostos  $C_2Br_6/C_2Br_2Cl_4$  na Fig. 5.12 comparada com a Fig. 5.9 ou ainda Fig. 5.13 versus Fig. 5.10.

A acetonitrila, com este grau de pureza, é um reagente muito caro, sendo conveniente que os resultados obtidos com seu uso sejam muito melhores, de modo a compensar os custos. Por estas razões, a mistura MeOH/H<sub>2</sub>O foi mantida, ao longo dos experimentos, como a FM mais adequada para estas análises.

Esgotadas as possibilidades de separação com a coluna 1, outra coluna foi testada. Para se obter melhor resolução, com maior eficiência, a coluna precisaria ter, ou maior comprimento (coluna 2), ou menor diâmetro de partículas (coluna 3). Como a coluna 2 não pode ser usada, foi empregada a coluna 3 que, por ser mais eficiente, trouxe bons resultados.

A quantidade de água na FM necessária para se obter a mesma se paração, avaliada em termos de Tz, foi menor com esta coluna 3, o que significou ganho de sensibilidade, menor gasto de reagentes na preparação das soluções de peralogenados e menores tempos de análise (FM menos viscosa).

UNIGAMP BIBLIOTECA CENTRAL

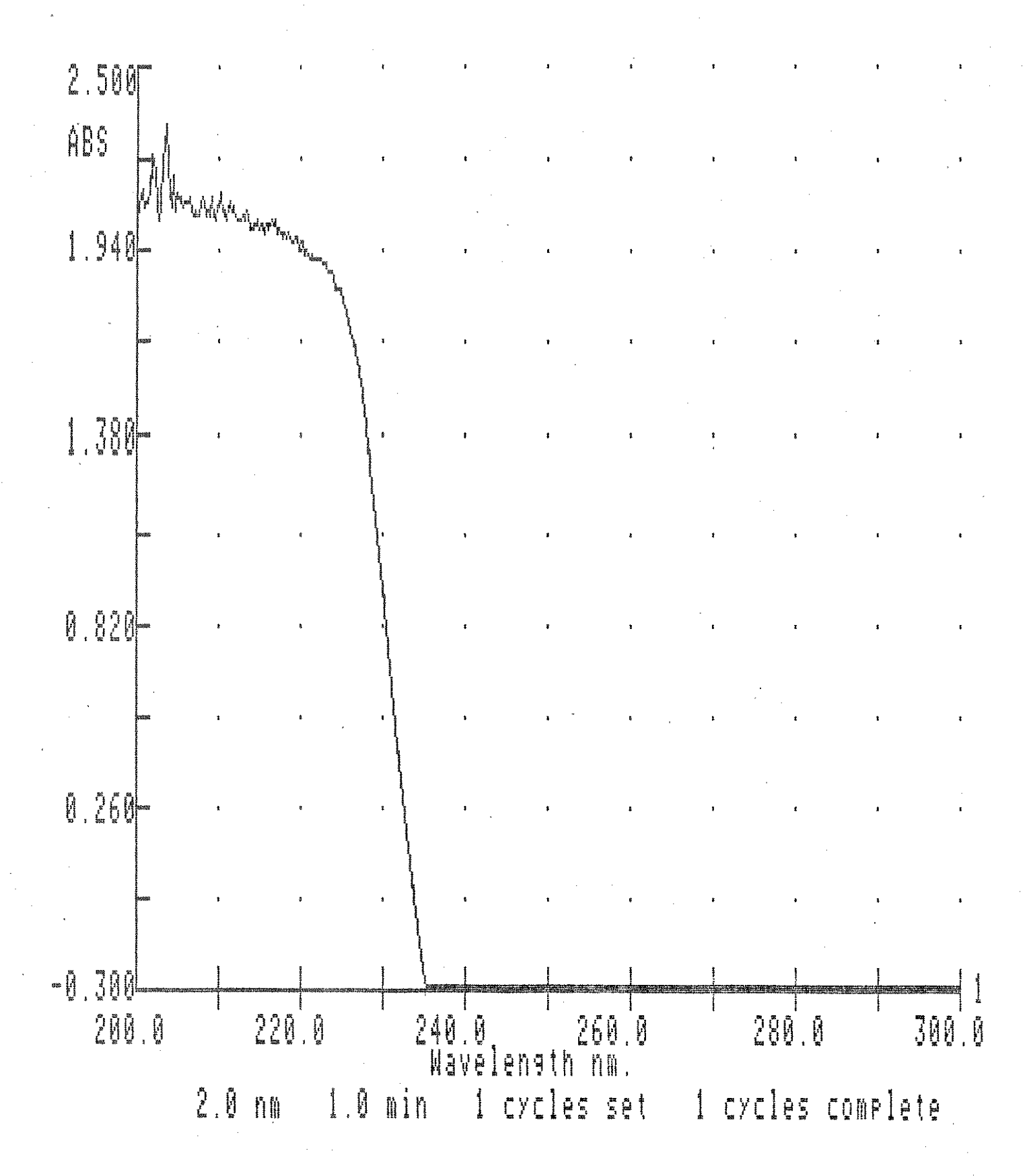


Figura 5.11. - Espectro de absorbância no UV da fase móvel: MeOH/
H2O/HOPr 49:49:2 (metanol Merck)

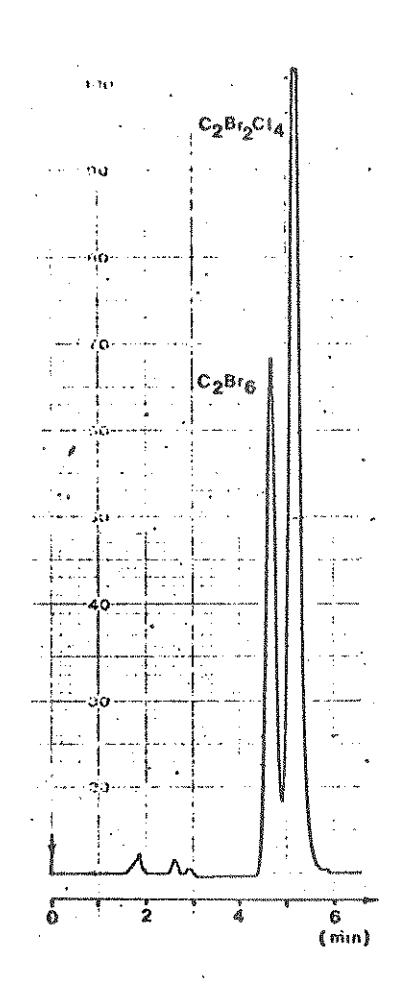


Figura 5.12. - Cromatograma obtido com a coluna 1 na separação de C<sub>2</sub>Br<sub>6</sub>/C<sub>2</sub>Br<sub>2</sub>Cl<sub>4</sub>. FM: CH<sub>3</sub>CN/H<sub>2</sub>O 70:30; vazão da FM: 0,5mL/ min; vol. inj.:10 μL; detecção:220 nm

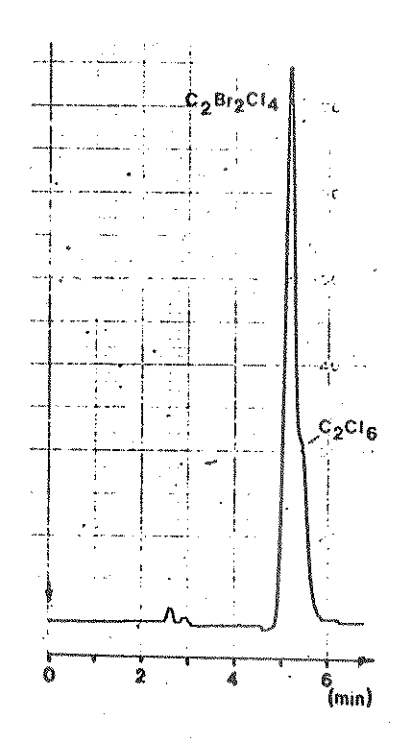


Figura 5.13. - Cromatograma obtido com a coluna 1 na separação de C<sub>2</sub>Br<sub>2</sub>Cl<sub>4</sub>/C<sub>2</sub>Cl<sub>6</sub>. FM: CH<sub>3</sub>CN/H<sub>2</sub>O 70:30; vazão da FM: 0,5 mL/min; vol. inj.: 10 µL; detecção: 220 nm.

A Tab. 5.7 resume os resultados conseguidos na separação dos padrões em termos de  $T_{\rm Z}$  e a melhor composição de FM correspondente.

TABELA 5.7. - Melhor composição de FM para os diferentes compostos separados com acoluna 3 e seus valores de Tz.

Compostos separados	Composição de FM(MeOH/H <sub>2</sub> O)	${ m Tz}$
CCl <sub>4</sub> , CBrCl <sub>3</sub> , CBr <sub>2</sub> Cl <sub>2</sub> e CBr <sub>4</sub>	30:70	1,08ª
$C_2Cl_4 \in C_2Br_4$	40:60	3,39
C <sub>2</sub> Br <sub>6</sub> e C <sub>2</sub> Br <sub>2</sub> Cl <sub>4</sub>	60:40	1,24
C <sub>2</sub> Br <sub>2</sub> Cl <sub>4</sub> e C <sub>2</sub> Cl <sub>6</sub>	70:30	0,30

acalculado para a separação CBr2Cl2/CBr4

Ao serem comparadas as colunas 1 e 3, além dos valores numéricos mais positivos apresentados pela coluna 3, em termos de separação, o tempo gasto na análise foi bastante reduzido. Os cromatogramas obtidos nestas separações são mostrados nas Figs. 5.14 a 5.17.

Apesar destes resultados, a resolução necessária para a separação de todos os possíveis  $C_2$  saturados não foi alcançada. Para se conseguir a separação adequada, uma coluna bem mais eficiente seria necessária e deveria ter maior comprimento ou menor diâmetro de partículas. Como não houvesse partículas menores que 5  $\mu$ m disponíveis no laboratório para o enchimento de uma outra coluna, a coluna 5, que se encontrava pronta, foi testada.

Foi surpreendente constatar que esta coluna, após 8 anos de sua fabricação, ainda estivesse em tão boas condições, com tão alta eficiência.

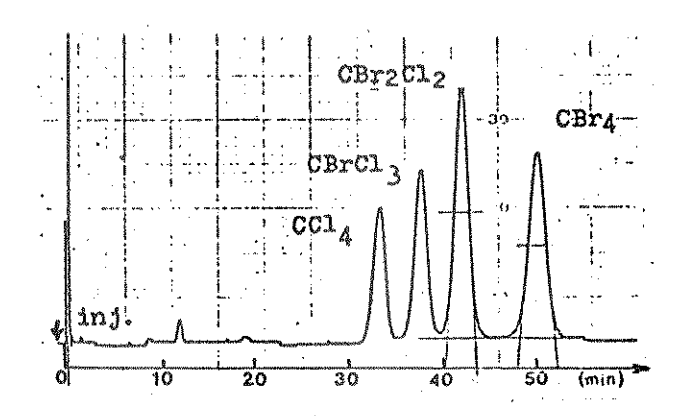


Figura 5.14. — Cromatograma obtido com a coluna 3 na separação da mistura CCl<sub>4</sub>, CBrCl<sub>3</sub>, CBr<sub>2</sub>Cl<sub>2</sub> e CBr<sub>4</sub>. FM:

MeOH/H<sub>2</sub>O 30:70; vazão da

FM: 1,0 mL/min; vol. inj.:

10 µL; detecção: 220 nm

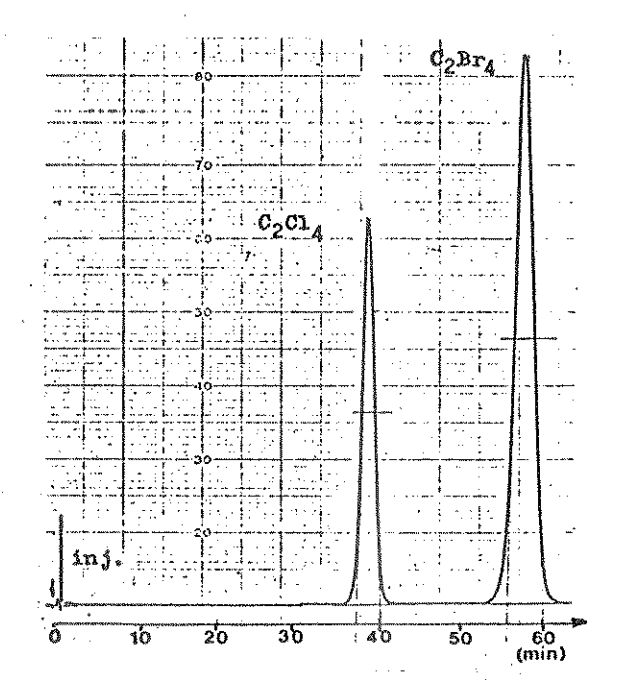


Figura 5.15. - Cromatograma obtido com a coluna 3 na separação da mistura C<sub>2</sub>Cl<sub>4</sub>/C<sub>2</sub>Br<sub>4</sub>.

FM: MeOH/H<sub>2</sub>O 40:60; vazão da FM: 1,0 mL/min; vol. inj.: 10 μL; detecção: 220 nm

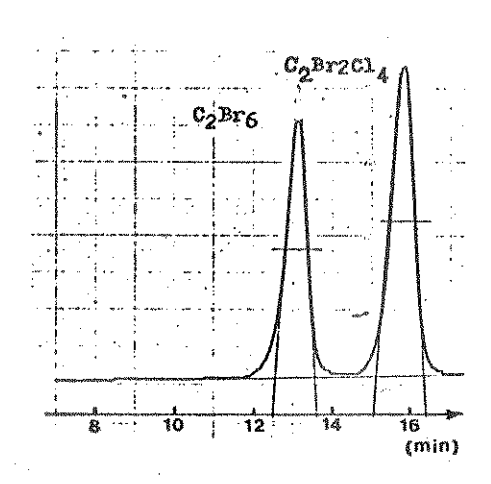


Figura 5.16. - Cromatograma obtido com coluna 3 na separação C<sub>2</sub>Br<sub>6</sub>/C<sub>2</sub>Br<sub>2</sub>Cl<sub>4</sub>. FM: MeOH/H<sub>2</sub>O 60:40; vazão da FM: 1,0 mL/min; vol. inj.: 10 μL; detecção: 220 nm.

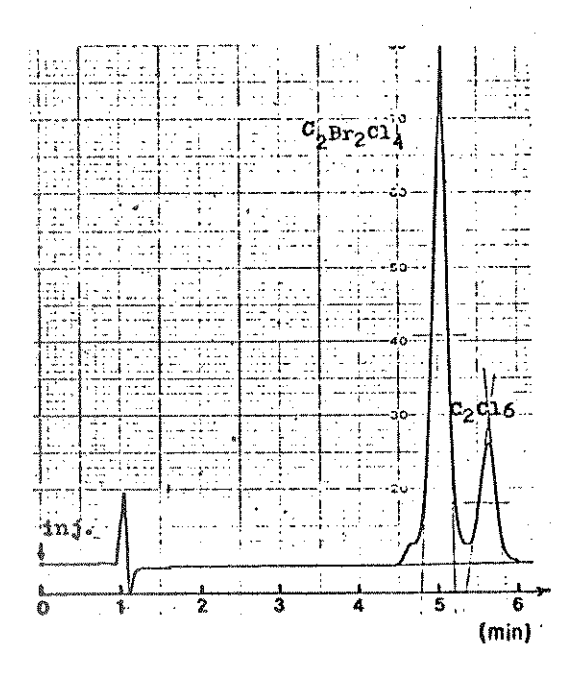


Figura 5.17. - Cromatograma obtido com a coluna 3 na separação  ${\rm C_2Br_2Cl_4/C_2Cl_6}. \ \ {\rm FM:\ MeOH/H_2O}\ \ 70:30; \ \ {\rm vazão\ da\ FM:}$  1,0 mL/min; vol. inj.: 10  $\mu {\rm L}$ ; detecção: 220 nm.

Um teste preliminar foi feito, injetando-se uma mistura contendo os nove compostos peralogenados padrões e eluindo-se com FM MeOH/H<sub>2</sub>O 70:30. Todos os compostos puderam ser separados simultaneamente, inclusive a separação mais difícil, até o momento (C<sub>2</sub>Br<sub>2</sub>Cl<sub>4</sub>/C<sub>2</sub>Cl<sub>6</sub>) foi conseguida e com Tz = 2,39. Porém, com esta composição de FM, os compostos C<sub>2</sub> insaturados eluem intercalando-se com os compostos C<sub>2</sub> saturados, o que não é de nenhum interesse nestas análises (Fig. 5.18).

Aumentando-se ou diminuindo-se a quantidade de MeOH na FM, is to é, alterando-se a força da FM, mais inversões na eluição dos compostos ocorrem, o que mostra a seqüência de cromatogramas das Figs. 5.18 a 5.22. A Tab. 5.8 resume os resultados conseguidos nestas separações.

O primeiro conjunto de compostos (os C1) apresentou melhor se

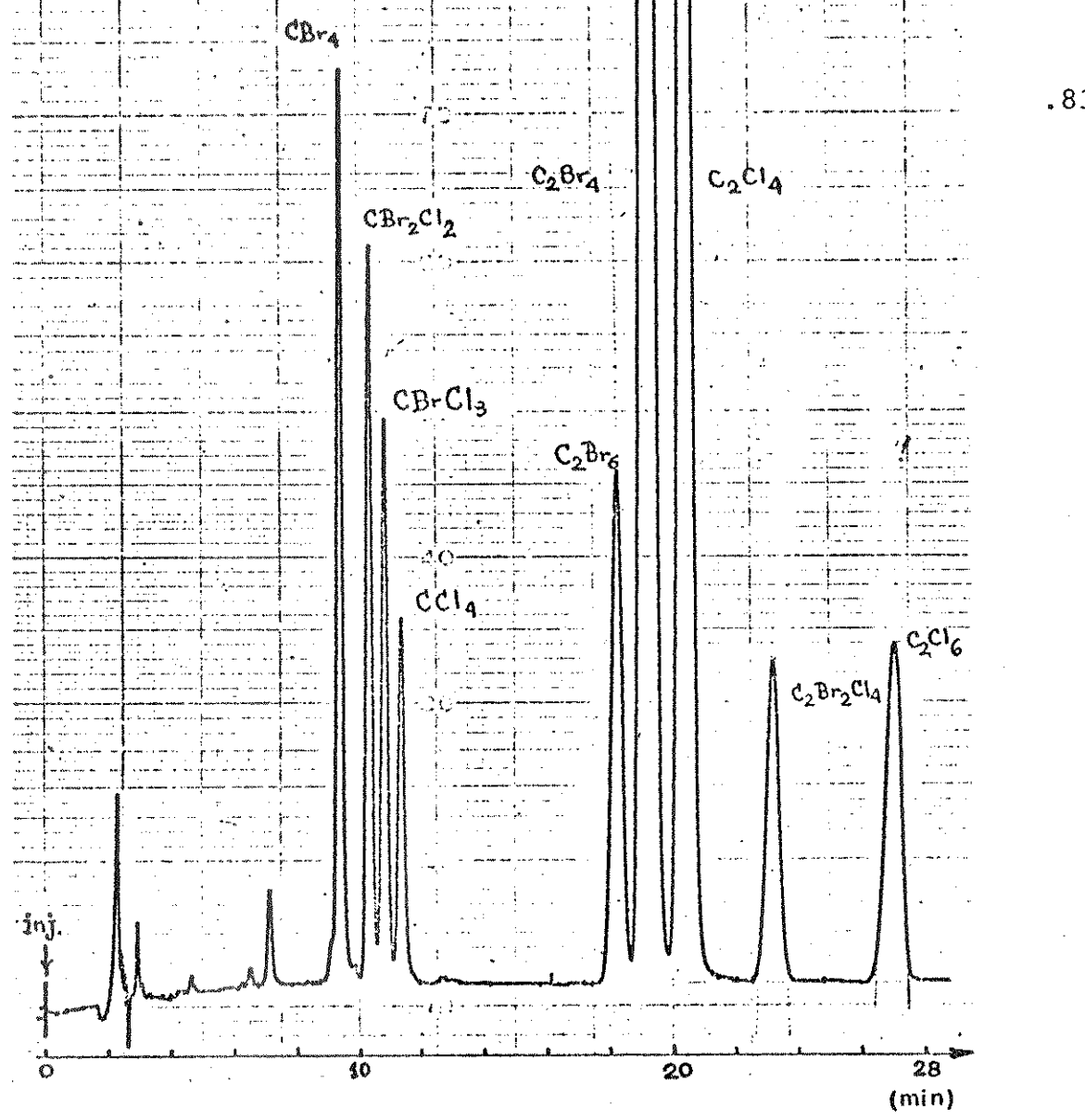


Figura 5.18. - Cromatograma obtido com a coluna 5 na separação da mistura dos peralogenados padrões . FM: MeOH/H2O 70:30; vazão da FM: 1,0 mL/min, vol. inj.: 10 μL, detecção: 220 nm.

paração com FM menos polar (MeOH/H2O 80:20), tendo sua separação pre judicada a medida que se aumentava a quantidade de água na FM, poisa ordem de eluição foi invertida em relação às análises anteriores (co lunas 1 e 2). Se a quantidade de água na FM for ainda mais da, ocorrerá a inversão na eluição destes compostos, como já foi vis to em análises feitas em outras colunas (Figs. 5.6 e 5.14).

Para que ocorra eluição separadamente dos dois grupos, sem so breposição, os C2 insaturados e os C2 saturados, a polaridade da FM deve ser maior, sendo que os  $C_2$  insaturados começam a ter uma resol $\underline{u}$ ção aceitável a partir de MeOH/H2O 60:40.

O 1º subgrupo do 3º conjunto de compostos (C2Br6/C2Br2Cl4)

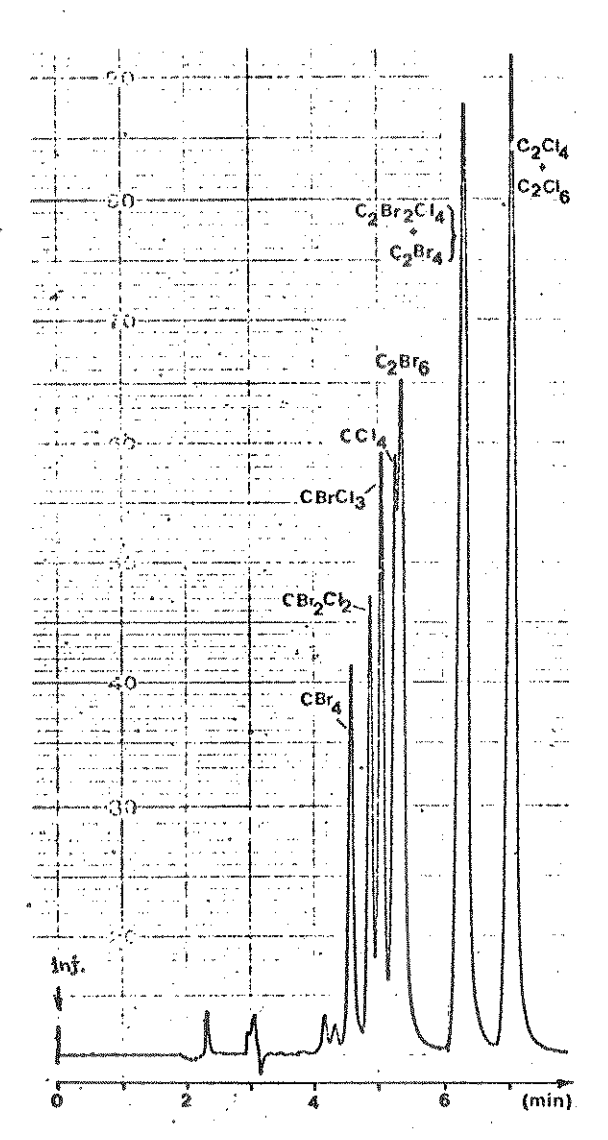


Figura 5.19. - Cromatograma obtido com a coluna 5 na separação da mistura de peraloge-nados padrões. FM: MeOH/H<sub>2</sub>O 90:10; vazão da FM: 0,8 mL/min; vol. inj.: 10 µL; detecção: 220 nm.

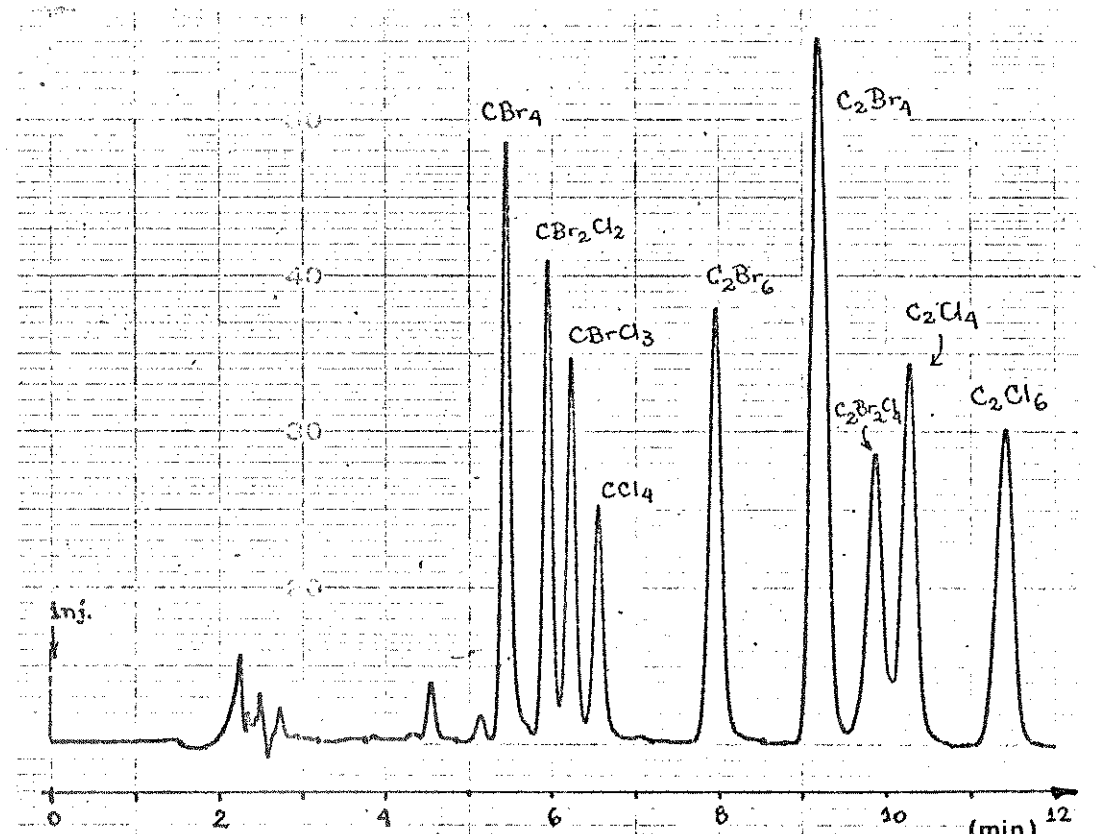


Figura 5.20. - Cromatograma obtido com a coluna 5 na separação da mistura de peralogenados padrões. FM: MeOH/H<sub>2</sub>O 80:20; vazão da FM: 1,0 mL/min; vol. inj.: 10 μΣ; detecção: 220 nm.

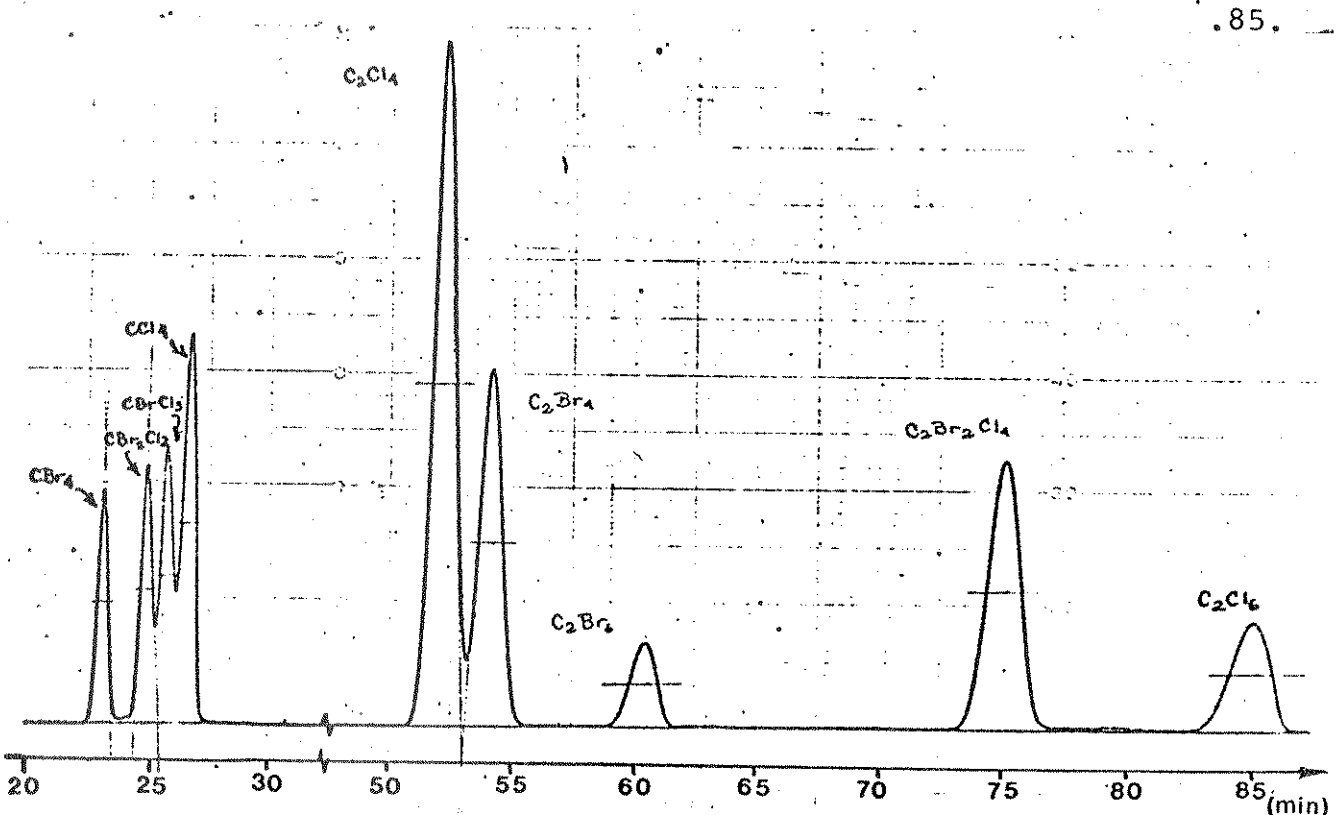


Figura 5.21. - Cromatograma obtido com a coluna 5 na separação da mistura de peralogenados padrões. FM: MeOH/ H<sub>2</sub>O 60:40; vazão da FM: 0,8 mL/min; vol. inj.: 10 μL; detecção: 220 nm.

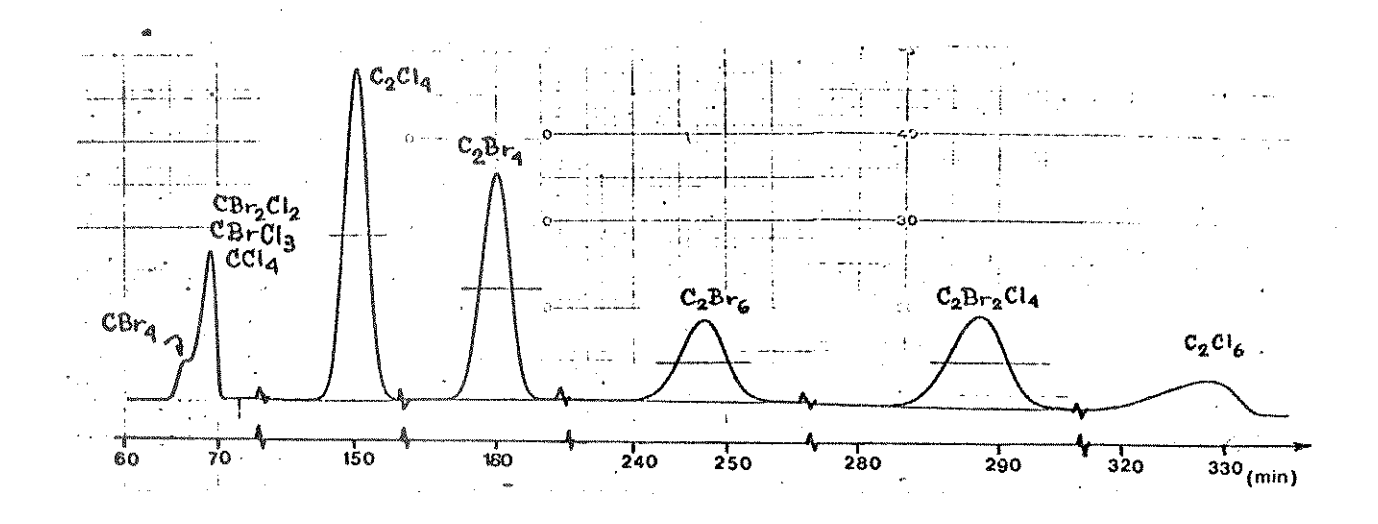


Figura 5.22. - Cromatograma obtido com a coluna 5 na separação da mistura de peralogenados padrões. FM: MeOH/  $H_2$ O 50:50; vazão da FM: 0,7 mL/min; vol. inj.: 10  $\mu$ L, detecção: 220 nm.

também apresentou boa separação (sem sobreposição com os C<sub>2</sub> insatura dos) com FM polar, em torno de 60:40. Já o 2º subgrupo (C<sub>2</sub>Er<sub>2</sub>Cl<sub>4</sub>/C<sub>2</sub>Cl<sub>6</sub>) apresentou separação suficiente em MeOH/H<sub>2</sub>O 70:30.

Face aos resultados obtidos, fica claro que a separação dos 3 conjuntos de compostos, com resolução adequada, usando uma única com posição de FM seria muito difícil, sendo que, para que o 19 grupo fosse resolvido, a FM deveria conter quantidade de MeOH superior a 60%, pois  $T_Z$  entre CBr4 e CBr2Cl2 precisa ser maior que 1. Porém, para que o 3º grupo fosse resolvido, a quantidade de MeOH na FM deveria ser menor que 70%.

Como não se dispusesse de um sistema de gradiente de eluição, a separação dos 3 grupos foi idealizada em duas etapas, resolvendo a separação de dois grupos, com duas diferentes composição de FM. Buscou-se, então, a FM mais adequada para a resolução de dois grupos simultaneamente, considerando-se a sensibilidade de detecção e o tem po de análise.

A Tab. 5.9 expressa as separações conseguidas para os  $C_1$  e  $C_2$  saturados, com composições de FM intermediárias (Figs. 5.23 a 5.25).

Na avaliação da separação dos  $C_1$ , foram usados dois parâmetros:  $T_Z$  e  $R_S$  .  $T_Z$  foi usado para avaliar a possibilidade de separação dos compostos não disponíveis e  $R_S$ , para avaliação da separação dos compostos presentes.

A FM MeOH/H $_2$ O 63:37 apresentou-se como a melhor composição de FM para separar simultaneamente os grupos 1 e 3 de peralogenados, com os valores de  $T_{\rm Z}$  adequados e ainda com boa resolução para os  $C_1$  padrões e foi empregada nas análises posteriores, usando a coluna 5.

TABELA 5.8. - Resultado obtido na separação dos compostos peralogena dos, na coluna 5, com diferentes composições de FM.

Compostos separados	Resoluçõ	Ses (Rs) o	btidas com	FM MeOH/H	20
	50:50	60:40	70:30	80:20	90:10
CBr <sub>4</sub> /CBr <sub>2</sub> Cl <sub>2</sub>	Ophones.	1,90	2,60	2,57	2,06
CBr <sub>2</sub> Cl <sub>2</sub> /CBrCl <sub>3</sub>	28000	0,82	1,37	1,48	1,47
CBrCl <sub>3</sub> /CCl <sub>4</sub>	6ino	0,87	1,44	1,61	three
C <sub>2</sub> Cl <sub>4</sub> /C <sub>2</sub> Br <sub>4</sub>	5,29	1,13	don's	çazin	
C2Br6/C2Br2Cl4	4,81	6,36	6369		#HAMA
C <sub>2</sub> Br <sub>2</sub> Cl <sub>4</sub> /C <sub>2</sub> Cl <sub>6</sub>	490k .	3,90	3,99	gord	Senas.

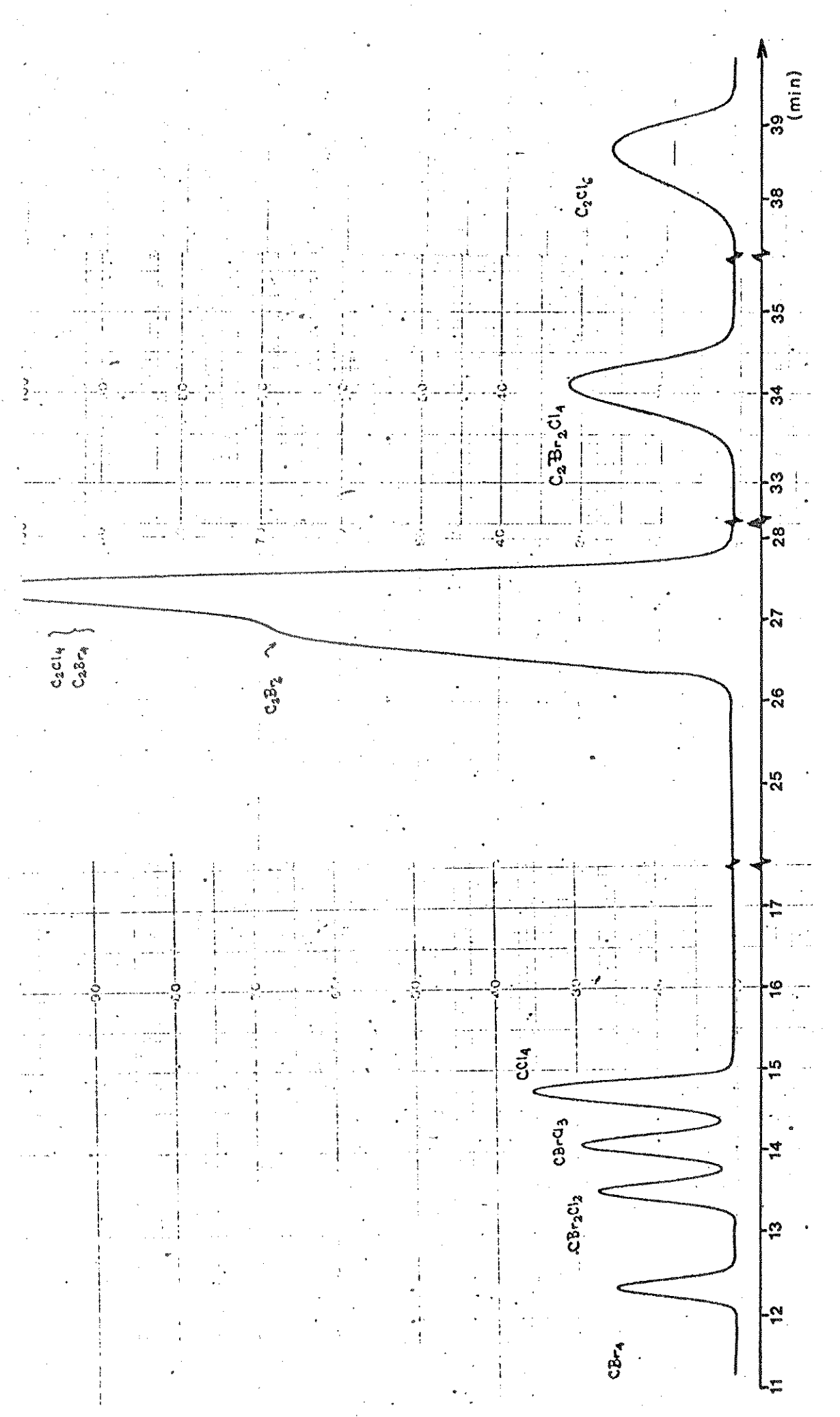
Como o principal alvo das investigações sobre os produtos radiólise ou termólise de CBr4 em CCl4 era os compostos C2 saturados, os compostos C2 insaturados, possíveis produtos de decomposição, não precisariam ser completamente resolvidos, mas a sua simples visualização já seria suficiente. Nestas análises, caso se quisesse boa separação destes compostos, a composição de FM ideal estaria entre 50:50 e 55:45 (MeOH/H<sub>2</sub>O). A análise destes compostos na coluna 5, com composição de FM desta ordem, são extremamente demoradas Fig. 5.22) devido à alta viscosidade da FM, que provoca grande aumen to de pressão na bomba, impedindo que a vazão da FM seja empregada em valores razoáveis (em torno de 1,0 mL/min). Isto dificultou asaná lises, sendo que foi preferivel trabalhar com FMs menos polares, mes mo que com perda de resolução, para se ter análises menos demoradas-(menores valores de  $D_m$ ).

TABELA 5.9. - Resultados obtidos na separação dos compostos  $C_1$  e  $C_2$  saturados, na coluna 5, com diferentes composições de FM.

Compostos	Separação	(T <sub>Z</sub> ou R <sub>s</sub> ) obtidos com	FM MeOH/H <sub>2</sub> O
separados	65:35	63:37	62,5 : 37,5
CBr <sub>4</sub> /CBr <sub>2</sub> Cl <sub>2</sub>	$T_{Z} = 1,22$	$T_Z = 1,10$	$T_Z = 0,73$
CBr <sub>2</sub> Cl <sub>2</sub> /CBrCl <sub>3</sub>	$R_{S} = 1,26$	$R_S = 1,12$	$R_S = 0,95$
CBrCl <sub>3</sub> /CCl <sub>4</sub>	$R_S = 1,27$	$R_{S} = 1,15$	$R_S = 0,94$
C <sub>2</sub> Br <sub>6</sub> /C <sub>2</sub> Br <sub>2</sub> Cl <sub>4</sub>	cinina	$T_Z = 4,75$	$T_Z = 4,34$
C <sub>2</sub> Br <sub>2</sub> Cl <sub>4</sub> /C <sub>2</sub> Cl <sub>6</sub>	T <sub>Z</sub> = 2,49	$T_{Z} = 2,02$	T <sub>Z</sub> = 1,95

Um resumo dos melhores resultados conseguidos com as três colunas, tendo em vista a separação do maior número possível de peralogenados, considerando os valores de  $T_{\rm Z}$  e  $R_{\rm S}$  pode ser encontrado na Tab.5.10. Os valores de  $\alpha$  (fator de seletividade) encontrados para a maioria das separações, foram em torno de 1,20, o que significa que, em geral, as separações foram boas e o sistema apresentou boa seletivida de, com tempos de análise razoáveis, principalmente para a coluna 5.

Os valores de  $D_m$ , calculados para os compostos separados na coluna 5 (Tab. 5.11), mostram que as separações conseguidas para os compostos  $C_1$  foram bem razoáveis, resultado de interações adequadas, tanto com a FM como com a FE ( $D_m$  entre 1 e 10). Nas separações dos compostos  $C_2$  saturados, os valores de  $D_m$  já foram bem maiores, o que demonstra a forte interação destes compostos com a FE, provocando análises mais demoradas. Os valores de  $D_m$ , neste caso, poderiam ser diminuídos usando-se uma FM menos polar, mas isto certamente



padrões. FM: MeOH/H<sub>2</sub>O 65:35; vazão da FM:1,0 mL/min; vol. inj.: 10 µL; detec Figura 5.23. - Cromatograma obtido com a coluna 5 na separação da mistura de peralogenados ção: 220 nm.

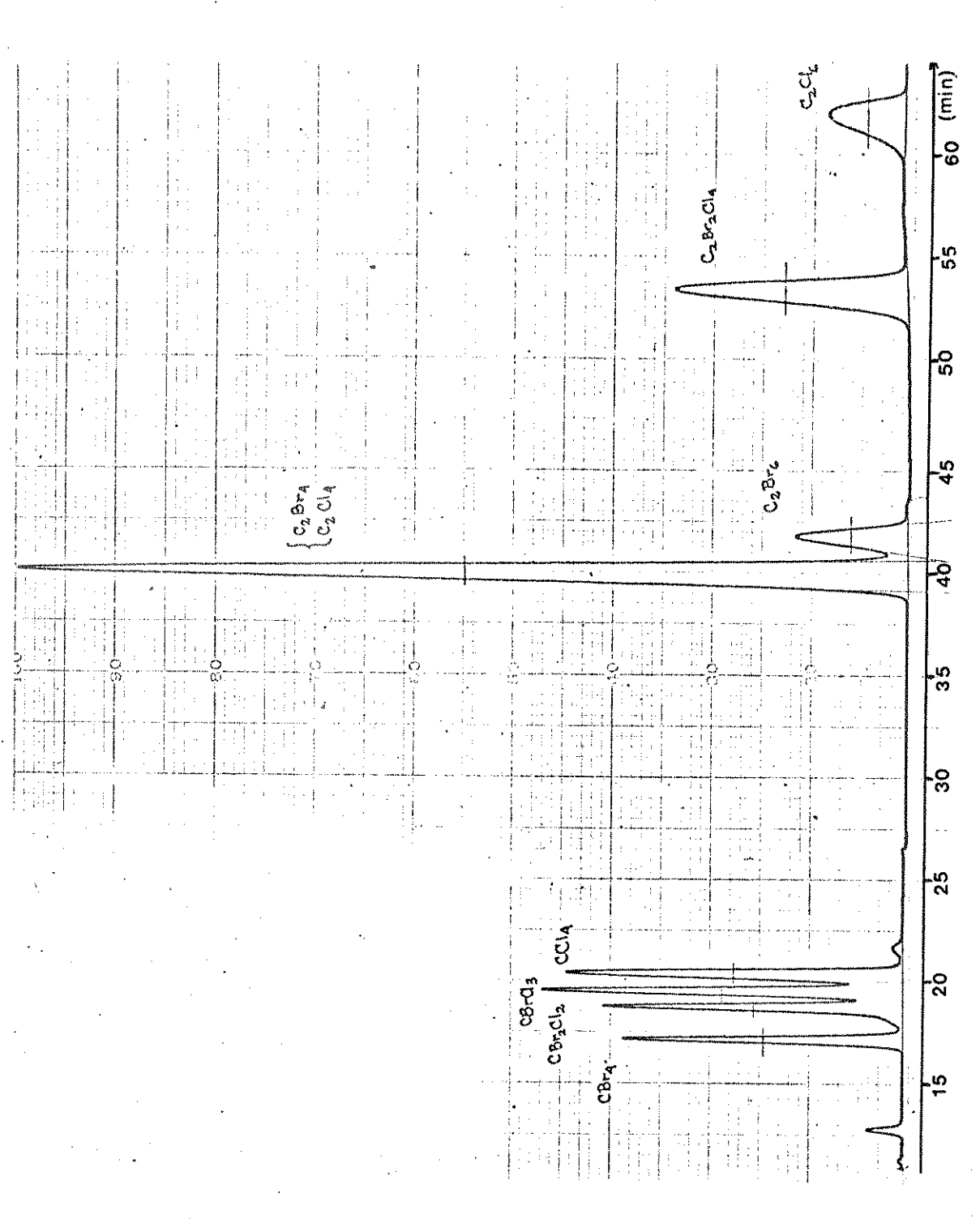


Figura 5.24. - Cromatograma obtido com a coluna 5 na separação da mistura de peralogenados padrões. FM: MeOH/H2O 63:37; vazão da FM: 0,9 mL/min; vol. inj.: 10 µL, de-

tecção: 220 nm.

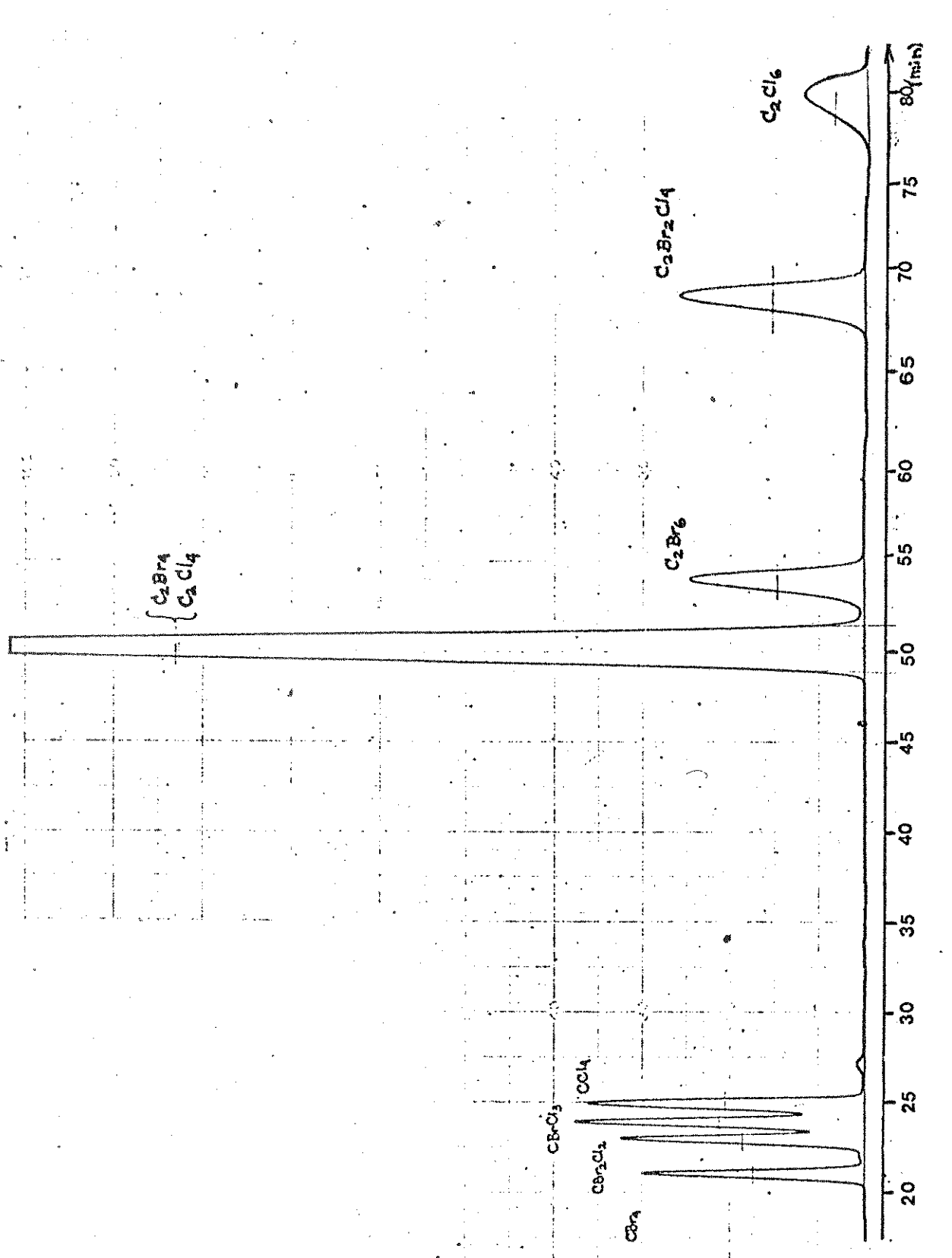


Figura 5.25. - Cromatograma obtido com a coluna 5 na separação da mistura de peralogenados padrões o promeses FM: MeOH/H2O 62,5:37,5; vazão da FM: 0,9 mL/min; vol. inj.:10 µl; detecção:

സ സ സ TABELA 5.10. - Resultados da Otimização da Separação dos Compostos Peralogenados com as Colunas 1,

	AND	менисение для учетов на пределения в предел	у шили жаланда байуу үчүнү байдан байуу дүүү үчүнү менен жалан жалан жалан жалан жалан жалан жалан жалан жалан	на в постания постания в пределения постания постания постания постания постания постания постания постания по		маандарарарарарараран маандараран маандаран маандаран маандарарарарарарарарарарарарараран маандарараран маанда
Compostos separados	CC14/CBrC13	CBrCl3/CBr2CL2	CBr <sub>2</sub> Cl <sub>2</sub> /CBr <sub>4</sub>	C2C14/C2Br4	C2Br6/C2Br2Cl4	C2Br2C14/C2C16
Composição da FM MeOH/H2O	22:78	22:78	22:78	35:65	70:30	70:30
Separação $(\mathtt{T}_{Z}$ ou R $_{S})$	Rs = 1,55	R = 1,72	$T_Z = 1,37$	T <sub>2</sub> = 4,70	$T_Z = 0,64$	T <sub>Z</sub> < 0
Seletividade $(\alpha)$	α = 1,16	$\alpha = 1,17$	$\alpha = 1,30$	a = 1,75	$\alpha = 1,28$	α = 1,16
Composição da FM MeOH/H2O	30:70	30:70	30:70	40:60	6.0;40	70:30
Separação ( <sub>T</sub> ou R <sub>S</sub> )	$R_{\rm S} = 1.48$	R <sub>s</sub> = 1,60	T = 1,08	$T_{Z} = 3,39$	$T_{Z} = 1,24$	$T_{Z} = 0,30$
Seletividade $(\alpha)$	$\alpha = 1,12$	c = 1,13	$\alpha = 1,19$	α = 1,52	α = 1,22	α = 1,15
Composição da FM MeOH/H2O	63:37	63:37	63:37	50:50	63:37	63:37
Separação (T $_{ m Z}$ ou R $_{ m S}$ )	R <sub>s</sub> = 1,15	R = 1,12	$T_{Z} = 1,10$	$T_Z = 3,49$	$T_{Z} = 4,75$	$T_{Z} = 2,02$
Seletividade $(\alpha)$	$\alpha = 1,05$	$\alpha = 1,05$	$\alpha = 1,11$	α = 1,20	$\alpha = 1,29$	$\alpha = 1, 17$
	ann a bean an ceann a mhairth Mhìre de Mhinnigh ann an an an an an an ann an an an an a					

prejudicaria as separações dos compostos  $C_1$ . Menos razoáveis foram as separações dos  $C_2$  insaturados, cujos valores de  $D_m$  foram muito altos. Como no caso dos  $C_2$  saturados, isto ocorre para que a separação de outros compostos (os  $C_2$  saturados) possa ocorrer, sem haver sobre posições com os primeiros.

TABELA 5.11. - Valores de  $D_{m}$  (razão de distribuição das massas) obt $\underline{i}$  dos para separações na coluna 5.

Compostos Separados	D <sub>m</sub>	Compostos Separados	$D_{m}$
CBr4	6,41	C <sub>2</sub> Cl <sub>4</sub>	49,33
CBr <sub>2</sub> Cl <sub>2</sub>	7,10	C <sub>2</sub> Br <sub>4</sub>	59,13
CBrCl <sub>3</sub>	7,43	C <sub>2</sub> Br <sub>6</sub>	16,98
CCl4	7,81	C <sub>2</sub> Br <sub>2</sub> Cl <sub>4</sub>	21,98
		C <sub>2</sub> Cl <sub>6</sub>	25,70

A FM utilizada foi MeOH/H<sub>2</sub>O 63:37, com excessão da separação  $C_2Cl_4/C_2Br_4$  que foi feita a 50:50.

Os cálculos feitos para as determinações de  $\alpha$  e  $D_m$  envolveram a medida de  $t_M$  (tempo de retenção de um soluto não retido pela FE). O soluto usado na medida de  $t_M$  foi o próprio solvente das amostras, o metanol, que também compõe a FM. O  $t_M$  empregado foi apenas operacional, pois o metanol não é o soluto ideal para estas determinações. Existem solutos mais adequados para as medidas de  $t_M$ . Entretanto, muitos solutos são usados indiscriminadamente, gerando muita controvérsia sobre o assunto. O método da linearização de séries homólogas para o cálculo de  $t_M$  (ou  $v_M$  - volume morto) é um dos que melhores re-

sultados traz, porém é muito trabalhoso [56]. Solutos bastante recomendados para este fim incluem isômeros isotopicamente marcados de moléculas do eluente, tais como análogos deuterados da água, metanol ou acetonitrila, sais inorgânicos ou compostos orgânicos como citosina, N-N-dimetilformamida, uréia, acetona e uracila [57]. Marcadores (soluto) como acetona apresentam interações com a FE, mas são ainda melhores que marcadores carregados. Uracila é bastante conveniente em fase reversa e facilmente detectável em 254 nm [58]. Nitrometano é também conveniente nestes sistemas, porém a FM deve conter apenas metanol ou acetonitrila puros [57]. O uso de D20 é muito adequado em fase reversa e FMs aquosas, porém sua detecção deve ser feita por indice de refração [58]. Tendo em vista as dificuldades em se obter um t<sub>M</sub> verdadeiro e a, praticidade em se usar o próprio metanol, julgou-se suficiente usar esta estimativa de t<sub>M</sub>.

## 5.3. - Análises de produtos de radiólise de CBr<sub>4</sub>/CCl<sub>4</sub> através da CLAE.

Amostras produzidas pela radiólise de soluções diluídas de CBr4 em CCl4, feitas por Bertran [1] e que se encontravam já disponíveis no laboratório, foram analisadas através da CLAE, nas condições de análise desenvolvidas para a separação destes produtos (seção 5.2).

As amostras foram preparadas a 3% de CBr4, seladas sob vácuo e irradiadas com diferentes doses:

Amostra	- dose	(kGy)
1	1,0	
2	2,5	
3	30,0	
4	50,0	•

As amostras foram analisadas por CG[1] e posteriormente estocadas a 77K, até serem analisadas por CLAE.

Os cromatogramas referentes a estas análises são mostrados nas Figs. 5.26 a 5.29, respectivamente.

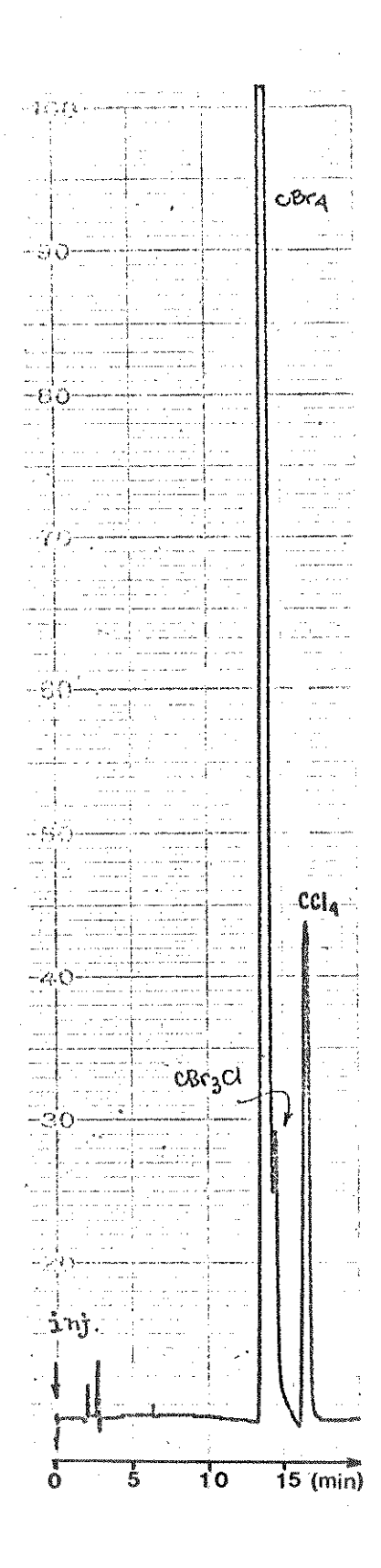
Amostras similares a estas já foram analisadas através da CG/EM [1] e revelaram a presença de grandes quantidades de  $CBr_3Cl$  e  $CBrCl_3$ , além de  $CBr_2Cl_2$ ,  $C_2Br_4$  e  $C_2Cl_6$ , contendo ainda  $CBr_4$  e  $CCl_4$ .

Os resultados obtidos pela CLAE mostraram a presença de apenas três compostos, dois dos quais foram identificados, por adição de padrão, como sendo CBr4 e CCl4. Comparando com os cromatogramas obtidos por Bertran (Fig. 5.30), nota-se a ausência de sinais para CBrCl3 ou CBr2Cl2, sendo que a adição destes padrões à amostra produziu dois novos picos. A ausência destes compostos é provavelmente relacionada com o método usado para eliminar o excesso de CCl4, que foi a evaporação, pois estes compostos são bastante voláteis. O pico entre CBr4 e CCl4 (Figs. 5.26 a 5.29) foi abribuído ao CBr3Cl, composto identificado inicialmente [1] por correlação de sua retenção relativa como composto contendo três bromos e posteriormente confirmado nos produtos de radiólise por CG/EM [1].

Pela correlação obtida por CLAE para o t $_{\rm R}$  do CBr $_3$ Cl através do gráfico de log D $_{\rm m}$  versus n $^{\rm o}$  de cloros no composto, sua identific $_{\rm a}$ cão se confirma. O valor do log D $_{\rm m}$  previsto pela linha reta:

log 
$$D_m = a$$
 (  $n^0$  de cloros) + b 
$$a = 0.0178 \qquad b = 0.8242 \qquad r = 0.9985$$
  $\tilde{e}$  igual a 0.8419, sendo o valor observado 0.8420 (Fig. 5.31).

Nenhum composto peralogenado  $C_2$  foi observado, nem saturado, nem insaturado. Provavelmente, a sensibilidade do sistema de detecção usado não foi suficiente para detectar estes compostos que se en



Cora ÇBr<sub>3</sub>Cl 10 15 20(min)

- Figura 5.26. - Cromatograma obtido com a coluna 5, na análise da amostra produzida pela ra diólise, com 1 kGy, de CBr<sub>4</sub> em CCl<sub>4</sub>.FM: MeOH/H O 65:35; vazão da FM: 1,0<sup>2</sup> mL/min; vol. inj.: 10 μL; detecção: 220 nm.

Figura 5.27. - Cromatograma obtido com a coluna 5, na análise da amostra produzida pela ra diólise com 2,5 kGy, de CBr<sub>4</sub> em CCl<sub>4</sub>. FM: MeOH/H<sub>2</sub> 63:37; vazão da FM: 0,9 mL/min; vol. inj.: 10 µL; detecção: 220 nm.

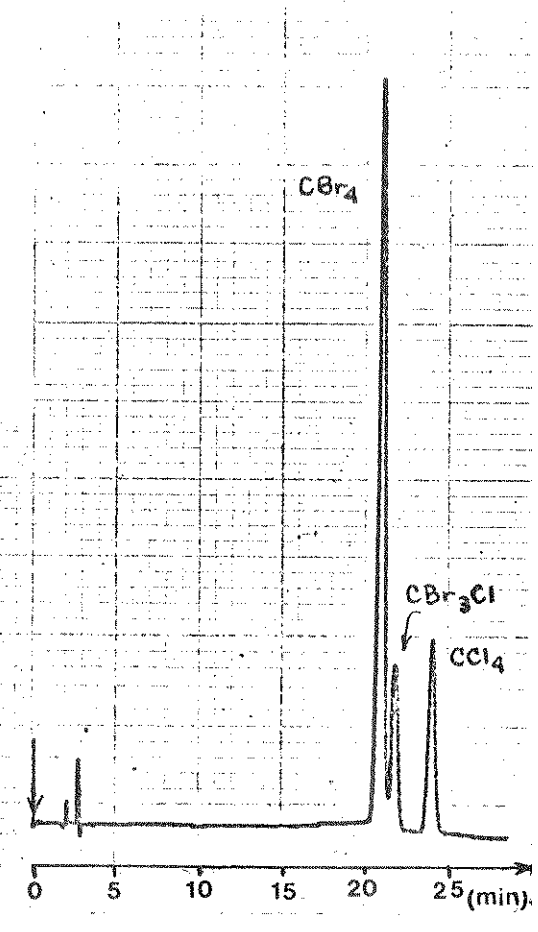


Figura 5.28. - Cromatograma obtido com a coluna 5 na análise da amostra obtida pela radiólise, com 30 kGy, de CBr<sub>4</sub> em CCl<sub>4</sub>. FM: MeOH/H<sub>2</sub>O 63/37; vazão da FM: 0,9 mL/min; vol. inj.: 10 µL; detecção:220 nm

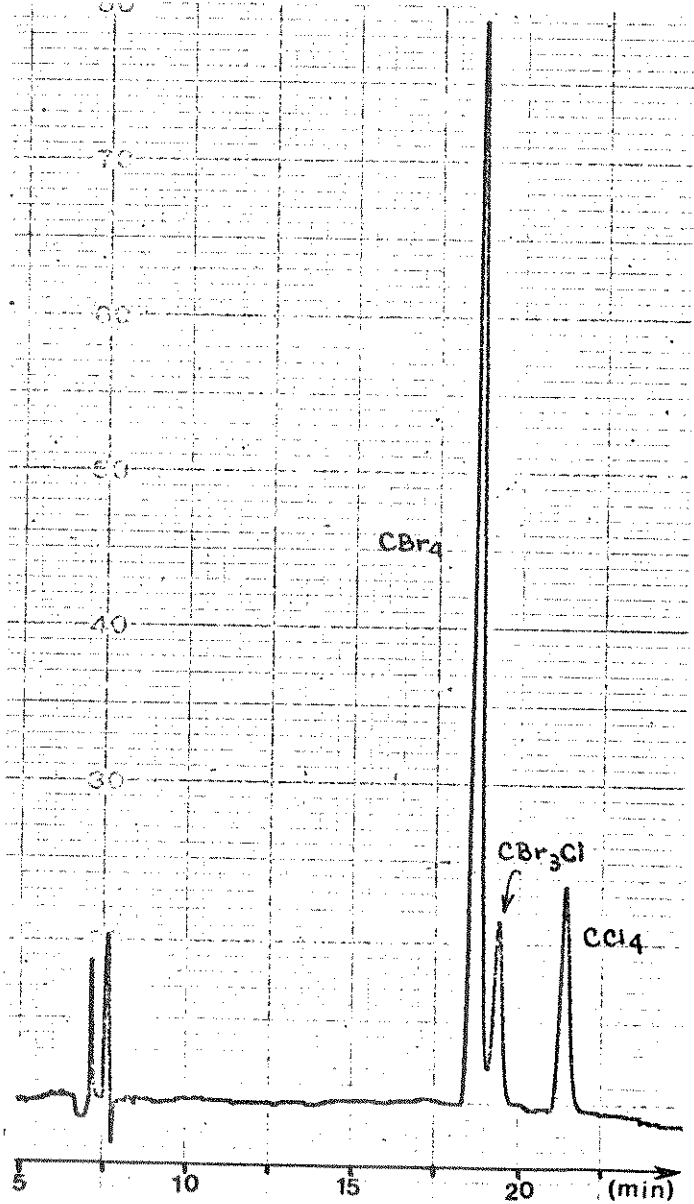


Figura 5.29. - Cromatograma obtido

com a coluna 5 na

análise da amostra

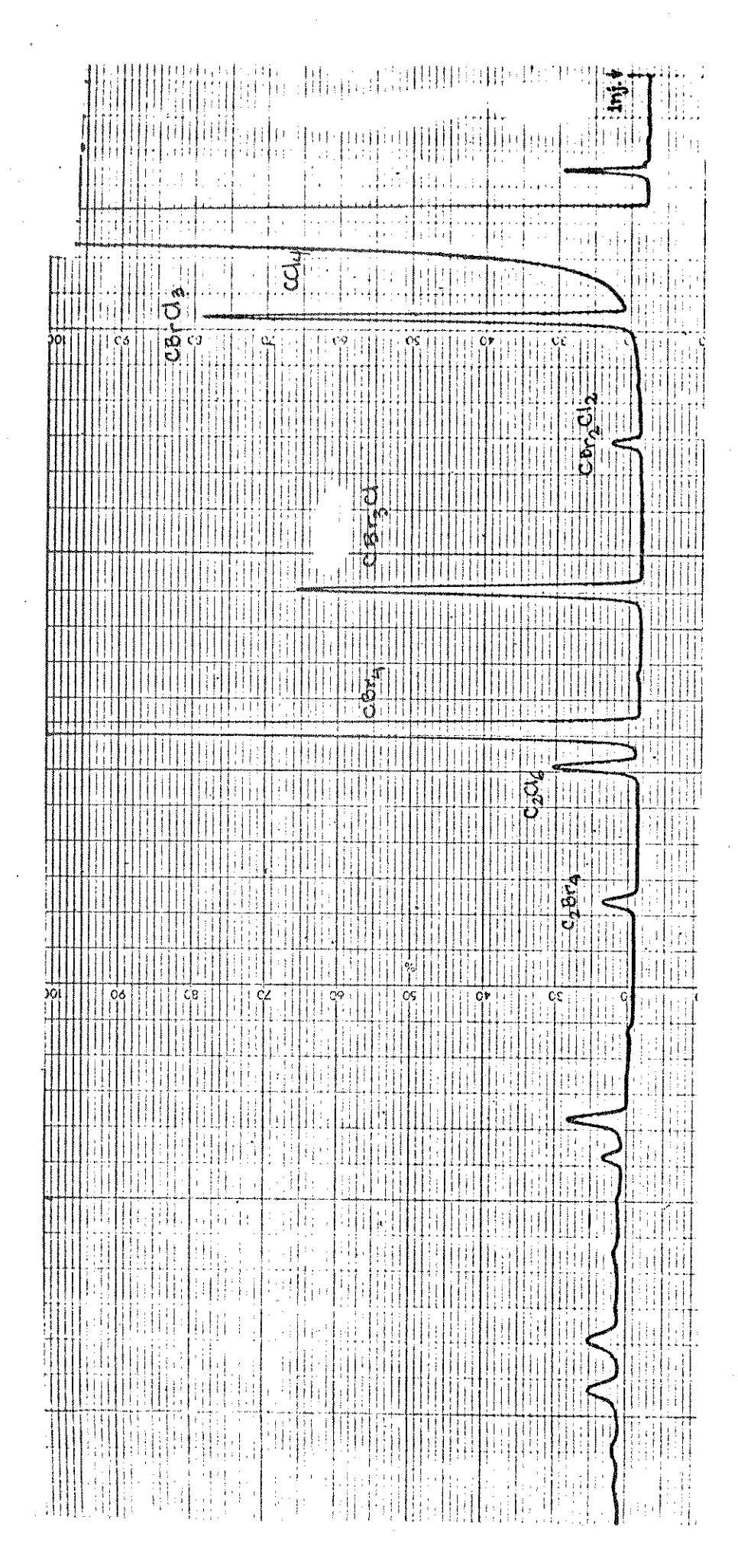
obtida pela radió
se, com 50 kGy de

CBr<sub>4</sub> em CCl<sub>4</sub>. FM:

MeOH/H<sub>2</sub>O 65:35; va
zão da FM: 1,0 mL/

min; vol. inj.:10µL;

detecção: 220 nm.



pot 100-120; FM: N<sub>2</sub>/H<sub>2</sub>/Ar 30:30; Vazão: 300 mL/min; Detector: FID 200°C; Injetor: 150°C; Figura 5.30. - Cromatograma obtido por CG na análise da amostra obtida pela radiólise, com 30 kGy,de  $^{ ext{CEr}_4}$  em  $^{ ext{CCl}_4}$  (mesma amostra analisada por CLAE da Fig. 5.28) feito por Bertran [1]. $^{ ext{Coluna}}$ de vidro de 1,8 m x 2 mm, recheada com 20% de SP 2100 + 0,1% de Carbowax 1500/Supelco-Programação: 40 a 180<sup>6</sup>c a 4<sup>o</sup>C/min; Vol.inj.: 1,8 µL

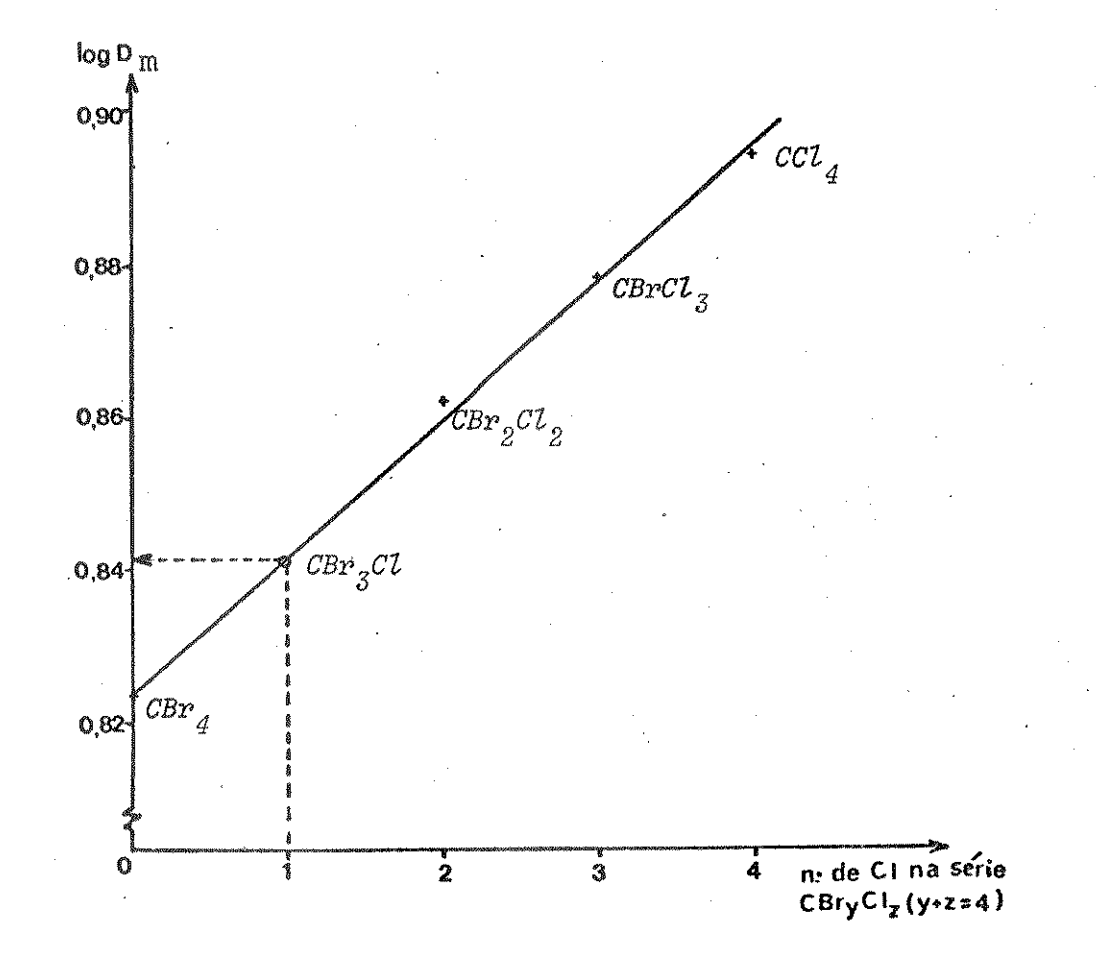


Figura 5.31. – Identificação do CBr $_3$  Cl através da correlação do t $_{\rm R}$  pela curva log D $_{\rm m}$  x nº cloros na série CBr $_{\rm V}$ Cl $_{\rm Z}$ (y+z=4). O t $_{\rm R}$  pelo cromatograma (Fig.5.32) foi 19,57 min e o t $_{\rm R}$  interpolado, 19,56 min.

.99.

 $\log D_{
m m}$ 

0,823

0,842

0,862

0,878

0,894

nº cloros

0

1

2

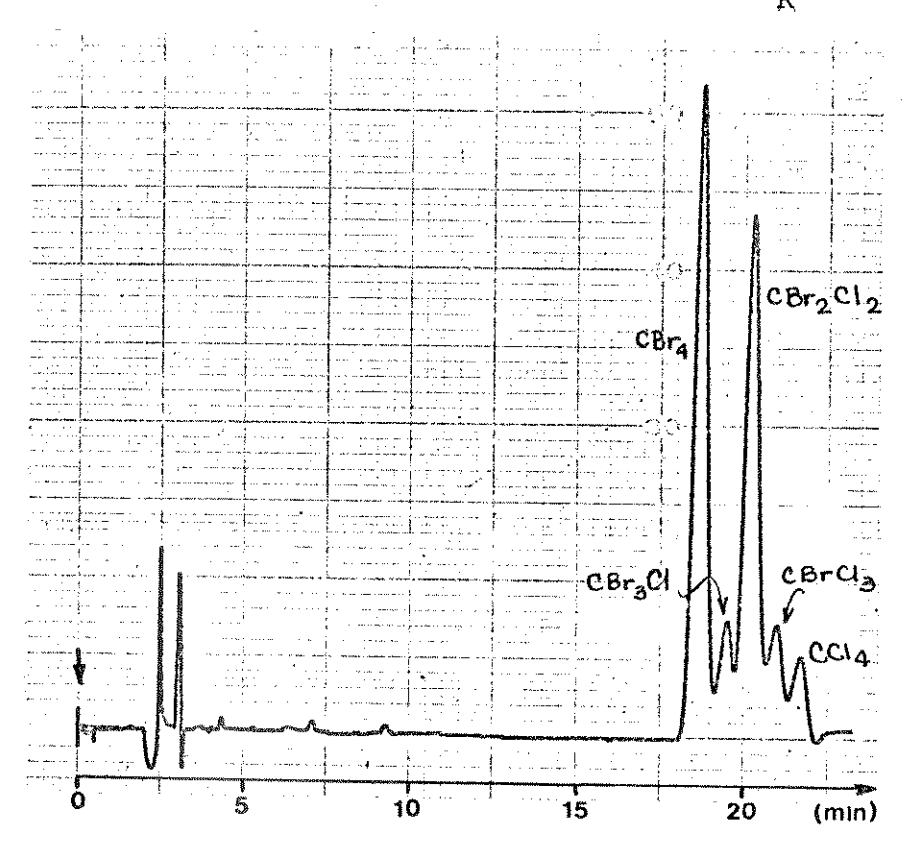


Figura 5.32. - Cromatograma obtido com a coluna 5 na análise da mistura padrão de C (amostra de CBr, em CCl, irradiada com 50 kGy + CBr, Cl, + CBrCl, EM: MeOH/H, 0 63:37; vazão da FM: 0,8 mL/min; vol. inj.: 10 μL; detecção: 220 nm.

contram em concentrações muito baixas, em relação ao CBr4 ou CCl4 (Fig 5.30). O detector usado em CLAE foi por absorbância no UV, que é bem menos sensível que os detectores por fotoionização ou por ionização em chama, usados nas análises por CG. Outro fator a ser considerado é o das doses fornecidas para as amostras analisadas por CLAE, que foram menores do que as usadas nas análises por CG/EM, fator este diretamente relacionado com a quantidade de produtos formados.

À amostra 4, submetida à maior dose de radiação (50 kGy) das disponíveis (Fig. 5.29), foram adicionados dois padrões: CBr<sub>2</sub>Cl<sub>2</sub> e CBrCl<sub>3</sub>. A amostra resultante constituiu-se, então, numa mistura padrão, contendo os cinco peralogenados C<sub>1</sub> possíveis. Esta mistura foi analisada nas condições otimizadas anteriormente (Seção 5.2) para se obter uma confirmação sobre a previsão da separação feita.

Como pode ser visto na Fig. 5.32, a resolução da amostra contendo os cinco compostos C<sub>1</sub> foi bastante prejudicada e muito inferior àquela conseguida para os padrões (Fig. 5.24). As resoluções 0,92; 0,82; 0,84 e 0,74 para os compostos, em ordem de eluição, foram muito baixas e poderiam originar muito erro, quando se fizesse análise quantitativa. Entretanto, para uma análise qualitativa, para simples identificação, estes valores de resolução ainda são aceitáveis.

O fator tempo de uso para esta coluna parece ter sido muito significativo na perda de sua eficiência, que, como consequência, prejudicou as
separações e a resolução.

Também as concentrações dos componentes da mistura dos cinco C1 estavam muito diferentes entre si, o que prejudicou a visualização da separação, devido às sobreposições dos picos mais pronunciadas.

Num caso como este, de deterior ação da coluna durante os

experimentos, marcada pela perda de eficiência, algumas alternativas são possíveis: a confecção de uma nova coluna com idênticas características, o uso de uma outra composição de FM, mais adequada para as separações dos componentes com resolução prejudicada, sem contudo diminuir muito a resolução dos compostos com separação já otimizadas ou a análise dos três grupos separadamente, com as composições de FM mais adequadas para cada um dos grupos, como já feito para as análises nas colunas 1 e 3 ou o recondicionamento da mesma coluna.

## 5.4. - <u>Síntese Fotoquímica de Compostos Peralogenados</u>.

De maneira geral, os compostos peralogenados, principalmente os saturados e ricos em bromo, são bastanteinstáveis, tanto em presença de luz como de calor, o que pode ser verificado pela coloração amarela que adquirem, após algum tempo em solução, devido à eliminação de Br2. Como conseqüência, são compostos difíceis de serem encontrados no comércio e alguns, como C2Br5Cl, C2Br4Cl2 ou C2Br3Cl3, nem mesmo constam de catálogos como K & K, Merck ou Aldrich.

No entanto, quando o que se deseja são misturas de peralogena dos, como homólogos em série, estas podem ser facilmente obtidas por reações fotoquímicas, a partir de substratos adequados. A pronta fotodissociação de ligações C-X (X = halogênio) e X2, gerando radicais diversos, resulta em diferentes distribuições de produtos, dependendo das condições de fotólise.

A fotólise de soluções diluídas (0,3%) de  $C_2Br_6$ , em presença de  $Cl_2$ , usando  $CCl_4$  como solvente, sob luz UV de uma lâmpada de Vapor de Mercúrio de Alta Pressão (VMAP), produziu misturas de compostos do tipo  $C_2BryCl_z$ (y+z=6), variando entre  $C_2Br_3Cl_3$  até  $C_2Cl_6$ , em

diferentes quantidades, dependendo do tempo de exposição. Alguns des tes produtos tiveram suas estruturas confirmadas através de análises por CG/detector de massa, comprovando, assim, a previsão de separação da série homóloga.

As soluções para fotólise foram preparadas em baixas concentrações devido à pequena solubilidade do C<sub>2</sub>Br<sub>6</sub> em CCl<sub>4</sub>. Não foi tenta do outro solvente, primeiro porque não seria conveniente a interferência devido à geração de outros radicais provenientes de outros elementos e, depois, porque o CCl<sub>4</sub>, mesmo sendo fotolisado, geraria radicais comuns ao meio, não interferindo nos resultados esperados.

A quantidade de Cl<sub>2</sub> adicionado à solução foi controlada pelo tempo de borbulhamento e coloração da solução final, para que as misturas a serem fotolisadas pudessem ser reprodutíveis. Não foi feito um controle mais quantitativo da adição de Cl<sub>2</sub>, se bem que sua quantidade pode ser facilmente estimada através da sua solubilidade em CCl<sub>4</sub>. A 20°C e 1 bar de pressão, cada grama de CCl<sub>4</sub> pode dissolver até 0,0825g de Cl<sub>2</sub> [59]. Considerando que a temperatura no laboratório, durante o período de trabalho, foi de aproximadamente 20°C e a pressão, de aproximadamente 1 bar, pode-se adotar esta concentração de cloro como a máxima concentração que se poderia obter.

A lâmpada usada na fotólise (VMAP) tem espectro de emissão praticamente contínuo, indo de 248 até 690 nm, sem a emissão de 254 nm [54]. Esta faixa de espectro de emissão é o resultado de um espectro filtrado, tanto pela espessa parede de vidro como também pela so lução de [Cu(NH<sub>3</sub>)<sub>4</sub>] <sup>2+</sup>que recobre o vidro.

A velocidade de emissão é da ordem de  $10^{14}-10^{15}$  fótons/s, sendo que poucos minutos são suficientes para produzir resultados de sejáveis.

Apesar de todos os cuidados tomados durante a preparação das ampolas, com relação à luz, os resultados obtidos para a solução de referência (submetida à mesma sequência de processos da amostra, exceto a fotólise) mostraram que houve decomposição do C2Br6, formando produto de eliminação de bromo, o C2Br4. Como o C2Br6 é bastante sem sível à luz, é provável que esta decomposição tenha sido causada pela luz da chama do maçarico, durante a selagem das ampolas. Outra possibilidade seria que, através do contato entre os reagentes já se iniciasse uma reação, antes mesmo de se submeter à fotólise.

De qualquer modo, a partir daí, as ampolas foram fechadas apenas com uma rolha adequada e não mais seladas com maçarico. Este procedimento reduziu bastante a quantidade de produto C<sub>2</sub> insaturado, porém não eliminou completamente este tipo de decomposição. No entanto, é provável que a origem deste produto de decomposição esteja no próprio padrão, que, com o tempo, começa a apresentar este tipo de reação.

Após a fotólise, produtos como Br<sub>2</sub> e o excesso de Cl<sub>2</sub> e CCl<sub>4</sub> foram eliminados através de evaporação, sob ventilação (capela), ao abrigo da luz. O uso de vácuo, como já foi usado por Bonato[3], pode acelerar o processo de evaporação, mas pode também provocar a perda de material, visto que os produtos são voláteis. A eliminação de CCl<sub>4</sub> foi muito conveniente, pois evitou que a coluna ficasse saturada, prejudicando a análise.

Não foi feito um estudo mais quantitativo destes processos de fotólise porque o interesse, na verdade era a obtenção de soluções contendo misturas de compostos peralogenados e em concentrações aproximadamente iguais. Para isso, os experimentos foram feitos de maneira que pudesem ser apenas reprodutíveis.

Diversos experimentos, sob diferentes condições, foram feitos a fim de se obter uma distribuição uniforme de produtos. Soluções a 0,3% de C<sub>2</sub>Br<sub>6</sub> em CCl<sub>4</sub> foram fotolisadas a 10 cm da fonte por 20 min. (Fig. 5.33) e por 30 min (Fig. 5.34). Também soluções a 2% foram fotolisadas, a igual distância, por 30 min (Fig. 5.35). As soluções mais diluídas produziram melhores distribuições de produtos, resultando, principalmente, em compostos clorados, sendo o C<sub>2</sub>Br<sub>6</sub> quase que totalmente consumido. Em soluções mais concentradas, os produtos mais ricos em bromos predominaram, não havendo formação do C<sub>2</sub>Cl<sub>6</sub> e ainda com uma considerável quantidade de C<sub>2</sub>Br<sub>6</sub> restando após a fotólise.

Os compostos para os quais havia padrões disponíveis, como  ${\rm C_2Br_2Cl_4}$  e  ${\rm C_2Cl_6}$ , foram identificados através de seus  ${\rm t_R}$ s, pelo méto do de adição de padrão. Uma confirmação também foi obtida através de análise dos produtos de fotólise por CG/detector seletivo de massas (DSM). A Fig. 5.36 indica o cromatograma obtido, registrando a corrente total dos íons produzidos na fragmentação. As Figs. 5.37 a 5.40 mostram os espectros de massa correspondentes aos picos com  ${\rm t_R}$ s de 9,440 min, 11,138 min e 13,675 min.

A fragmentação de compostos halogenados é bem característica devido às contribuições isotópicas dos halogênios presentes, sendo também o pico do íon molecular e seus subsequentes, com massas maiores alternadas, muito importantes na sua identificação [60]. No entanto, compostos peralogenados apresentam o íon molecular muito pouco intenso, muitas vezes imperceptível, sendo identificados, principalmente, por seus fragmentos que formam séries distintas de multipletes [61] e também rearranjos característicos [62]. Um importante fragmento deste tipo de compostos é o íon  $x_2C = x^+$ , muito útil na

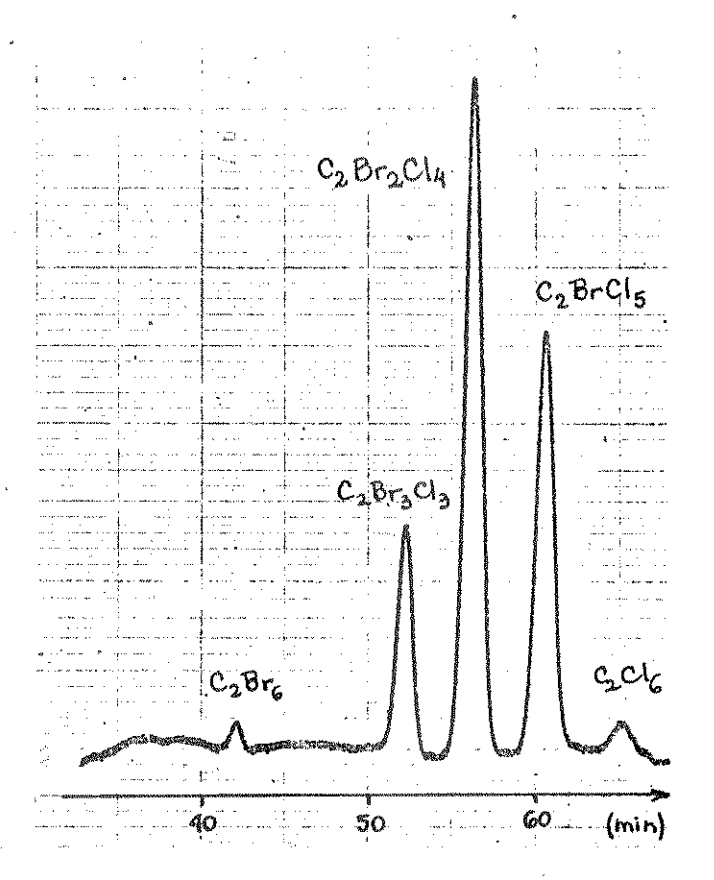


Figura 5.33. - Cromatograma obtido com a coluna 5 na análise dos produtos de fotólise de C<sub>2</sub>Br<sub>6</sub>/Cl<sub>2</sub> em CCl<sub>4</sub>, por 20 min, a 10 cm da fonte, (solução a 0,3%). FM: MeOH/H<sub>2</sub>O 63:37; vazão da FM: 0,8 mL/min; vol. inj.: 20 µL; detecção: 220 nm.

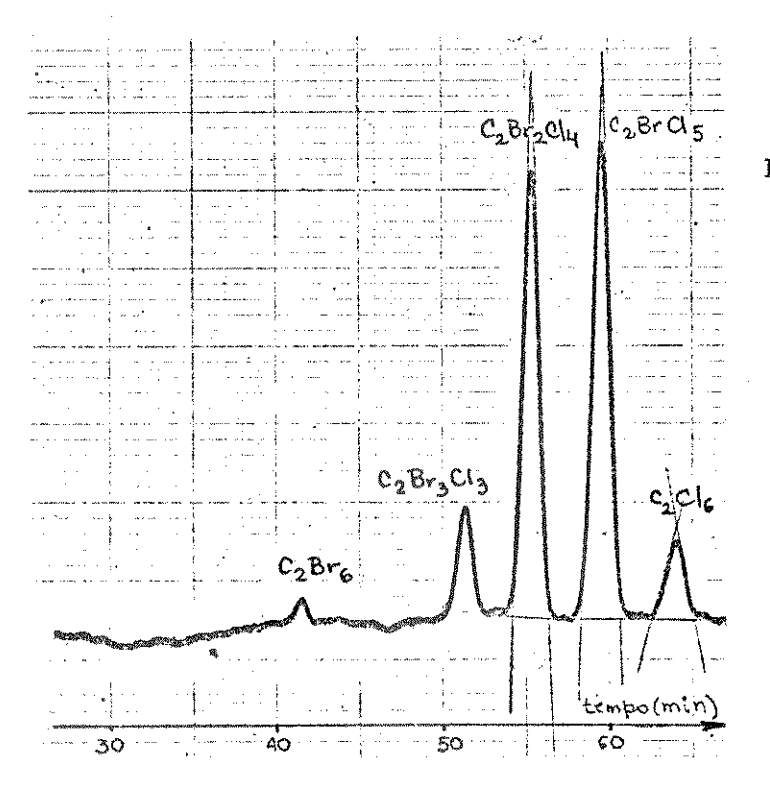


Figura 5.34. - Cromatograma obtido com a coluna 5 na análise dos produtos de fotólise de C2Br6/Cl2 em CCl4, por 30 min, a 10 cm da fonte (so lução a 0,3%). FM: MeOH/H2O 63:37; vazão da FM: 0,9 mL/min; vol. inj.: 20 µL; detecção: 220 nm.

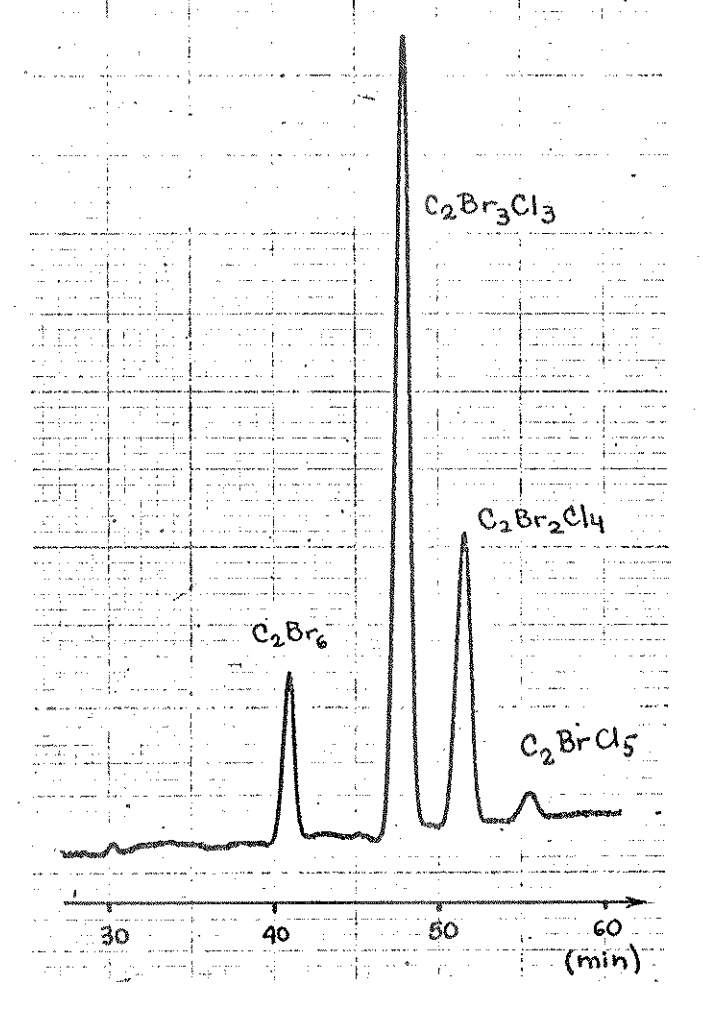


Figura 5.35. - Cromatograma obtido com a coluna 5 na análise dos produtos de fotólise de C2Br6/Cl2 em CCl4, por 30 min, a 10 cm da fonte (solução a 2%). FM: MeOH/H2O 63:37; vazão da FM: 0,9 mL/min; vol. inj.: 20 µL; detecção: 220 nm.

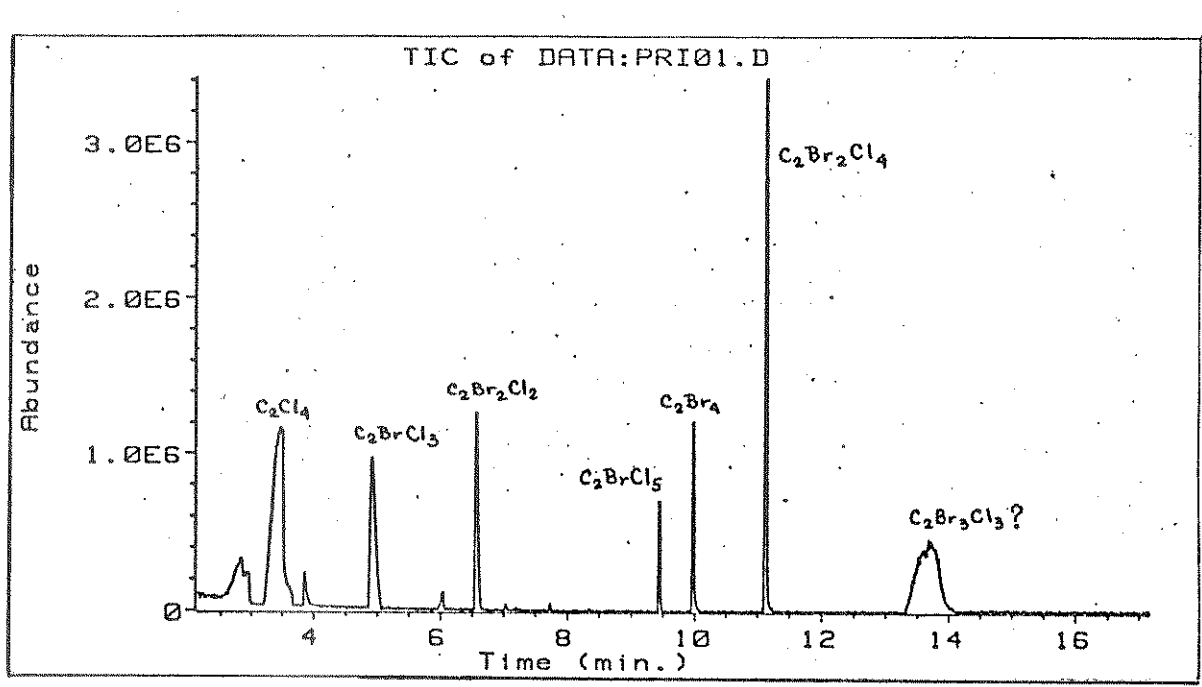


Figura 5.36. - Cromatograma obtido por CG na análise dos produtos de fotólise do C<sub>2</sub>Br<sub>6</sub>/Cl<sub>2</sub> em CCl<sub>4</sub>, por 30 min, a 10 cm da fonte (so lução a 2%). Coluna capilar de sílica fundida de 25 x 0,2 nm x 0,33 μm (filme a 5% de fenilmetilsilicone); FM: H<sub>2</sub>; vazão da FM: 60 mL/min; detector seletivo de massas (corrente iôni ca total); injetor: 300°C; programação: 40 a 140°C a 10°C/min; vol. inj.: 0,4 μL

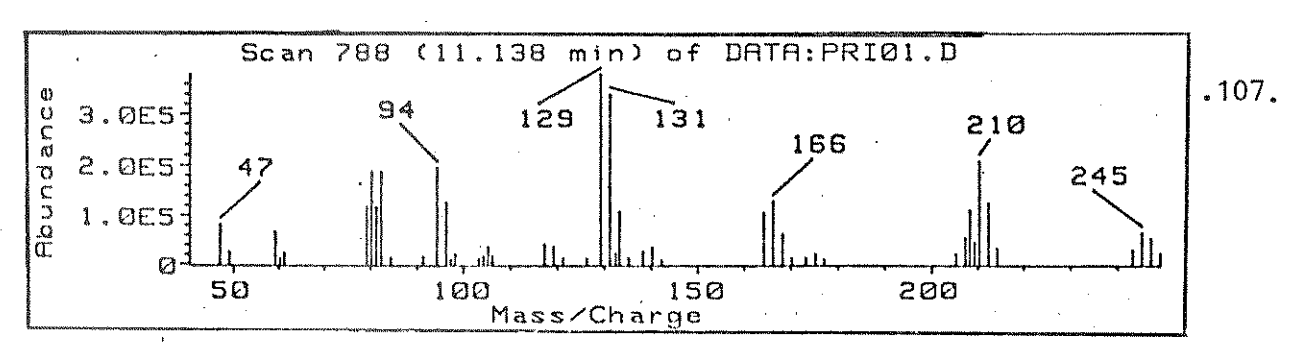


Figura 5.37. - Espectro de massa do  $C_2Br_2Cl_4$ , correspondente ao pico  $t_R$  = 11,138 min do cromatograma da Fig. 5.36

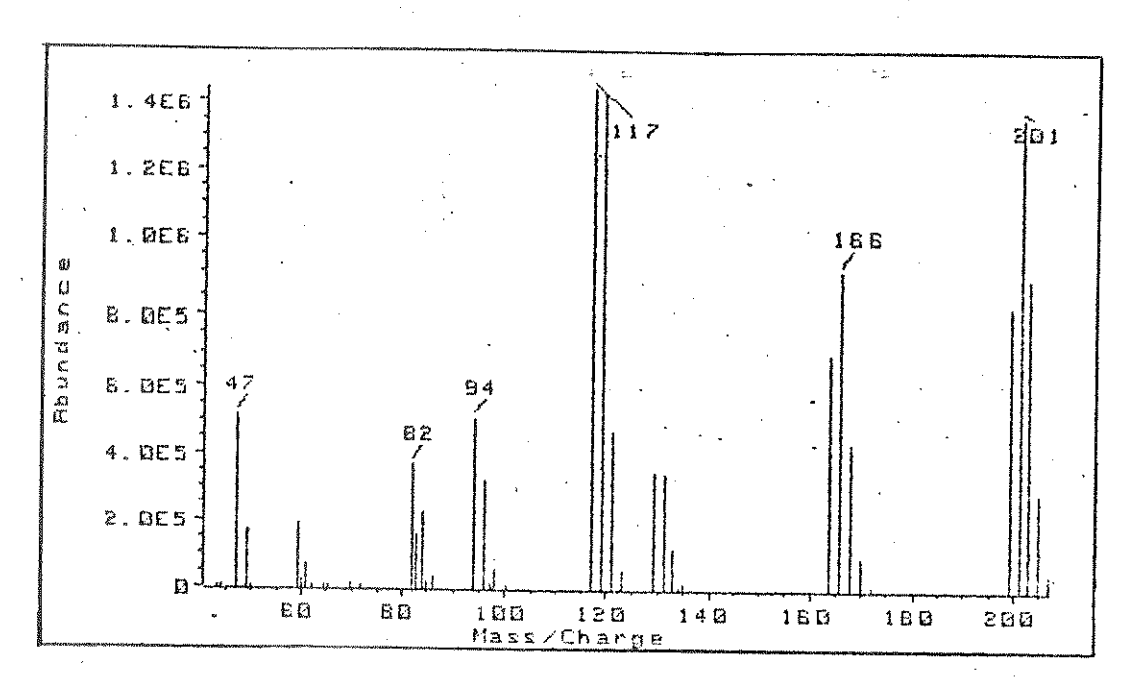


Figura 5.38. - Espectro de massa do C<sub>2</sub>Cl<sub>6</sub> padrão

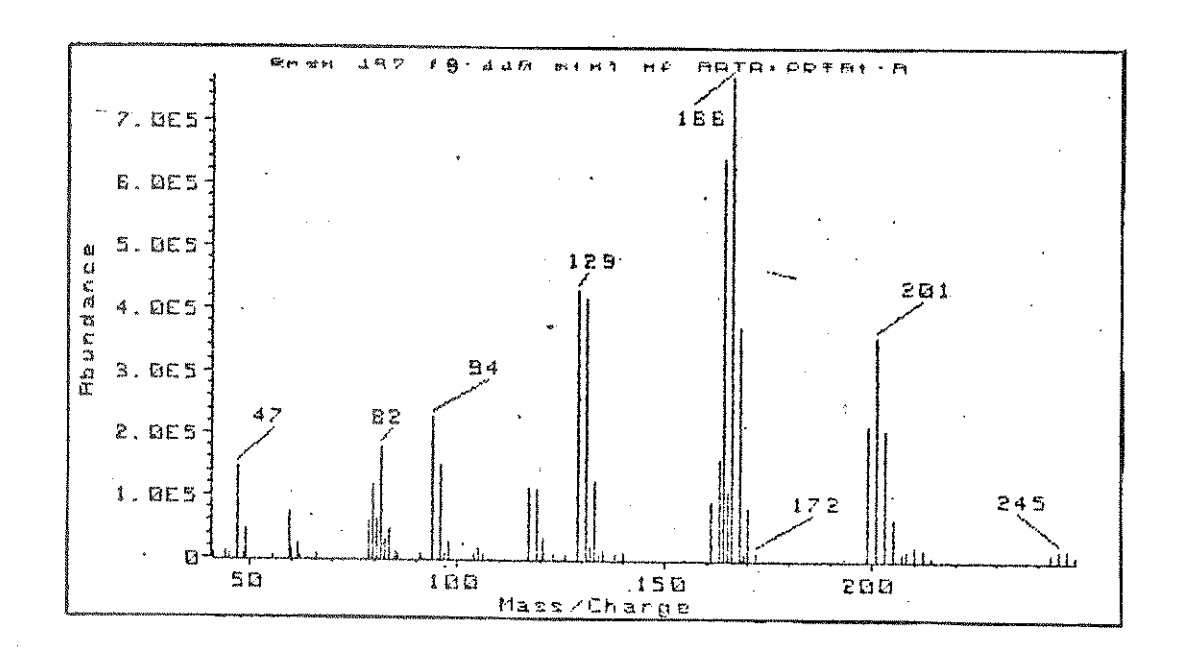


Figura 5.39. - Espectro de massa do  ${\rm C_2BrCl_5}$ , correspondente ao pico com  ${\rm t_R}$  = 9,440 min do cromatograma da Fig. 5.36

identificação dos produtos.

Os fragmentos C<sub>2</sub>BrCl<sub>4</sub><sup>+</sup>, C<sub>2</sub>BrCl<sub>3</sub><sup>+</sup>, C<sub>2</sub>Cl<sub>4</sub><sup>+</sup>, C<sub>2</sub>Cl<sub>3</sub><sup>+</sup> e Br<sup>+</sup>, de massas 245, 210, 166, 129 e 79 (respectivamente), característicos do C<sub>2</sub>Br<sub>2</sub>Cl<sub>4</sub>, podem ser observados na Fig. 5.37. A confirmação da identidade do C<sub>2</sub>BrCl<sub>5</sub> é indicada pelos fragmentos C<sub>2</sub>Cl<sub>5</sub><sup>+</sup> e Br<sup>+</sup> de massas 201 e 79, diferindo do espectro do C<sub>2</sub>Cl<sub>6</sub> (Fig. 5.8) pela presença do ion Br<sup>+</sup> (M/Z 79/81), ausente neste último. Os dados relativos à abundância dos fragmentos dos espectro da Fig. 5.39 podem ser vistos na Fig. 5.41.

Não foi possível obter uma confirmação da fórmula molecular do C2Br3Cl3 por este método, pois os dados do espectro de massa (Fig. 5.40) não correspondem ao esperado, dificultado ainda pelo fato deste composto ter sofrido decomposição nas condições de análise, além da possibilidade de se tratar de uma mistura de isômeros. suspeita de decomposição em análises por CG (Fig. 5.36) foi baseada no fato de que na análise por CLAE desta mesma mistura (Fig. 5.35) nenhum composto  $C_2$  insaturado foi identificado ( $t_R$  previsto entre 37 e 40 min) enquanto que na análise por CG vários C2 insaturados foram observados (Figs. 5.42 a 5.45). A origem dos C2 insaturados observados na CG é, provavelmente, a decomposição térmica na injeção ou durante a análise dos compostos C2 saturados, dotados de maior nº de átomos de bromo. O pico observado na CG (Fig. 5.36) com  $t_{\rm R}$ 13,675 min e com EM (Fig. 5.40), cujos principais fragmentos  $C_2Br_2Cl_2^+$  (M/Z = 256),  $C_2BrCl_2^+$  (M/Z = 175),  $HBr^+$  (M/Z = 80/82) e  $Br^+$  (M/Z = 79/81), indica que, provavelmente, trata-se de um conjunto de compostos.

A identificação do pico com t $_{\rm R}$  de 51,38 min na Fig. 5.34 foi feita por interpolação. A Fig 5.46 mostra o gráfico de log  ${\rm D_m}$  versus

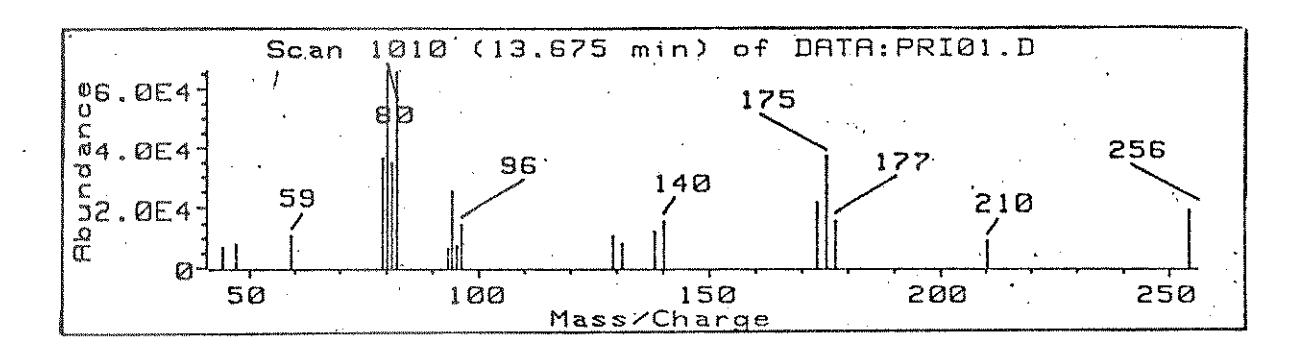


Figura 5.40. - Espectro de massa correspondente ao pico com  $t_{\rm R}$  = . 13,675 min no cromatograma da Fig. 5.36

## Scan 457 (9.440 min) of DATA:PRIOLD

m/z	abund.	m/z	abund.	m/z	abund.	m/z	abund.
41.00 44.00	7573 1 <i>0</i> 548	82.95 83.95	29368 45464	125.95 129.05	5152 427584	170.00	79720
45.00 47.00	5459 145088	85.05 85.95	8359 6012	131.05 132.15	+21304 + 413952 - 18448	199.05	8222 213760 354688
48.10	7720	91.00	7826	133.05	124000	203.05	206912
49.00 55.15	44976 3287	94.00 96.00	224448 146588	134.05 135.05	7805 13195	205.05 207.05	64872 10693
<b>59.</b> 05 <b>59.</b> 95	73288 12874	97.10 98.00	8781 26128	137.95 139.95	6804 9824	208.05	11543 20176
61.05	21656	104.10	6248	161.00	90064	212.05	15122
61.95 65.55	4353 5737	105.00 106.00	15413 7657	163.00 164.00	157376 636736	214.05 243.00	4462 8222
78.95 79.95	59640 116824	117.00	113392 108880	165.10 166.00	105680 769600	245.00 247.00	17232 15413
80.95	60784	120.90	32032	168.00	370432	249.00	6601
81.95	175872	123:00	5865	169.10	14203		

Figura 5.41. – Abundâncias relativas dos fons referentes ao espectro de massa do  ${\rm C_2^{BrCl}_5}$  da Fig. 5.39.

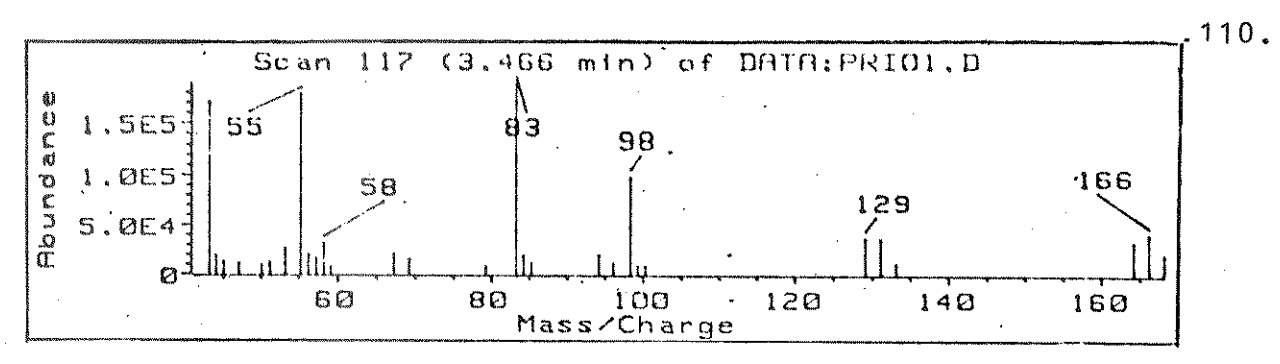


Figura 5.42. - Espectro de massa do  $C_2Cl_4$ , correspondente ao pico com  $t_R$  = 3,466 min no cromatograma da Fig. 5.36.

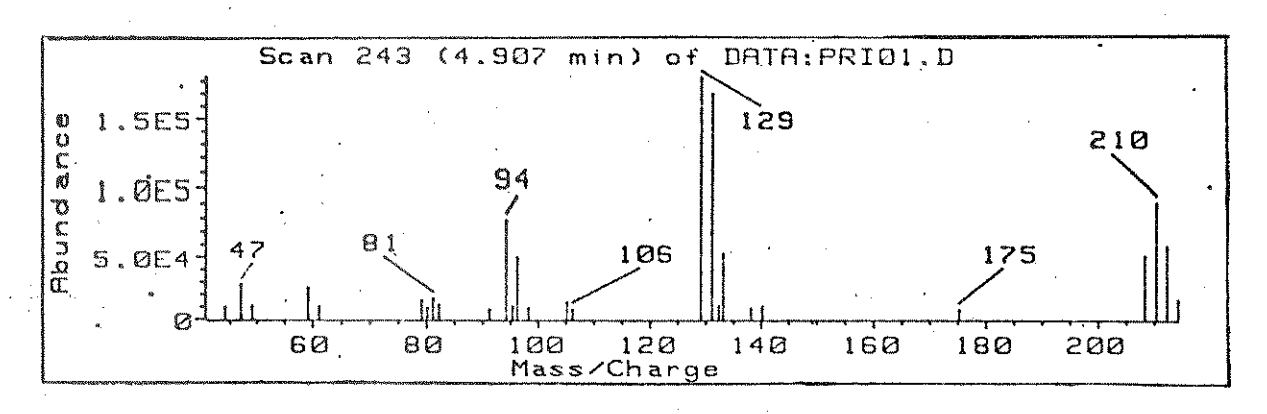


Figura 5.43. - Espectro de massa do  $C_2BrCl_3$ , correspondente ao pico com  $t_R$  = 4,907 min no cromatograma da Fig. 5.36.

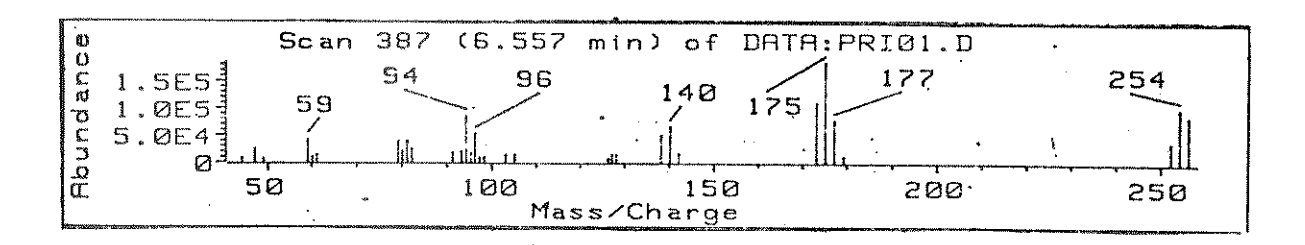


Figura 5.44. - Espectro de massa do  $C_2^Br_2^Cl_2$ , correspondente ao pico com  $t_R$  = 6,557 min no cromatograma da Fig. 5.36.

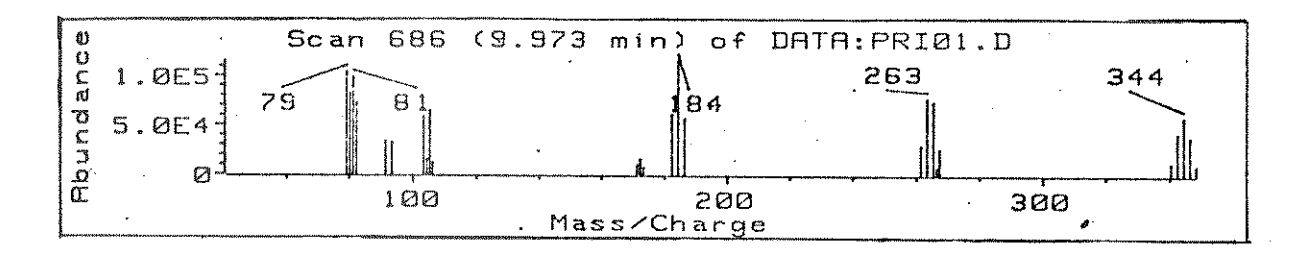


Figura 5.45. - Espectro de massa do  $C_2Br_4$ , correspondente ao pico com  $t_R = 9,973$  min no cromatograma da Fig. 5.36.

o nº de cloros para os C<sub>2</sub> saturados. Para este gráfico, o composto C<sub>2</sub>BrCl<sub>5</sub> foi considerado um padrão, pois sua identificação já foi fei ta através do EM. Utilizando os compostos padrões, uma linha reta é obtida, descrita por:

$$\log D_{m} = a \text{ (no de Cloros)} + b, com$$
  
 $a = 0.03289, b = 1.2592 e r = 0.9994$ 

Os valores de  $\log D_{\rm m}$  e  $t_{\rm R}$  obtidos na correlação para o  $C_2Br_3Cl_3$  (Fig. 5.46) com nº de Cloros = 3 ( $t_{\rm R}$  = 51,52 min) corresponde, com menos de 1% de desvio, ao valor medido no cromatograma ( $t_{\rm R}$  = 51,38 min), o que prova a validade deste método de identificação desta série de peralogenados.

As resoluções obtidas na separação destes compostos foram muito boas  $[Rs(C_2Br_3Cl_3/C_2Br_2Cl_4)=1,71;Rs(C_2Br_2Cl_4/C_2BrCl_5)=1,75$  e  $Rs(C_2BrCl_5/C_2Cl_6)=1,95$  J, sendo todos os compostos resolvidos na linha de base (Fig. 5.34). Com isto, fica confirmada a previsão de separação feita anteriormente para estas separações através de padrões, com o uso do  $n^{\circ}$  de separação, Tz, sendo extensível para outros compostos para os quais não há padrões disponíveis.

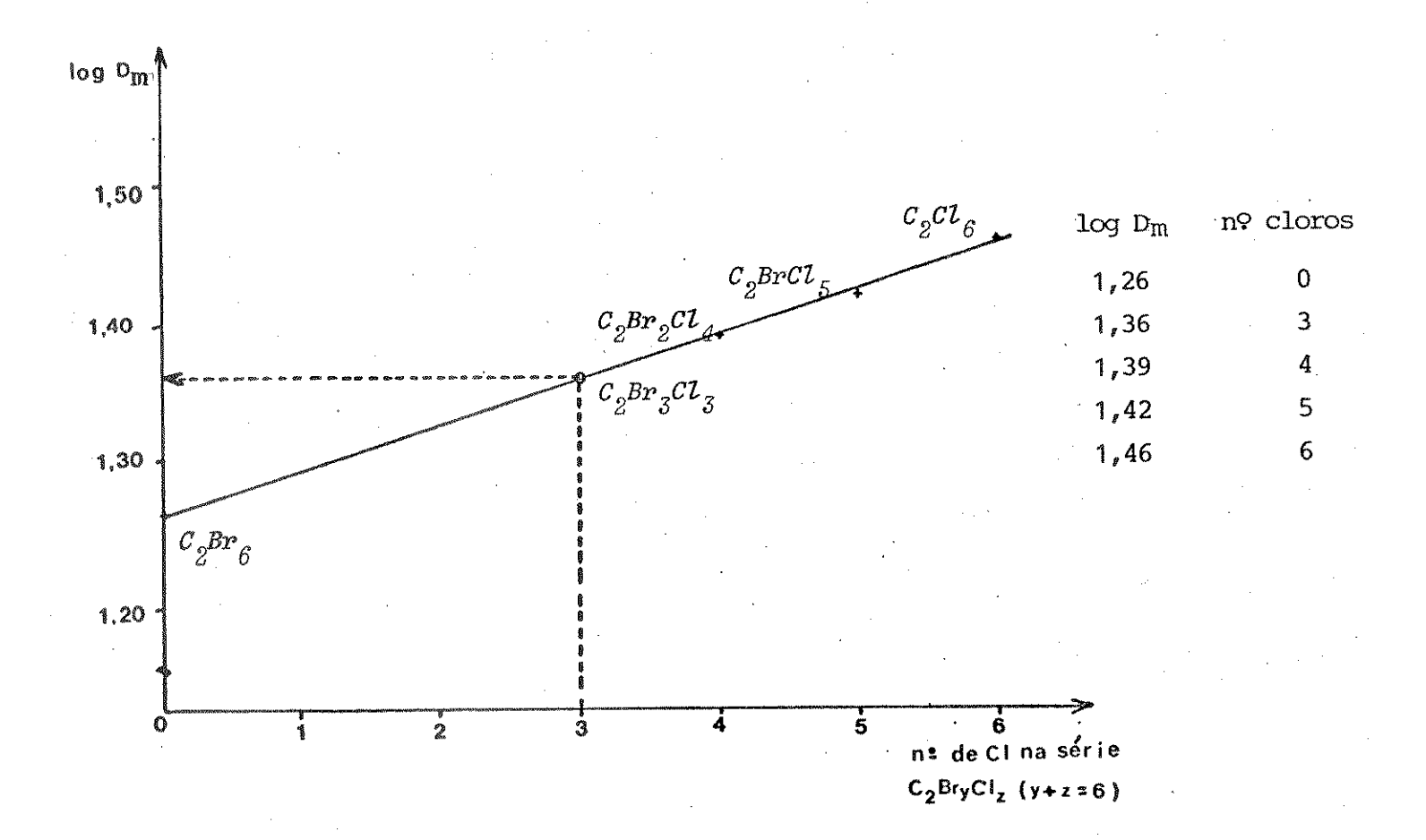


Figura 5.46. – Identificação do  $C_2Br_3Cl_3$  através da correlação do  $t_R$  pela curva log  $D_m \times n?$  de cloros na série  $C_2Br_yCl_z$  (y+z = 6). O  $t_R$  obtido no cromatograma (Fig. 5.34) foi 51,38 min e o  $t_R$  interpolado, 51,52 min.

### CAPÍTULO 6

## Conclusões

A análise completa de compostos peralogenados do tipo  $C_x Br_y Cl_z$  (x = 1 ou 2; y + z = 4 ou 6) pode ser realizada por CLAE empregando uma única fase estacionária (FE), do tipo reversa e fase móvel (FM) polar, consistindo de misturas MeOH/H $_2$ 0, em diferentes composições.

Devido à grande diferença de polaridade entre os compostos, que por isso foram divididos em três grupos (C<sub>1</sub>, C<sub>2</sub> insaturados e C<sub>2</sub> saturados), foi necessário o emprego de duas (ou até três, em colunas menos eficientes) composições diferentes de FM, para se ter sucesso na separação de todos os possíveis compostos.

O uso de gradiente de eluição para estas separações poderá não levar a resultados esperados, uma vez que inversões nos tempos de retenção ( $t_R$ ) de compostos  $C_1$  e  $C_2$  insaturados ocorrem à medida que a polaridade de FM é modificada (comparar Figs. 5.18 a 5.22).

A fotólise de soluções de C<sub>2</sub>Br<sub>6</sub>/CCl<sub>4</sub> em presença de Cl<sub>2</sub>, por sua praticidade, constitui-se num método muito útil para os propósitos de obtenção de misturas de peralogenados que podem ser usados como padrões para integração de séries homólogas de peralogenados.

O método da interpolação dos t s em uma dada série homóloga R mostrou-se de grande validade na identificação de compostos  $C_1$  e  $C_2$  saturados, sendo também aplicável na identificação de outros compostos peralogenados para os quais ainda não se dispõe de padrões.

O método de análise por CLAE de compostos peralogenados, produtos de reações de radiólise e/ou termólise de soluções de CBr4 foi desenvolvido. Entretanto, para que seja aplicável, maior aperfeiçoamento no sistema de detecção se faz necessário.

O uso de sistemas de detecção mais sensíveis como o detector de radioatividade para compostos radiomarcados, são alternativas viá veis e que podem trazer bons resultados, também o emprego de microco lunas para CLAE pode aumentar bastante a sensibilidade de detecção do sistema empregado, pois necessitam menores quantidades de amostras e os componentes da mistura são eluídos em bandas mais estreitas.

Outra alternativa para se melhorar a sensibilidade de detecção seria o uso de detecção fotométrica indireta sobre a qual muitos estudos vêm sendo feitos atualmente [63], sendo bastante úteis nos casos de amostras com baixa absorção no UV.

O uso contínuo das colunas para CLAE pode levar, em alguns casos, a sérios prejuízos da eficiência das mesmas, sendo recomendável que se faça avaliações de eficiência periodicamente, no caso de trabalhos contínuos com a mesma coluna, considerando que simples recondicionamentos são sempre mais práticos do que a preparação de uma nova coluna.

#### APÊNDICE I

O parâmetro de solubilidade de Hildebrand,  $\delta$ , define uma esca la quantitativa de polaridades de solventes, com os seguintes itens [11]:

- I) parametro de solubilidade calculado a partir do ponto de ebulição
- II) parâmetro de dispersão
- III) parâmetro de orientação (polar)
  - IV) parâmetro de próton aceptor
    - V) parâmetro de próton-doador
  - VI) viscosidade (cP, 20°C)

De acordo com esta teoria, de distribuição de uma molécula de amostra, X, entre a FM e a FE é dada pelos parâmetros de solubilidade de X ( $\delta X$ ), E ( $\delta E$ ), M ( $\delta M$ ) e o volume molal de X (V  $\overline{X}$ ):

$$\log \underline{XE} = \underline{VX} [(\delta X - \delta M)^2 - (\delta E - \delta X)^2],$$

$$XM$$
2.3 RT

onde R é a constante dos gases e T, a temperatura em Kelvin.

Quando o parâmetro de solubilidade de X ( $\delta$ X) está no meio, entre os da FM e da FE ( $\delta$ X -  $\delta$ M =  $\delta$ E -  $\delta$ X), X será distribuído igual mente entre as fases e se VE = VM,  $D_m$  = 1. Aumentando o parâmetro de solubilidade do solvente,  $\delta$ M, (isto é, diminuindo  $\delta$ X -  $\delta$ M), diminui [XE] e  $D_m$  e vice-versa para diminuição de  $\delta$ M.

O parâmetro de Hildebrand,  $\delta$ , pode ser desmembrado em quatro tipos de interações:  $\delta d$ , interações de dispersão;  $\delta o$ , interações de dipolo;  $\delta a$ , interações de hidrogênio, refletindo a habilidade do solvente em funcionar como doador de prótons e  $\delta b$ , interações de hidrogê

nio, refletindo a habilidade do solvente em funcionar como aceptor de prótons.

Todos estes fatores refletirão no  $\,\,\delta\,,\,\,que\,,\,\,por\,\,sua\,\,vez\,,\,\,determinará a polaridade do solvente.$ 

#### APÊNDICE II

# Îndice de Retenção (Índice de Kovats) [28]

O conceito de índice de retenção foi introduzido por Wehrli e Kovats [64], para auxiliar na confirmação de estruturas moleculares.

Este método foi originalmente aplicado usando uma série de n-alcanos como referência, ao invés de apenas um composto (por exemplo, n-nonano) como no método de retenção relativa.

Por definição, o índice de retenção, I, é o número que relacio na o volume de retenção ajustado de um composto A com o volume de retenção ajustado das n-parafinas. A cada n-parafina é atribuído um indice de 100 vezes o seu número de carbonos. O valor do índice do componente A é obtido por interpolação logarítmica:

$$I = 100 n + 100 [log V'_{R}(A) - log V'_{R}(n)],$$

$$[log V'_{R}(N) - log V'_{R}(n)]$$

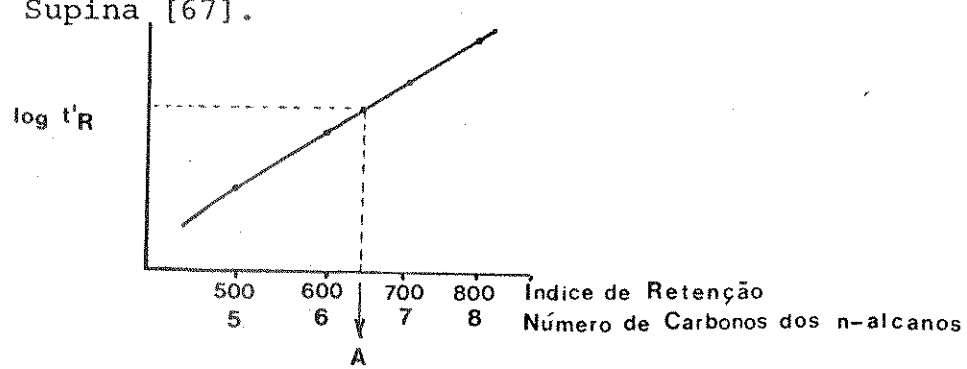
onde n e N são as n-parafinas, menor e maior, respectivamente, mais próximas à substância A e V'R é o volume de retenção ajustado.

Outra maneira de expressar I é relacioná-lo com o tempo de retenção ajustado, t'R.

$$I = 100 \text{ n} + 100 \frac{[\log t'_{R}(A) - \log t'_{R}(n)]}{[\log t'_{R}(N) - \log t'_{R}(n)]}$$

O valor de I, para um composto desconhecido, A, pode ser obtido através de um gráfico de log t'R versus o número de carbonos vezes 100 (Figura abaixo). Para isto, é necessário que o composto A e três n-alcanos, pelo menos um com tR menor que A e pelo menos um com tR maior do que A, sejam injetados na coluna, nas mesmas condições experimentais, para que seja reprodutível.

O Índice de retenção, I, é também bastante usado para classsificação de fases estacionárias para CG. A comparação dos diferentes valores I, para uma determinada série de padrões, obtidos em diferentes colunas, auxiliará na obtenção de escalas de polaridade para estas fases estacionárias como as de Mc Reynolds [65], Rohrschreider [66] ou Supina [67].



Curva do logarítimo do tempo de retenção ajustado versus o índice de retenção, I. O valor de I para o composto desconhecido, A, é obtido através da curva, conhecendo-se t'R(A).

Os padrões normalmente usados na construção das curvas para obtenção de I, na CLAE não são n-alcanos como na CG, provavelmente por problemas de detecção. Compostos frequentemente usados em CLAE, para este fim, são as cetonas e dois exemplos são: alquil-aril-ceto nas [30, 31] e 2-ceto-alcanos[29].

#### BIBLIOGRAFIA -

- [1] Bertran, C.A.; "Radiólise de Soluções Diluídas de CBr4 em CCl4 a O°C:

  Comparação com a Termólise a Várias Temperaturas" Tese de Doutora
  do, UNICAMP, Instituto de Química, Campinas, 1987.
- [2] a. Šistek, I.; Urban, J.; Skercný; "Radiolysis of Halogenated Hydrocarbons, Part. I". Ceskoslovenska Akademie Véd, Report ÚJV 2552, Řež, 1970.
  - b. Šistek, I.; Urban, J.; "Radiolysis of Halogenated Hydrocarbons, Part II". Ceskoslovenska Akademie Véd, Report ÚJV, 2562. Řež, 1971.
- [3] Bonato, P.S.; "Determinação da Distribuição de Radioatividade nos Produtos Resultantes da Irradiação de Tetrabrometano com Nêu-trons, usando Cromatografia Líquida de Alta Eficiência como Método de Análise" Tese de Mestrado, UNICAMP, Instituto de Química, Campinas, 1983.
- [4] Murta, A.L.M.; "Análises Cromatográficas de Misturas de Compostos  ${}^{C}_{x}{}^{Cl}_{y}{}^{Br}_{z}$  (x = 1 e 2) Ativos ou sem Atividade" *Tese de Doutorado*, UNICAMP, Instituto de Química, Campinas, 1982.
- [5] Valente, A.L.P.; "Desenvolvimento e Avaliação de Métodos Cromato gráficos para Compostos do Tipo C<sub>x</sub>Cl<sub>y</sub>Br<sub>z</sub>H<sub>n</sub>" *Tese de Doutorado*, UNICAMP, Instituto de Química, Campinas, 1984.
- [6] Tswett, M.; Ber. Deutch. Botan. Gesell., 24 (1906) 316.
- [7] Engelhardt, H.; "High Performance Liquid Chromatography Chemical Laboratory Practice", Springer Verlag, Berlin, 1979.
- [8] Murta, A.L.M.; Collins, C.H.; Collins, K.E.; Mc Nair, H.M.; Quím. Nova, 4 (1981) 92.

- [9] Collins, C.H.; Braga, G.L.; "Introdução a Métodos Cromatográficos", 2ª Ed., Editora da UNICAMP, Campinas, 1987.
- [10] Snyder, L.R.; "Modern Practice of Liquid Chromatography", John Wiley & Sons, New York, 1971.
- [11] Snyder, L.R.; Kirkland, J.J.; "Introduction to Modern Liquid Chromatography", 2<sup>nd</sup> Ed., John Wiley & Sons, New York, 1979.
- [12] Poole, C.F.; Schuette, S.A.; "Contemporary Practice of Chromatography", Elsevier, Amsterdam 1984.
- [13] Manfredi, J.F.; Collins, C.H.; Valente, A.L.P.; Quím. Nova, 7 (1984) 132.
- [14] Morgan, S.L.; Deming, S.N.; J. Chromatogr., 112 (1975) 267.
- [15] Snyder, L.R.; J. Chromatogr. Sci, 10 (1972) 364.
- [16] Braithwaite, A.; Smith, F.J.; "Chromatographic Methods", Chapman and Hall, London, 1985.
- [17] Jennings, W.; "Gas Chromatography with Glass Capillary Columns",  $2\frac{\text{nd}}{\text{Ed.}}$ , Academic Press, New York, 1980.
- [18] Kaiser, R.; Fresenius' Z. Anal. Chem., 189 (1961) 1.
- [19] Scott, R.P.W.; "Small Bore Liquid Chromatography Columns: Their Properties and Uses", John Wiley & Sons, New York, 1984.
- [20] Scott, R.P.W.; Kucera, P.; J. Chromatogr., 169 (1979) 51.
- [21] Yost, R.W.; Ettre, L.S.; Conlon, R.D.; "Practical Liquid Chroma tography", Perkin-Elmer Corp., Norwalk, 1980.
- [22] Vickrey, T.M.; "Liquid Chromatography Detectors", Chromatographic Science Series, Vol. 23, Marcel Dekker Inc., New York, 1983.

- [23] Covey, T.R.; Lee, E.D.; Bruins, A.P.; Henion, J.D.; Anal. Chem., 58 (1986) 1451A.
- [24] Class, Th.; Ballschmiter, K.; Fresenius' Z. Anal. Chem., 325 (1986) 17.
- [25] Otson, R.; Williams , D.T.; Anal. Chem., 54 (1982) 942.
- [26] Yasuhara, A; Morita, M; Fuwa, K.; J. Chromatogr., 328 (1985)
  35.
- [27] Fielding, M.; Gibson, T.M.; James, H.A.; Mc Loughling, K.; Steel, C.P.; Tech. Rep. Water Res. Cent., TR 159, 1981.
  - [28] Grob, R.L.; "Modern Practice of Gas Chromatography", 2<sup>nd</sup> Ed.,
    John Wiley & Sons, New York, 1985.
- [29] Baker, J.K.; Ma, C.-Y.; J. Chromatogr., 169 (1979) 107.
- [30] Smith, R,M.; J. Chromatogr., 236 (1982) 313.
- [31] Smith, R,M.; Hurdley, T.G.; Gill, R.; Moffat, A.C.; Chromatogra phia, 19 (1984) 401.
- [32] Schwartz, L.L.; Firestone, R.F.; "Radiolysis of dibromodichlo-romethane and the <sup>60</sup>Co γ-ray induced exchange between CCl<sub>2</sub>Br<sub>2</sub> and Br<sub>2</sub>", U.S. At., Energy Comm. Report. TID-16579, Washington, D.C., 1962; C.A.: 59:10909g (1962).
- [33] Fankel, R.; Slad, I.; Fresenius' Z. Anal. Chem., 313 (1982) 47.
- [34] Kummert, R.; Molnar, E.K.; Giger, W.; Anal. Chem., 50 (1978) 1637.
- [35] Konemann, H.; Zelle, R.; Busser, F.; Hammers, W.E.; J. Chromatogr., 178 (1979) 559.
- [36] Suppan, P.; "Principles of Photochemistry", The Chemical Society, London, 1972.

- [37] Noyes, W.A.; Hammond, G.S.; Pitts Jr., J.N.; "Advances in Photo chemistry", vol. 2, John Wiley & Sons, New York, 1964.
- [38] Noller, C.R.; "Quimica de Los Compuestos Organicos", 2ª Ed., Editorial Medico Quirurgico, Buenos Aires, 1968.
- [39] Morrison, R.T.; Boyd , R.N.; "Organic Chemistry", 3<sup>rd</sup> Ed., Allyn & Bacon, Boston, 1973.
- [40] Moore, W.J.; "Físico-Química", vol. 1, 4ª Ed., Edgard Blücher Ltda, São Paulo, 1976.
- [41] Zeelemberg, A.P.; Nature, 181 (1958) 42.
- [42] Calvert, J.G.; Pitts Jr., J.N.; "Photochemistry", John Wiley & Sons, New York, 1966.
- [43] Rebbert, R.E.; Ausloos, P.J.; J. Photochem., 6 (1976/77) 265.
- [44] Hautecloque, S.; J. Photochem., 9 (1978) 385.
- [45] Davis, D.D.; Schmidt, J.F.; Neely, C.M.; Hanrahan, R.J.; J.

  Phys. Chem., 79 (1975) 11.
- [46] Turro, N.J.; Hammond, G.S.; Pitts Jr., J.N.; Valente Jr., D.;
  "Annual Survey of Photochemistry", vol. 1, John Wiley & Sons,
  New York, 1967.
- [47] Hautecloque, S.; Nguyen, T.M.N.; C. R. Acad. Sc. Paris Serie C, 273 (1971) 569.
- [48] Seely Jr., L.B.; Willard, J.E.; J. Am. Chem. Soc., 69 (1947)
  2061.
- [49] Taugbøl, K.; Dahl, J.B.; Acta Chem. Scand., 11 (1957) 1790.
- [50] Young, A.H.; Willard, J.E.; J. Phys. Chem., 66 (1962) 271.
- [51] Higuchi, T.; Endow, N.; Willard, J.E.; J. Am. Chem. Soc., 71 (1949) 365.

- [52] Weast, R.C.; "Handbook of Chemistry and Physics", 58<sup>th</sup> Ed.,
  The Chemical Rubber Co., Cleveland, 1977/78.
- [53] de Lima, M.A.F.; "Desenvolvimento e Aplicação de Colunas para CLAE e Micro-CLAE", Exame de Qualificação para o Doutorado, UNICAMP, Instituto de Química, Campinas, 1987.
- [54] De Paoli, M.-A.; Rodrigues, C.F.; Quím. Nova, 1 (1) (1978) 16.
- [55] de Azevedo, M.B.M.; "Reatividade de 3-fenil-2H-azarinas-2-acrilatos com Amidinas", Tese de Mestrado, UNICAMP, Instituto de Química, Campinas, 1987.
- [56] Krstulović, A.N.; Colin, H., Guiochon, G.; Anal. Chem., 54 (1982) 2438.
- [57] Engelhardt, H.; Müller, H.; Dreyer, B.; Chromatographia, 19 (1984) 240.
- [58] Sadek, P.C.; Carr, P.W.; Bowers, L.D.; L& Mag., 3 (1985) 590.
- [59] Taylor, N.W.; Hildebrand, J.H.; J. Am. Chem. Soc., 45(1923) 682
- [60] Simon, P.C.S; "Tables of Spectral Data of Structure Determination of Organic Compounds", Springer-Verlag, Berlin, 1983.
- [61] Silverstein, R.M.; Bassler, G.C.; Morrill, T.C.; "Idenficação Espectrofotométrica de Compostos Orgânicos", 3ª Ed., Guanabara, Rio de Janeiro, 1979.
- [62] McLafferty, F.W.; "Interpretation of Mass Spectra", 2<sup>nd</sup> Ed., W.A. Benjamin, Inc., London, 1973.
- [63] Takeuchi, T.; Ishii, D.; J. High Resol. Chromatogr. Chromatogr. gr. Comm., 10 (1987) 571.
- [64] Wehrli, A.; Kovats, E.; Helv. Chem. Acta, 42 (1959) 2709

- [65] McReynolds, W.O.; J. Chromatogr. Sei, 8 (1970) 685.
- [66] Rohrschreider, L.; J. Chromatogr., 17 (1965) 1; 22 (1966) 6.
- [67] Supina, W.R.; Rose, L.P.; J. Chromatogr. Sci, 8 (1970) 214.